

بسم الله الرحمن الرحيم
جامعة بوليتكنك فلسطين



كلية الهندسة والتكنولوجيا
دائرة الهندسة المدنية والمعمارية

مقدمة مشروع التخرج

التصميم الإنثائي لمركز ابحاث ودراسات عليا تابع لجامعة بوليتكنك فلسطين

فريق العمل :-

إيمان نزار احشيش روان سعود النجار فاطمة احمد هور

إشراف :-

د.نصر عبوشي

الخليل- فلسطين

بسم الله الرحمن الرحيم
جامعة بوليتكنك فلسطين



كلية الهندسة والتكنولوجيا
دائرة الهندسة المدنية والمعمارية

مقدمة مشروع التخرج
التصميم الإنثائي لمركز ابحاث ودراسات عليا تابع لجامعة بوليتكنك فلسطين

فريق العمل :-

إيمان نزار احشيش روان سعود النجار فاطمة احمد هور

إشراف :-

د.نصر عبوشي

الخليل- فلسطين

جامعة بوليتكنك فلسطين
الخليل-فلسطين
كلية الهندسة و التكنولوجيا
دائرة الهندسة المدنية والمعمارية

اسم المشروع :-
التصميم الإنثائي لمركز ابحاث ودراسات عليا تابع لجامعة بوليتكنك فلسطين

أسماء الطلبة :-
ايمان نزار احشيش روان سعود النجار فاطمة احمد هور

بناء على نظام كلية الهندسة والتكنولوجيا وإشراف ومتابعة المشرف المباشر على المشروع
وموافقة أعضاء اللجنة المختصة تم تقديم هذا المشروع إلى دائرة الهندسة المدنية والمعمارية
وذلك للوفاء بمتطلبات درجة البكالوريوس في الهندسة تخصص هندسة المباني.

توقيع المشرف

توقيع اللجنة المختصة

توقيع رئيس الدائرة

إلىالمعلم الأول....رسولنا الكريم سيد البشرية محمد بن عبد الله
إلىمن هم أحق منا بالحياة إلى.....الشهداء .

إلى....الأسود الرابضة خلف القضاياإلى من كسروا قيد السجانالأسرى .
إلى....أشودة الصغر وقدوة الكبر إلى.....أبي العزيز .
إلى....نبع العطاء وسيل الحنان إلى.....أمِي العزيزة .
إلى....عنوان سعادتي إلى.....إخوتي الأعزاء .
إلى....هبة السماءأصدقائي الأوفياء .
إلى....الشموخ التي احترقت لتتير الدرب إلى.....أساتذتي .
إلى....من عرفتهم في هذا الصرح العلميزملاي وزميلاتي .
إلى....منهل العلم إلى.....جامعتي .
إلى....من أحبني وأحببته .
نقدم هذا البحث .

فريق العمل

الشكر والتقدير

إن الشكر والمنة لا تليق إلا لواهب العقول و منير الدروب لله عز وجل .

كما ونتقدم بجزيل الشكر والامتنان

إلى بانية الجيل الوعاد ...جامعة بوليتكنيك فلسطين .

إلى كلية الهندسة والتكنولوجيا.

إلى دائرة الهندسة المدنية والمعماريةبطاقمها التدريسي و الإداري.

إلى المشرف على هذا البحث الدكتورنصر عبوشي.

والشكر واصل لكل من ساهم في انجاز هذا البحث المتواضع .

فريق العمل

التصميم الانشائي لمركز ابحاث ودراسات عليا تابع لجامعة بوليتكنك فلسطين

فريق العمل:

ايمان نزار احتشيش روان سعود النجار فاطمة احمد هور

جامعة بوليتكنك فلسطين- ٢٠١١ مـ

إشراف:

د.نصر عبوشي

ملخص المشروع

تتلخص فكرة هذا المشروع في التصميم الانشائي لمركز ابحاث ودراسات عليا ، المشروع عبارة عن مركز ابحاث علمي ودراسات عليا تابع لجامعة بوليتكنك فلسطين تتوفر فيه كافة المتطلبات والفعاليات التي تعمل على توفير جو علمي للباحث ، عن طريق توفير المختبرات وقاعات التدريس والمدرجات والمكتبات المتخصصة . بالإضافة إلى قسم خاص يهتم بخدمة الجمهور والعمل على تطوير مهاراتهم وأفكارهم العلمية.

يتكون المشروع من اربع كتل كما هو موضح بالشكل التالي :-

١ - مبني مركز الابحاث والدراسات العليا .

٢ - المبني التعليمي والثقافي .

٣ - مبني الادارة المركزية و الكفيريـا .

٤ - مبني المكتبة والمعرض .

سيتم التصميم - إن شاء الله - بناءاً على متطلبات كود الخرسانةالأمريكي (ACI _318) وستتم الاستعانة بعض برامج التصميم الإنسانية وبرامج الرسم مثل Autocad2007, Office2007 , Atir وغيرها ومن الجدير بالذكر انه تم استخدام الكود الأردني لتحديد الأحمال الحية وسيتم الاطلاع على بعض مشاريع التخرج السابقة، و سيتضمن المشروع دراسة إنسانية تفصيلية من تحديد وتحليل العناصر الإنسانية والأحمال المختلفة المتوقعة ومن ثم التصميم الإنسائي للعناصر و إعداد المخططات التنفيذية بناءً على التصميم المعد لجميع العناصر الإنسانية التي تكون الهياكل الإنسانية للمبني.

والله ولي التوفيق

The Structural Design of the Centre for Research and Graduate Project

WORKING TEAM:

Fatima Hoor

Iman Ihshaiesh

Rawan AL-Najjar

Palestine Polytechnic University -2011

SUPERVISOR:

DR .NASR ABOUSHI.

Project Abstract

The idea of this project in the structural design of the Centre for Research and Graduate , project is a research center of scientific and Graduate of the University Palestine Polytechnic available in which all the requirements and events that work to provide the scientific atmosphere of the researcher, through the provision of laboratories, classrooms, auditoriums and specialized libraries. In addition to a special section to serve the public interest and to develop their skills and scientific ideas.

The project consists of four blocks as shown below: _

- 1 - Building Centre for Research and Graduate Studies.
- 2 - the building of educational and cultural.
- 3 - the central administration building and cafeteria
- 4 - Library building and the exhibition.

will be design - God willing - based on code requirements for the American Concrete (ACI _318) and will be drawing on some programs, design and construction drawing programs such as Autocad2007, Office2007, Atir, etc. It is worth mentioning that the use of code Jordanian to determine the loads of live and will be available on some graduation projects the previous , and the project will study the construction of detailed identification and analysis of the structural elements and different loads and then the expected structural design of the elements and the preparation of shop drawings based on design prepared for all the structural elements that are structural frames of the building.

فهرس المحتويات

<u>رقم الصفحة</u>	
I	صفحة العنوان
II	نسخه عن صفحة العنوان
III	شهادة تقدير مقدمة مشروع التخرج
IV	الاهداء
V	الشكر والتقدير
VI	ملخص المشروع باللغه العربيه
VII	ملخص المشروع باللغه الانجليزية
VIII-XI	فهرس المحتويات
XII	فهرس الجداول
XII-XIV	فهرس الأشكال
XV-XVI	List of Abbreviations

<u>رقم الصفحة</u>		المقدمة	الفصل الأول
1-6			
2		مقدمة	١-١
2		تعريف عام بالمشروع	٢-١
3		أسباب اختيار المشروع	٣-١
4		أهداف المشروع	٤-١
4		مشكلة البحث (المشروع)	٥-١
5		نطاق المشروع(حدود المشروع)	٦-١
5		محتويات المشروع	٧-١
6		المخطط الزمني لمراحل العمل بالمشروع	٨-١
8-42		الوصف المعماري للمشروع	الفصل الثاني
8		مقدمه	١-٢
9-10		لمحه عامه عن المشروع	٢-٢
10-11		موقع المشروع	٣-٢

11	١-٣-٢ مساحة الموقع	
12	٢-٣-٢ أسباب اختيار الموقع	
12	٣-٣-٢ حركة الشمس	
13	٤-٣-٢ حركة الرياح في الموقع	
14	٥-٣-٢ الطبيعة الطوبوغرافية في الموقع	
14-15	وصف عناصر المشروع	٤-٢
15	١-٤-٢ وصف المساقط الأفقية	
15-18	١-١-٤-٢ مركز الابحاث والدراسات العليا	
16	١-١-٤-٢ الطابق الأرضي	
16	٢-١-١-٤-٢ الطابق الاول	
17	٣-١-١-٤-٢ الطابق الثاني	
17	٤-١-١-٤-٢ الطابق الثالث	
18	٥-١-١-٤-٢ الطابق الرابع	
18-19	٢-١-٤-٢ المبني التعليمي والثقافي	
18	١-٢-١-٤-٢ الطابق الأرضي	
19	٢-٢-١-٤-٢ الطابق الاول	
19	٣-٢-١-٤-٢ الطابق الثاني	
20-21	٣-١-٤-٢ مبني الادارة المركزية والكافيتيريا	
20	١-٣-١-٤-٢ الطابق الأرضي	
20	٢-٣-١-٤-٢ الطابق الاول	
21	٣-٣-١-٤-٢ الطابق الثاني	
21-22	٤-١-٤-٢ مبني المكتبة والمعرض	
21	١-٤-١-٤-٢ الطابق الأرضي	
22	٢-٤-١-٤-٢ الطابق الاول	
22-24	٢-٤-٢ وصف الواجهات	
22	١-٢-٤-٢ الواجهة الجنوبية الغربية	
23	٢-٢-٤-٢ الواجهة الشمالية الشرقية	
23	٣-٢-٤-٢ الواجهة الجنوبية الشرقية	
24	٤-٢-٤-٢ الواجهة الشمالية الغربية	
27-42	وصف العناصر الانشائية	الفصل الثالث
27	مقدمة	١-٣
27	هدف التصميم الانشائي	٢-٣
28	الدراسات التحليلية والنظرية	٣-٣

28	الاحمال وتصنيفها	١-٣-٣
29-30	الاحمال الميئية	١-١-٣-٣
30	الاحمال الحية	٢-١-٣-٣
31	الاحمال البيئية	٣-١-٣-٣
32	الاختبارات العلمية	٤-٣
32	العناصر الانشائية المستخدمة	٥-٣
33-35	البلاطات	١-٥-٣
35-36	الجسور	٢-٥-٣
36-37	الاعمدة	٣-٥-٣
37-38	الجدران الحاملة (جدران القص)	٤-٥-٣
38	الاساسات	٥-٥-٣
40	الاراج	٦-٥-٣
41	الجدران الاستنادية	٧-٥-٣
41	فوائل التمدد	٨-٥-٣
43-111	التحليل و التصميم الانشائي	الفصل الرابع
44	Introduction	4-1
45	Factored Loads	4-2
45	Determination of thickness	4-3
45	4-3-1 determination of thickness for one way ribbed slab	
46-47	4-3-2 determination of thickness for tow way ribbed slab	
48-49	Design of topping	4-4
49	Load calculation	4-5
49-51	4-5-1 for one way ribbed slab	
51-52	4-5-2 for two way ribbed slab	
52-58	Design for ribbed one way	4-6
54-56	4-6-1 design of positive moment	
57	4-6-2 design of negative moment	
58	4-6-3 design of shear	
59-64	Design of two way ribbed slab	4-7
59	4-7-1 check for shear	
60-62	4-7-2design of negative moment	
62-64	4-7-3 design of positive moment	
64-68	Design of beam for flexure	4-8
69-71	4-8-1 design of negative moment	
72-75	4-8-2 design of positive moment	
75-76	4-8-3 design of shear	
77-79	Design of long column	4-9
79-80	Design of short column	4-10
80-86	Design of stair	4-11
80	4-11-1 dead load of flight	

80	4-11-2 dead load of landing	
82	4-11-3 design of shear	
82-85	4-11-4 design of flexure	
86	4-11-5 design of landing	
86-87	4-11-6 design of flexure	
87	Design of basement wall	4-12
87-88	4-12-1 load on basement wall	
88-89	4-12-2 design of the vertical reinforcement	
89-90	4-12-3 design of horizontal reinforcement	
90	4-12-4 design of basement footing	
91-92	4-12-5 check of one way shear	
92	Design of isolated footing	4-13
92-93	4-13-1 load calculation	
93	4-13-2 design of footing area	
93-95	4-13-3 determine the depth of footing	
95-96	4-13-4 design of bending moment	
96-97	4-13-5 check of strain	
97-	4-13-6 check transfer of load for base of column	
97	4-13-7 development of length	
98	Design of shear wall	4-14
98	4-14-1 by ETABS program	
99	4-14-2 by manual method	
100-102	4-14-3 design of wall	
103	Design of truss	4-15
103	4-15-1 load calculation	
103-105	4-15-2 design of purline	
106	4-15-3 design of truss	
106	4-15-3-1 load calculation	
106-107	4-15-3-2 load combination	
107-110	4-15-3-3 analysis	
111	4-15-4 design of fillet welded to connect diagonal	
	النتائج والتوصيات	١١٤-١١٢
	١-٥ المقدمة	١١٣
	٢-٥ النتائج	١١٤-١١٣
	٣-٥ التوصيات	١١٤

فهرس الجداول

<u>رقم الصفحة</u>	<u>الجدول</u>	
6	المخطط الزمني لمراحل العمل بالمشروع	١-١
29	الكثافة النوعية للمواد المستخدمة في البناء	١-٣
30	الأحمال الحية لعناصر المبنى	٢-٣
31	أحمال الثلوج حسب الارتفاع عن سطح البحر	٣-٣
49	Calculation of the total dead load for one way rib slab	١-٤
49	Calculation of the total dead load for two way rib slab	٢-٤

فهرس الأشكال

<u>رقم الصفحة</u>	<u>الشكل</u>	
9	رسم توضيحي للمكونات	١-٢
10	خارطة بئر حرم الarama	٢-٢
11	صورة جوية لقطعة الأرض	٣-٢
11	الموقع موضح عليه المساحة	٤-٢
12	شكل يوضح حركة الشمس	٥-٢
13	شكل يبين حركة الرياح	٦-٢
14	الموقع موضح عليه الطبيعة الطبوغرافية ومقطع طولي في الأرض يوضح المناسيب	٧-٢
14	يبين التدرج في كتل المشروع	٨-٢
15	يبين الموقع العام	٩-٢
16	يبين الطابق الأرضي	١٠-٢
16	يبين الطابق الأول	١١-٢
17	يبين الطابق الثاني	١٢-٢
17	يبين الطابق الثالث	١٣-٢
18	يبين الطابق الرابع	١٤-٢

18	يبين الطابق الارضي	١٥-٢
19	يبين الطابق الاول	١٦-٢
19	يبين الطابق الثاني	١٧-٢
20	يبين الطابق الارضي	١٨-٢
20	يبين الطابق الاول	١٩-٢
21	يبين الطابق الثاني	٢٠-٢
21	يبين الطابق الارضي	٢١-٢
22	يبين الطابق الاول	٢٢-٢
22	يبين الواجهه الجنوبيه الغربيه	٢٣-٢
23	يبين الواجهه الشمالية الشرقيه	٢٤-٢
23	يبين الواجهه الجنوبيه الشرقيه	٢٥-٢
24	يبين الواجهه الشماليه الشرقيه	٢٦-٢
24	يبين الموقع العام للمركز	٢٧-٢
25	يبين القطاع A-A	٢٨-٢
25	يبين القطاع B-B	٢٩-٢
32	بعض العناصر الانشائيه المكونه للمبني	١-٣
33	 بلاطه مصمته باتجاه واحد	٢-٣
34	 بلاطه مصمته باتجاهين	٣-٣
34	 بلاطات العصب ذات الاتجاه واحد	٤-٣
35	 بلاطات العصب ذات الاتجاهين	٥-٣
36	 اشكال الجسور	٦-٣
37	 يبين انواع الاعدده المستخدمة	٧-٣
38	 جدار القص	٨-٣
39	 أشكال الاساس المنفرد ٩-٣	٩-٣
39	 ب مسقط افقي للاساسات	
39	 ج مقطع طولي في الاساس	
40	 مقطع توضيحي في الدرج	١٠-٣
41	 جدار استنادي	١١-٣
44	Spans location	4-1
45	Tow way rib slab	4-2
48	Topping of slab	4-3
50	One way ribbed slab	4-4
52	Tow way ribbed slab	4-5
52	Rib location	4-6

53	Span length of rib	4-7
53	Loading of rib	4-8
53	Moment diagram for rib	4-9
54	Shear diagram for rib	4-10
65	beam location	4-11
65	support reactions of the rib	4-12
66	Spans length of Beam	4-13
66	Loading of beam	4-14
67	Moment diagram of beam	4-15
67	shear diagram of beam	4-16
80	Reinforcement of column(016)	4-17
81	Reinforcement of column(111)	4-18
81	Designed stair	4-19
82	Load diagram	4-20
83	Shear & moment envelope diagrams	4-21
85	Load diagram	4-22
86	Shear & moment envelope diagrams	4-23
87	Load on basement wall	4-24
88	Load diagram	4-25
88	Shear & moment envelope diagrams	4-26
90	Footing geometry	4-27
92	Geometry of footing(f04)	4-28
98	Shear wall plan from ETAPS	4-29
99	Shear force & moment on the wall from ETAPS	4-30
102	Shear wall reinforcement	4-31
104	Load,shear &moment diagram for purlins	4-32
106	Truss geometry	4-33
107	Truss analysis	4-34

List of Abbreviations

- A_c = area of concrete section resisting shear transfer.
- A_s = area of non-prestressed tension reinforcement.
- A_s = area of non-prestressed compression reinforcement.
- A_g = gross area of section.
- A_v = area of shear reinforcement within a distance (S).
- A_t = area of one leg of a closed stirrup resisting tension within a (S).
- b = width of compression face of member.
- b_w = web width, or diameter of circular section.
- C_c = compression resultant of concrete section.
- C_s = compression resultant of compression steel.
- DL = dead loads.
- d = distance from extreme compression fiber to centroid of tension reinforcement.
- E_c = modulus of elasticity of concrete.
- f'_c = compression strength of concrete .
- f_y = specified yield strength of non-prestressed reinforcement.
- h = overall thickness of member.
- L_n = length of clear span in long direction of two- way construction, measured face-to-face of supports in slabs without beams and face to face of beam or other supports in other cases.
- LL = live loads.
- L_w = length of wall.
- M = bending moment.
- M_u = factored moment at section.
- M_n = nominal moment.
- P_n = nominal axial load.
- P_u = factored axial load
- S = Spacing of shear or in direction parallel to longitudinal reinforcement.
- V_c = nominal shear strength provided by concrete.

- V_n = nominal shear stress.
- V_s = nominal shear strength provided by shear reinforcement.
- V_u = factored shear force at section.
- W_c = weight of concrete. (Kg/m^3).
- W = width of beam or rib.
- W_u = factored load per unit area.
- Φ = strength reduction factor.
- ε_c = compression strain of concrete = 0.003mm/mm .
- ε_s = strain of tension steel.
- $\dot{\varepsilon}_s$ = strain of compression steel.
- ρ = ratio of steel area .

الفصل الأول

١-١ المقدمة .

١-٢ تعريف عام بالمشروع .

١-٣ أسباب اختيار المشروع .

١-٤ أهداف المشروع.

١-٥ مشكلة البحث (المشروع) .

١-٦ نطاق المشروع (حدود المشروع) .

١-٧ محتويات المشروع .

١-٨ المخطط الزمني لمراحل العمل بالمشروع .

١-١ المقدمة :

إننا نعيش اليوم في عصر التقدم والتكنولوجيا، عصر لا يقبل الارتجال أو العفوية ، عصر يحاول فيه الإنسان أن يستخدم الطبيعة ويسخرها ويسطير عليها ، ويسعى كل فرد فيها إلى استثمار ما في الكون من أرض وماء وهواء ، استثمارا لا حد له ولا نهاية .

من هنا نجد أن الأبحاث العلمية وتطبيقاتها التكنولوجية ضرورة ملحة لا يستطيع الإنسان الحياة بدونها ، حيث أصبحت سلاحه الذي يدعم به الواقع ويبلغ به الحقيقة . وقد نبعت اكتشافاته الكبرى من محاولات الإنسان تفسير نتائج بحوثه ، كما أن التطبيقات الفنية لهذه الإكتشافات التي تستخدم لصالح البشرية ما هي إلا من صنع الإنسان ومسخرة لخدمته ومنحه أسباب التقدم حيلا بعد جيل .

وفي العشرين سنة الماضية كان التقدم سريعا جدا في مختلف العلوم وتطبيقاتها التكنولوجية ، حيث باتت هذه التطبيقات تشكل العمود الفقري الذي تقوم عليه حياة الإنسان العصرية وتحل محل وجوده وتقدمه وبقائه .

لكن تأثير العلوم على الأفراد يختلف ضمن السياق العالمي كما يختلف بسبب الاختلاف بين البلدان الغنية والبلدان الفقيرة في العالم، مما يسبب تفاوتا في الفوائد التي يمكن جنيها من هذا المجال والتي يمكن إضافتها على نوعية حياة الأفراد والأمم.

وفي أحضان هذا التناقض الذي لم يسبق له مثيل ، أصبحت الضرورة ملحة خاصة في دول العالم الثالث والدول النامية لزيادة رقعة احتكاك الأفراد بميدان العلوم خاصة أن حياة الفرد في أمس الحاجة إلى ألوان متعددة من المعرفة ، وأنواع شتى من الخبرات .

٢-١ تعريف عام بالمشروع :

مراكز البحث العلمي هي مكان لجتماع أهل البحث في مختلف ميادين المعرفة ، من أهم ميزات هذه المراكز تساعده الباحثين على التواجد ضمن بيئه علمية بحثية بالإضافة إلى أنها تسهل عليهم الحصول على المعلومات المطلوبة أيضا تسهل عليهم الاجتماع في مكان واحد . هذا جميعه يؤدي بالباحثين إلى التقدم الدؤوب في مختلف ميادين العلم لوجود كل المحفزات لذلك .

المشروع عبارة عن مركز أبحاث علمي ودراسات عليا تابع لجامعة بوليتكنك فلسطين تتوفر فيه كافة المتطلبات والفعاليات التي تعمل على توفير جو علمي للباحث ، عن طريق توفير المختبرات وقاعات التدريس والمدرجات والمكتبات المتخصصة . بالإضافة إلى قسم خاص يهتم بخدمة الجمهور والعمل على تطوير مهاراتهم وأفكارهم العلمية .

١- ٣- أسباب اختيار المشروع:

تعود أهمية اختيار المشروع إلى عدة أمور من أهمها اكتساب المهارة في التصميم للعناصر الإنسانية في المبني، وخاصة المبني الضخمة مثل المشروع الذي نعرضه في هذا البحث. بالإضافة إلى زيادة المعرفة للنظم الإنسانية المتعددة في بلادنا، وكذلك اكتساب المعرفة العلمية والعملية المتعددة في تصميم وتنفيذ المشاريع الإنسانية والتي ستواجهنا بعد التخرج في سوق العمل إن شاء الله.

هناك عدة أسباب دفعت إلى اختيار هذا المشروع؛ منها أسباب تتعلق بطبيعة المشروع كونه مركز بحثي، وأخرى تعود إلى أسباب شخصية يمكن تلخيصها على النحو التالي :-

الأسباب المتعلقة بطبيعة المشروع :-

- ١ - التأكيد على القيمة العلمية حيث يُعد البحث العلمي ركناً أساسياً من أركان المعرفة الإنسانية في ميادينها كافة كما يُعد أيضاً السمة البارزة للعصر الحديث .
- ٢ - الحاجة لتوفير بناء ي عمل على توفير جو علمي للباحثين ويراعي احتياجاتهم ل القيام بالأبحاث التي تخدم المجتمع وترتقي به لأعلى المستويات .
- ٣ - توفير بناء يخدم البيئة المحيطة ويعمل على تقليل الضرر عليها بقدر الإمكان.
- ٤ - توثيق العلاقات بين طلاب الدراسات العليا الباحثين نظراً للدور الفعال لكلٍّهما على الأبحاث العلمية .

الأسباب الشخصية :-

- ١- رغبة فريق المشروع بأن يكون المشروع إنسانياً .
- ٢- الرغبة في اكتساب مهارة التصميم الإنساني من خلال الربط بين النواحي النظرية التي تم اكتسابها من المساقات المدروسة، وتطبيق ذلك فعلياً في هذا المشروع وما يحتويه من عناصر إنسانية مختلفة، وتصميم هذه العناصر بحيث تتناسب مع الأحوال الواقعة عليها، مع مراعاة توفير عوامل المكانة والاقتصاد .

١-٤ أهداف المشروع :-

١. أهداف معمارية :-

مثل هذه المشاريع الكبيرة تلفت نظر وانتباه المواطنين والزوار والسياح ، لذلك يجب التركيز الجيد على النواحي المعمارية ، فمن خلال هذه المشاريع يستطيع المعماري أن يجعل منها حدثاً تاريخياً من خلال الكتل المتناسقة والعناصر المستعملة في الواجهات، ويكون للمراكز البحثية طابع معماري خاص بها يدل على تطور الذوق المعماري، وهذا يدل على تطور المدينة وحضارتها .

٢- أهداف إنسانية :-

١. القدرة على اختيار النظام الإنساني المناسب للمشاريع المختلفة وتوزيع عناصره الإنسانية على المخططات، مع مراعاة الحفاظ على الطابع المعماري.
٢. العمل على توظيف كافة المعلومات التي اكتسبناها أثناء حياتنا الدراسية من خلال المساقات المختلفة من أجل الوصول إلى مشروع متكامل.
٣. التعرف على نماذج وطرق إنسانية جديدة لم نكتسبها خلال دراستنا ومعرفة كيفية التعامل معها حسب الحاجة.

و بذلك يمكن أن يعد المشروع بمثابة مرجع متكامل في مجال التحليل والتصميم لمختلف العناصر الإنسانية في المبني لما يحويه من أمثلة وتطبيقات على هذه الموضوعات.

١-٥ مشكلة البحث (المشروع) :-

تمثل مشكلة هذا المشروع في التحليل والتصميم الإنساني لجميع العناصر الإنسانية المكونة لمركز الأبحاث والدراسات العليا الذي تم اعتماده ليكون ميداناً لهذا البحث ، وفي هذا المجال سيتم تحليل كل عنصر من العناصر الإنسانية مثل البلاطات والأعصاب والأعمدة والجسور الخ. بتحديد الأحمال الواقعية عليه ، ومن ثم تحديد أبعاده وتصميم التسليح اللازم له ، مع الأخذ بعين الاعتبار عامل الأمان للمنشأ ، ومن ثم سيتم عمل المخططات التنفيذية للعناصر الإنسانية التي تم تصميمها ، لإخراج هذا المشروع من حيز الاقتراح إلى حيز التنفيذ .

٦- نطاق المشروع (حدود المشروع):

سوف تقتصر الدراسة في هذا المشروع على إعداد المخططات الإنسانية الهندسية المطلوبة لمختلف العناصر الإنسانية في المبني الموجودة على تنوعها، لتتكامل هذه التصميمات مع التصميمات المعمارية المعدة مسبقاً.

٦- محتويات المشروع :-

الفصل الأول:

مقدمة عامة عن المشروع.

الفصل الثاني:

الوصف المعماري للمشروع.

الفصل الثالث:

الدراسة الإنسانية للمشروع بما يحتويه من عناصر إنسانية وأحمال، و الوصف الوظيفي لهذه العناصر.

الفصل الرابع:

التحليل والتصميم الإنساني للعناصر الإنسانية من بلاطات وجسور وأعمدة وأساسات وجدران قص وغيرها .

الفصل الخامس:

النتائج والتوصيات.

الفصل السادس:

ملحق المخططات المعمارية والإنسانية

١-٨ المخطط الزمني لمراحل العمل بالمشروع:

يبين الجدول رقم (١-١) المخطط الزمني لمراحل العمل بالمشروع وفق الخطوات المقترنة للعمل خلال الفصل الدراسي الأول .

المرحلة الزمن المقترن (أسبوعاً)	الخطوات المقترنة
٣٢	اختيار المشروع
٣١	دراسة الموقع
٣٠	جمع المعلومات حول المشروع
٢٩	دراسة المبني معماريا
٢٨	دراسة المبني اثنائيا
٢٧	اعداد مقنمة المشروع
٢٦	عرض مقنمة المشروع
٢٥	تحليل الاثنائي
٢٤	التصميم الاثنائي
٢٣	اعداد مخططات المشروع
٢٢	كتابه المشروع
٢١	عرض المشروع
٢٠	
١٩	
١٨	
١٧	
١٦	
١٥	
١٤	
١٣	
١٢	
١١	
١٠	
٩	
٨	
٧	
٦	
٥	
٤	
٣	
٢	
١	

الجدول (١-١): المخطط الزمني للمشروع الفصل الأول

الفصل الثاني

١-٢ مقدمة .

٢-٢ لمحة عامة عن المشروع .

٣-٢ موقع المشروع .

٤-٣-٢ مساحة الموقع .

٤-٣-٢ أسباب اختيار الموقع

٤-٣-٢ حركة الشمس .

٤-٣-٢ حركة الرياح في الموقع .

٤-٣-٢ الطبيعة الطبوغرافية للموقع .

٤-٤ وصف عناصر المشروع .

٤-٤-٢ وصف المسافط الافقية .

٤-٤-٢-١ مبني مركز الابحاث والدراسات العليا .

٤-٤-٢-١-١-٤-٢ الطابق الارضي .

٤-٤-٢-٢-١-٤-٢ الطابق الاول .

٤-٤-٢-٣-١-١-٤-٢ الطابق الثاني .

٤-٤-٢-٤-١-١-٤-٢ الطابق الثالث .

٤-٤-٢-٥-١-١-٤-٢ الطابق الرابع .

٤-٤-٢-٦-١-٤-٢ المبني التعليمي والثقافي .

٤-٤-٢-٧-١-٤-٢ الطابق الارضي .

٤-٤-٢-٨-٢-١-٤-٢ الطابق الاول .

٤-٤-٢-٩-٢-١-٤-٢ الطابق الثاني .

٤-٤-٢-١٠-١-٤-٢ مبني الادارة المركزية و الكفتيريا .

٤-٤-٢-١١-٣-١-٤-٢ الطابق الارضي .

٤-٤-٢-١٢-٣-١-٤-٢ الطابق الاول .

٤-٤-٢-١٣-٣-١-٤-٢ الطابق الثاني .

٤-٤-٢-١٤-٤-١-٤-٢ مبني المكتبة والمعرض .

٤-٤-٢-١٥-٤-١-٤-٢ الطابق الارضي .

٤-٤-٢-١٦-٤-١-٤-٢ الطابق الاول .

٤-٤-٢ وصف الواجهات .

٤-٤-٢-١٧-٢-٤-٢ الواجهة الغرب جنوبية .

٤-٤-٢-١٨-٢-٤-٢ الواجهة الشمال شرقية .

٤-٤-٢-١٩-٢-٤-٢ الواجهة الجنوب شرقية .

٤-٤-٢-٢٠-٢-٤-٢ الواجهة الغرب شمالية .

٤-٤-٢ وصف الحركة في المبني .

١-٢ مقدمة :

تعتبر العمارة أحد أبرز العلوم الهندسية، وهي ليست وليدة هذا العصر؛ بل هي منذ أن خلق الله تعالى الإنسان الذي أطلق العنان لموهبه و خواطره، فانتقل بهذه الموهاب من حياة الكهوف إلى أفضل صورة من صور الرفاهية، مستعلاً ما و بهه الله من جمال لهذه الطبيعة الخلابة.

وبهذا أصبحت العمارة فن وموهبة وأفكار، تستمد قوتها مما و بهه الله للمعماري من مواهب الجمال. وإذا كان لكل فن أو علم ضوابط وحدود يقف عندها فإن العمارة لا تخضع لأي حد أو قيد، فهي تتأرجح ما بين الخيال والواقع؛ والنتيجة قد تكون أبنية متاهية البساطة والصراحة تثير فينا بعض الفضول رغم أنها قد تخبي لنا العديد من المفاجآت عندما ندخلها ونتفاعل مع تفاصيلها.

وقد يبدو المبنى بسيطاً من الخارج، وكأنه مفكك إلى عدة قطع ضخمة دون الشعور بالاتصال بين هذه القطع؛ مع أنها في حقيقة الأمر متصلة ومتراقبة عبر عدة فراغات وجسور ، وقد يعتمد المبنى في تركيبته الهندسية اعتماداً كلياً على شكل هندسي منتظم كوحدة متكررة في كل أجزاء المبنى ، وإن كانت أحياناً تحرف وتقطع لتخرج بتركيبة بصرية لا توحى بارتباطها بالشكل المنتظم.

إن عملية التصميم لأي منشأ أو مبنى تتم عبر عدة مراحل حتى يتم إنجازه على أكمل وجه، تبدأ أولاً بمرحلة التصميم المعماري حيث يتم في هذه المرحلة تحديد شكل المنشأ ويوخذ بعين الاعتبار تحقيق الوظائف والمتطلبات المختلفة التي من أجلها سيتم إنشاء هذا المبنى، حيث يجري توزيع أولي لمرافقه، بهدف تحقيق الفراغات والأبعاد المطلوبة وتحديد موقع الأعمدة والمحاور، وتم في هذه العملية أيضا دراسة الإنارة والتقوية والحركة والتنقل وغيرها من المتطلبات الوظيفية.

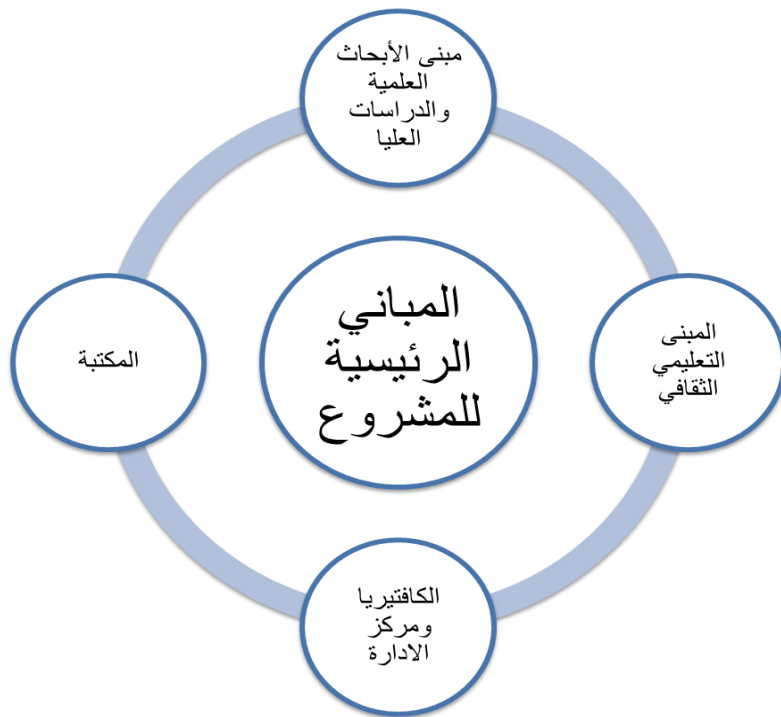
وبعد الانتهاء من مرحلة التصميم المعماري وإخراجها بصورةها النهائية تبدأ عملية التصميم الإنسائي التي تهدف إلى تحديد أبعاد العناصر الإنسانية وخصائصها اعتماداً على الأحمال المختلفة الواقعة عليها والتي يتم نقلها عبر هذه العناصر إلى الأساسات ومن ثم إلى التربة.

٢-٢ لمحة عامة عن المشروع :

إن كل مشروع يتم التفكير فيه لا بد أن يكون هناك هدف من وراء هذا المشروع لذاك فان الهدف الرئيسي لهذا المقترن هو العمل على إنشاء بناء مستقل يكون بمثابة مركز للأبحاث العلمية والدراسات العليا لتلبية حاجات الجامعة الحالية ونشاطات الوحدات البحثية في الجامعة وليتناسب مع الخطط المستقبلية لتطوير البحث العلمي.

إن مراحل إنشاء المشروع تعتمد على الوحدات المتوفرة حالياً في الجامعة، وهم (وحدة التكنولوجيا الحيوية، وحدة الإلكترونيات الصناعية، وحدة الطاقة البديلة و البيئة) التي ينقصها الكثير من العناصر من أجل القيام بعملها على أكمل وجه، والنظرة المستقبلية لإدارة الجامعة كإحدى أكبر المؤسسات التعليمية التي تهتم بالتعليم الهندسي والتقني في فلسطين، وتسعى من أجل رفع المستوى العلمي لأبناء المجتمع الفلسطيني. ويعتبر هذا الدور الذي تقوم به جامعة البوليتكنيك في تطوير المجتمع المحلي دوراً رياضياً على المستوى الوطني.

وتتلخص فكرة المشروع في إنشاء مركز أبحاث ودراسات عليا في مدينة الخليل ، ويلبي جميع الاحتياجات للباحثين والمستخدمين لهذا المركز ؛ فهو يشتمل على قاعات ومدرجات ، وقاعات تدريس ومخابر ومكتبات تلبي جميع الاحتياجات ، ومكاتب لاستخدامات مختلفة منها إدارية وغيرها من الخدمات.



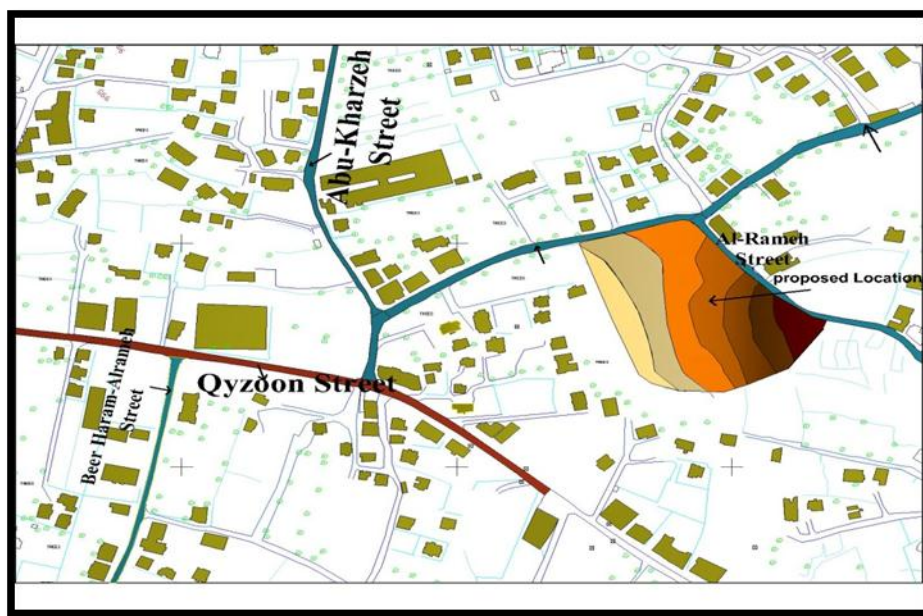
الشكل (١-٢) رسم توضيحي للمكونات

تم الحصول على المخططات المعمارية للمشروع من قبل دائرة الهندسة المدنية والمعمارية في جامعة بوليتكنك فلسطين لينتسب عمل التصميم الإنساني وإعداد المخططات التنفيذية لجميع العناصر الإنسانية التي يشملها.

٣-٢ موقع المشروع :

لتصميم أي مشروع فإنه ينبغي دراسة الموقع المراد إنشاء المبنى عليه بعناية فائقة سواء تعلق ذلك بالموقع الجغرافي أم بتأثير القوى المناخية السائدة في المنطقة، بحيث تكون العناصر القائمة وعلاقتها بالتصميم المقترن في تناسق لتحقيق التصميم الأمثل، فلذلك يجب إعطاء فكرة عامة عن عناصر الموقع، من توضيح للأرض المقترحة للبناء ولعلاقة الموقع بالشوارع والخدمات المحيطة، وارتفاع المبني المحيطة، واتجاه الرياح السائدة ومسار الشمس.

تقع قطعة الأرض المقترن إقامة مركز الأبحاث العلمية والدراسات العليا عليها في منطقة بئر حرم الرامة شمال مدينة الخليل ، وتمتاز المنطقة بجمالها وهدوءها النسبي.
إن ما يميز الموقع بأنه يقع بالقرب من مدخل المدينة الشمالي حيث أنه يسهل الوصول إليه من خلال الطرق المفتوحة على مدخل المدينة (منطقة رأس الجورة).



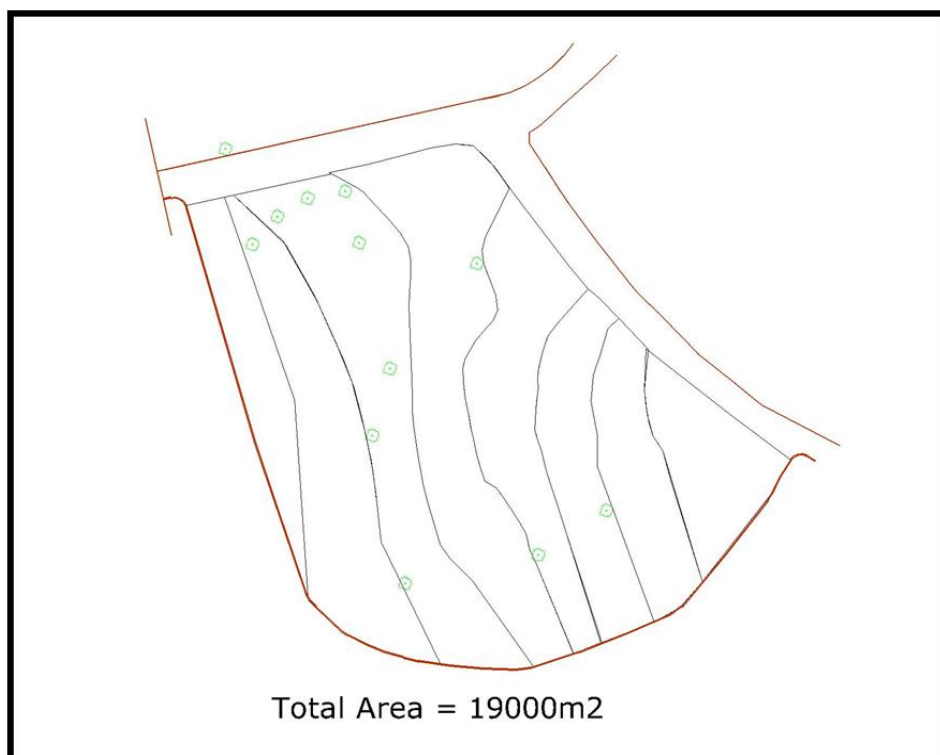
الشكل (٢-٢) خارطة بئر حرم الرامة



الشكل (٣-٢) صورة جوية لقطعة الأرض

١-٣-٢ مساحة الموقع :

تبلغ مساحة قطعة الأرض المقترحة لإقامة المشروع حوالي ١٩ دونم.



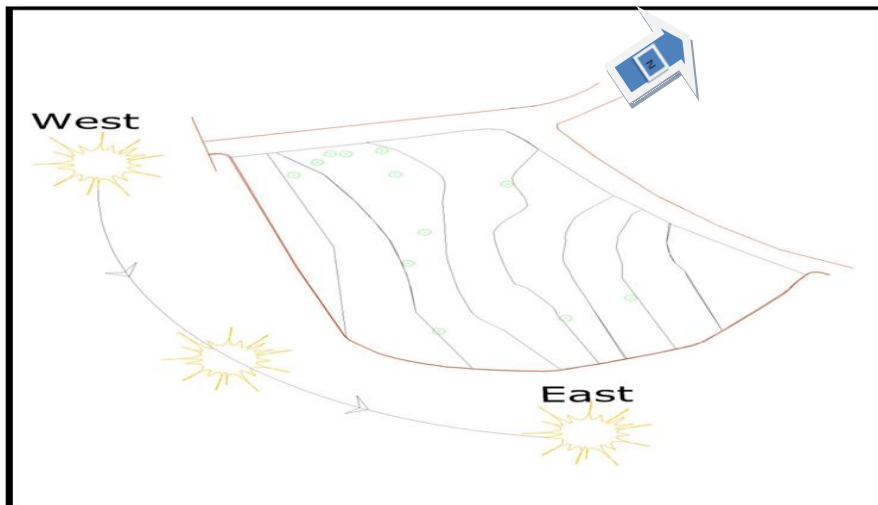
الشكل (٤-٢) الموقع موضح عليه المساحة

٢-٣-٢ أسباب اختيار الموقع:

- ١- امتياز المنطقة بالهدوء والسكون.
- ٢- قربة من مدخل مدينة الخليل الشمالي حيث تطل على الشارع الإقليمي الواصل بين مدينة الخليل وبقية مناطق فلسطين.
- ٣- اتساع رقعة الأرض.
- ٤- طبوغرافية الأرض السهلة.
- ٥- البعد عن الضوضاء والتلوث باعتبارها منطقة تقع على أطراف المدينة ومعزولة عن مناطق الحركة الشديدة.
- ٦- عدم وجود طابع معماري مميز وموحد في المنطقة مما يجعل وضع مبني ذو تميز معماري واضح في الشكل العام، وسيكون أمرا غير مخل في المنطقة.
- ٧- قطعة توفر الأراضي ذات المساحة الملائمة داخل حدود بلدية الخليل، والتي يمكن الحصول على ترخيص عليها.
- ٨- عدم امتلاك الجامعه لقطعة أرض صالحة لمثل هذا المشروع.

٣-٣-٢ حركة الشمس:

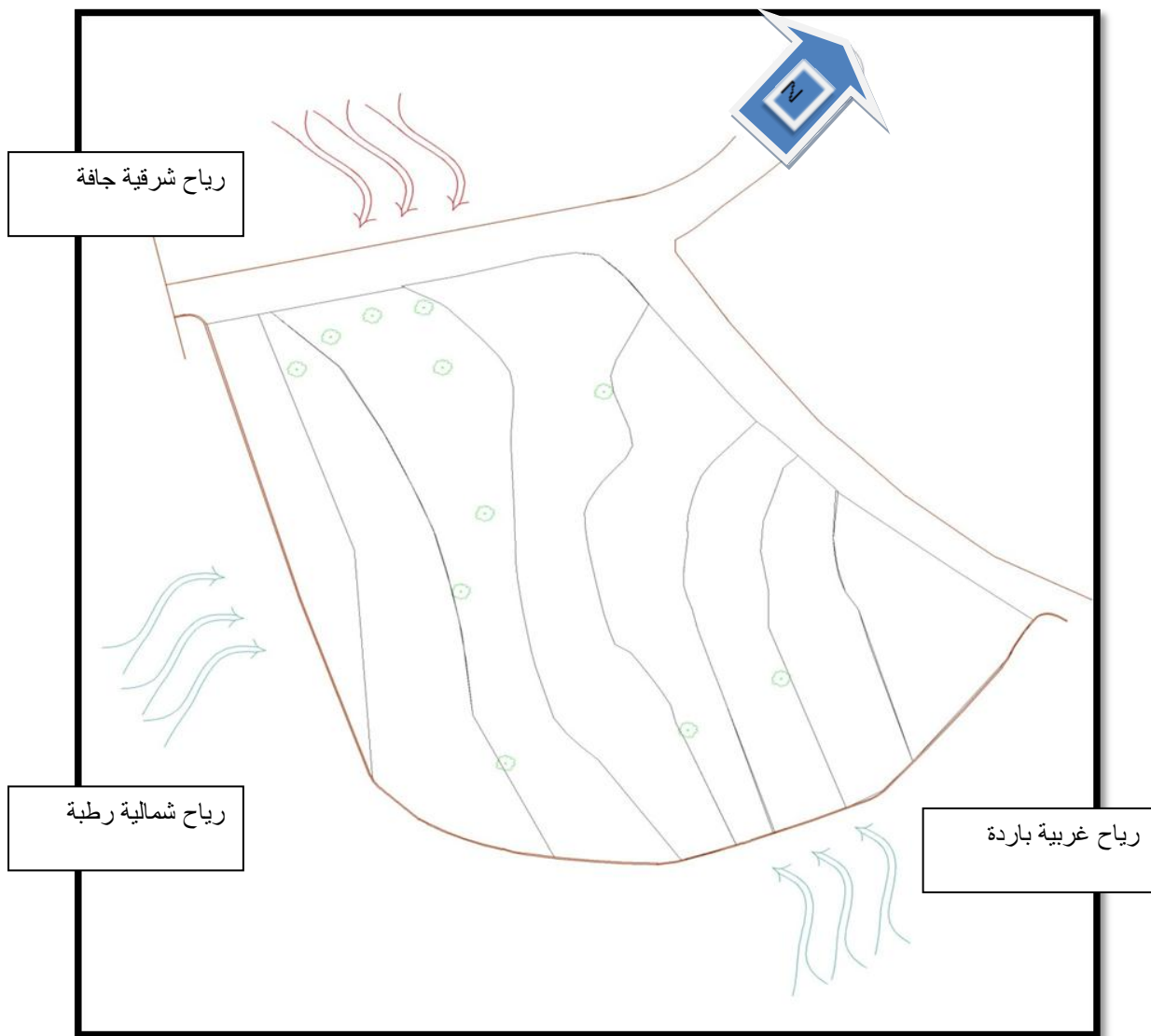
يختلف مقدار الأشعة الشمسية على مدار السنة ويصل أقصى معدل لها بالمدينة في حزيران ٨ كالوري / سم ٢ يوم، أما المعدل السنوي للإشعاع فيبلغ ١٨ ألف كالوري / سم ٢ . والمعدل السنوي لعدد الساعات التي تشع فيها الشمس هي ٣٣٠٠ ساعة / عام. والنهاية العظمى لها تبلغ ٤٠٠ ساعة.



الشكل (٥-٢) شكل يوضح حركة الشمس

٤-٣-٢ حركة الرياح في الموقع :

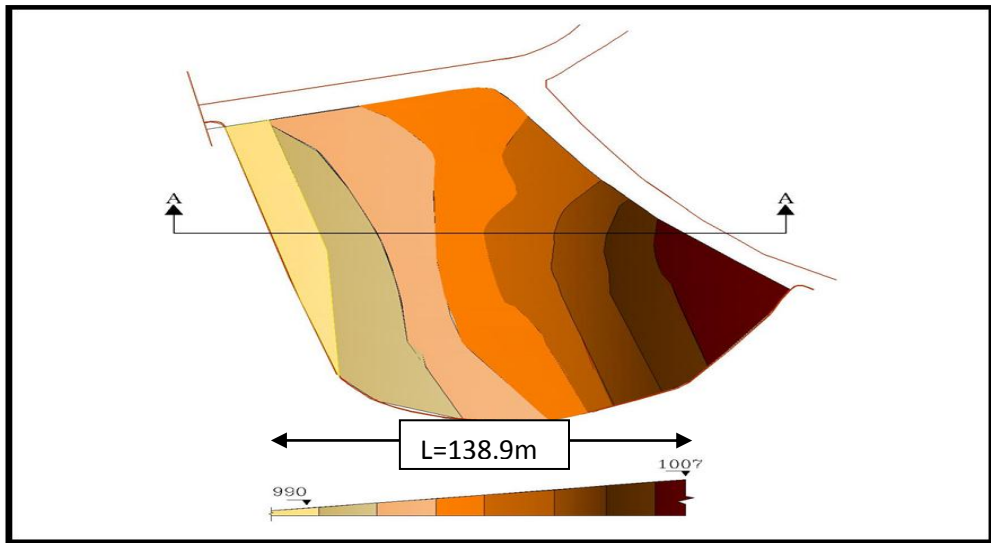
تؤثر الرياح بشكل كبير على المباني سواء على الجدران أو الهيكل الإنسائي بالإضافة إلى عمليات الحف والتعري، لذا فإن مراعاة اتجاه الرياح عند توجيه المبنى أمر ضروري في عملية التصميم. وعادة ما يختلف هبوب الرياح وسرعتها من منطقة إلى أخرى ومن فصل إلى آخر، فالعوامل المحلية من ضغوط وتضاريس لها أثر كبير في اختلاف الرياح التي تتنظم في خطوط عامة، وأهم الرياح التي تهب على مدينة الخليل وتؤثر على الموقع المقترن هي الرياح الجنوبية الشرقية التي تهب شتاءً، والرياح الشمالية الغربية التي تهب صيفاً وشتاءً، لذلك يجب الانتباه جيداً عند توجيه المبنى لتجنب الرياح التي تؤثر بشكل سلبي على المبنى.



الشكل (٦-٢) شكل يبين حركة الرياح

٢-٣-٥ الطبيعة الطبوغرافية للموقع :

تتميز قطعة الأرض المقترحة بأن طبوغرافيتها سهلة، مع وجود اختلاف منسوب بسيط فيها، حيث يشكل ميلاً يساوي ١٢% تقريباً، يساعد على تشكيل التصميم وإعطاء صورة جمالية للأرض للتصميم عليها.

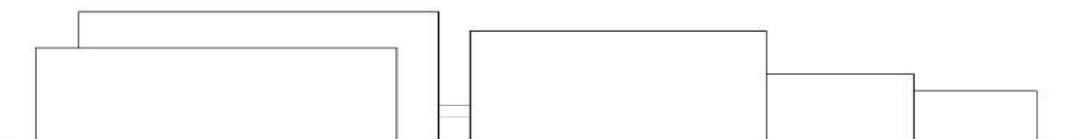


الشكل (٧-٢) الموقع موضح عليه الطبيعة الطبوغرافية ومقطع طولي في الأرض بوضوح المناسب

٤-٤ وصف عناصر المشروع :

قامت الفكرة التصميمية للمشروع على أن الإنسان يتدرج في الحصول على العلم، من أجل الوصول إلى غايته، وقد عكس ذلك على المشروع من خلال الانتقال عبر الممر الخاص بالزوار بواسطة الأدراج والمرات المنحدرة ابتداءً من أخفض نقطة بالمشروع وصولاً لأعلى نقطة فيه والتي تمثل بوجود مركز الأبحاث العلمي والدراسات العليا للتأكد على سمو العلم ورفعته وأهمية العلم والتعلم والتأكد على الدور البارز الذي تلعبه الأبحاث العلمية في عصرنا الحالي ...

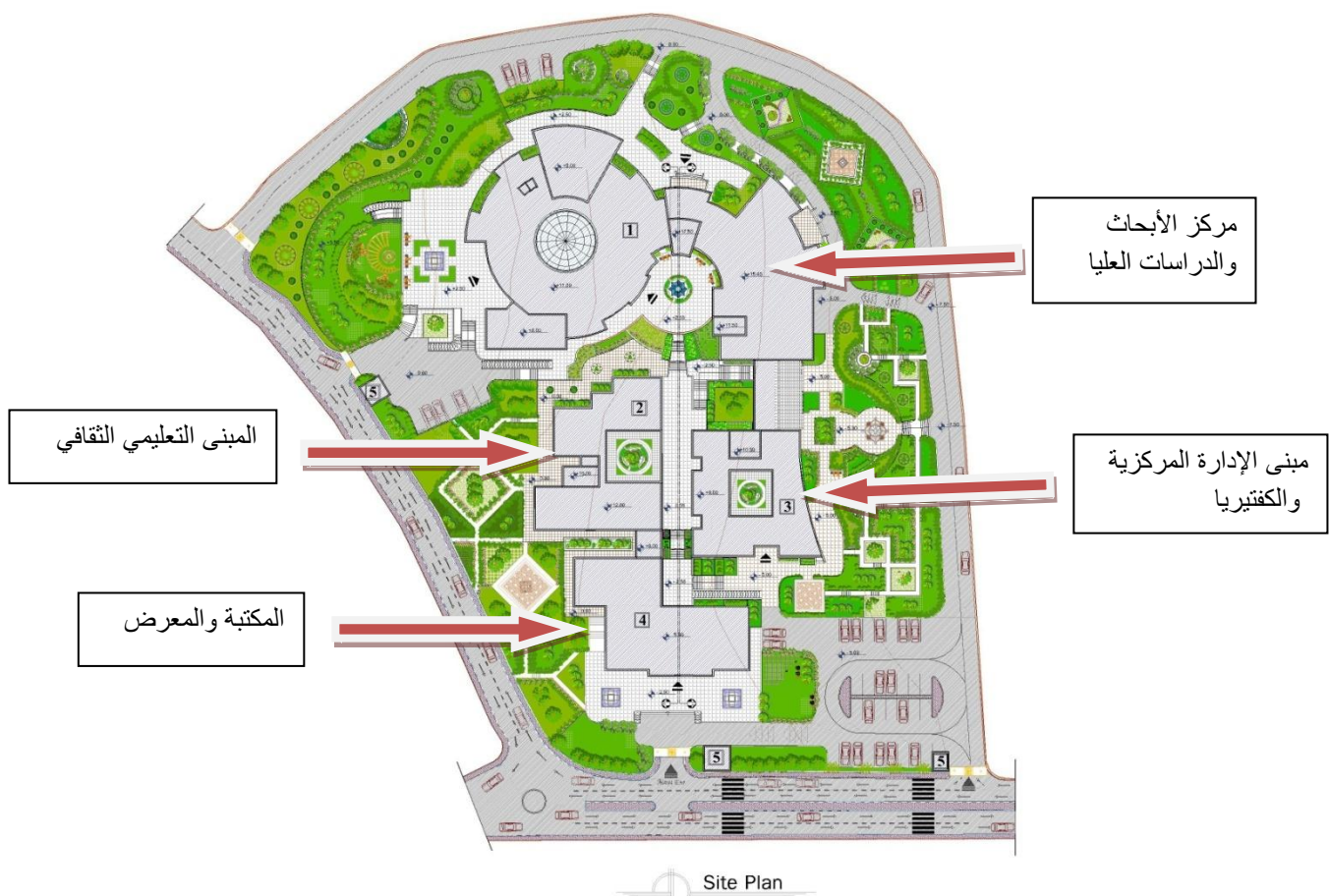
ذلك ظهر هذا التدرج من خلال ارتفاعات المبني حيث تبدأ المبني من الأقل ارتفاعاً إلى أعلى ارتفاع ، كأنه الانتقال بين مراحل العلم والتعلم، الانتقال في الرفعة والسمو. وقد ساعد على تحقيق الفكرة وجود الكنتور في الأرض (حوالي ١٧ م بين أعلى وأخفض نقطة).



شكل (٨-٢) يبين التدرج في كتل المشروع.

يتكون المشروع من اربع كتل كما هو موضح بالشكل التالي :

- ١- مبني مركز الابحاث والدراسات العليا .
- ٢- المبني التعليمي والثقافي .
- ٣- مبني الادارة المركزية والكتفيريا .
- ٤- مبني المكتبة والمعرض .



الشكل (٩-٢) يبين الموقع العام

١-٤-٢ وصف المساقط الافقية :

١-١-٤-٢ مبني مركز الابحاث والدراسات العليا :

يشمل هذا المبني خمسة طوابق ،تبلغ مساحتهم الاجمالية ٦٥٣٠ م٢ ، ذات تنوع خدماتي في كل طابق موزعة وفق الآتي :

١-١-٤-٢ الطابق الأرضي:

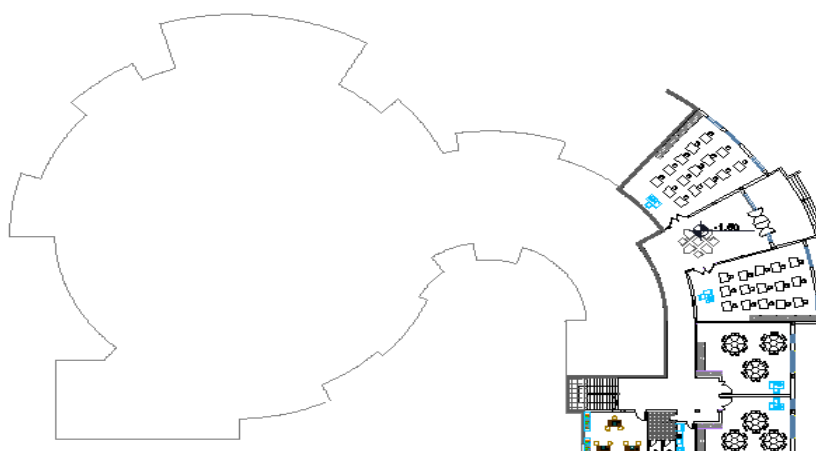
تبلغ مساحة هذا الطابق ٤٥٨,٥ م٢، ويتكون هذا الطابق من مخزن مع موقف لعدد محدود من السيارات للأشخاص المعينين بدخول المخزن والانتقال إلى الطابق الأول.



الشكل (١٠-٢) يبين الطابق الأرضي

٢-١-٤-٢ الطابق الأول :

تبلغ مساحة هذا الطابق ٥٦٢ م٢، ويشمل هذا الطابق على غرف خدمة العاملين في المجال العلمي ، مكتب و منطقة خدمات .



الشكل (١١-٢) يبين الطابق الأول

٣-١-٤-٢ الطابق الثاني :

تبلغ مساحة هذا الطابق ٢٣١٣ م٢، ويشمل هذا الطابق على قاعات مدرجة للتعليم العام النظري وللتعليم الخاص ، وقاعات للمؤتمرات وأخرى للأعمال التطبيقية والعملية ، وقاعات خاصة بالمعلوماتية ، مكتبات مختصة ، وغرف خدماتية للعاملين في المجال العلمي ، ومخابر .



الشكل (١٢-٢) يبين الطابق الثاني

٤-١-٤-٢ الطابق الثالث :

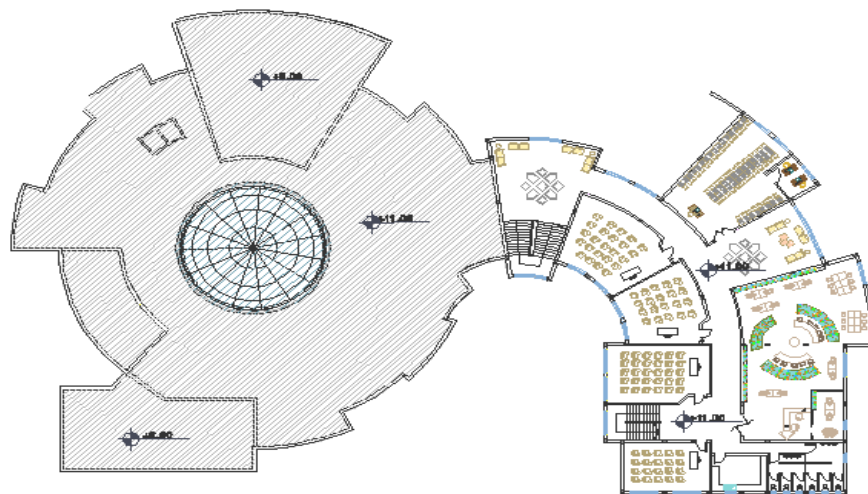
تبلغ مساحة هذا الطابق ٢٣١٣ م٢، ويشمل هذا الطابق على قاعات مدرجة للتعليم العام النظري وللتعليم الخاص ، وقاعات للمؤتمرات وأخرى للأعمال التطبيقية والعملية ، وقاعات خاصة بالمعلوماتية ، مكتبات مختصة ، وغرف خدماتية للعاملين في المجال العلمي ، ومخابر .



الشكل (١٣-٢) يبين الطابق الثالث

٤-١-٤-٢ الطابق الرابع :

تبلغ مساحة هذا الطابق ٢٠٨١٢م^٢، ويشمل هذا الطابق على قاعات للمحاضرات وللامتحانات ، و مختبرات ، ومطقة خدمات وقاعات جلوس .



الشكل (٤-٢) يبين الطابق الرابع

٤-٢-١ المبني التعليمي والثقافي :

يشمل هذا المبني ثلاثة طوابق ،تبلغ مساحتهم الاجمالية ٢٠٠٢م^٢ ، ذات تنويع خدماتي في كل طابق موزعة وفق الآتي :

٤-٢-١-١ الطابق الأرضي:

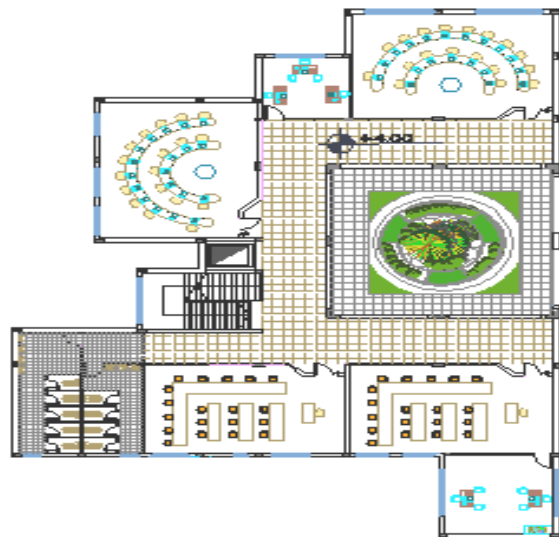
تبلغ مساحة هذا الطابق ٧٦٧م^٢، ويشمل هذا الطابق على مختبرات وقاعات عرض ومكاتب ومنطقة خدمات .



الشكل (٤-١) يبين الطابق الأرضي

٢-٢-١-٤-٢ الطابق الأول :

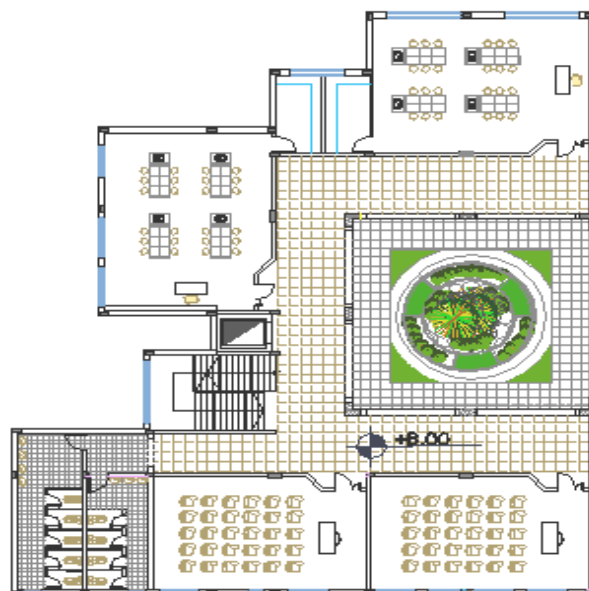
تبلغ مساحة هذا الطابق 827.5م^2 ، ويشمل هذا الطابق على مختبرات وقاعات للمحاضرات ومنطقة خدمات.



الشكل (١٦-٢) يبين الطابق الأول

٣-٢-١-٤-٢ الطابق الثاني :

تبلغ مساحة هذا الطابق 605م^2 ، ويشمل هذا الطابق على مختبرات وقاعات للمحاضرات ومنطقة خدمات.



الشكل (١٧-٢) يبين الطابق الثاني

٣-٤-٢ مبني الادارة المركزية و الكفتيريا :

يشمل هذا المبنى ثلاثة طوابق ،تبلغ مساحتهم الإجمالية ١٩٩٠ م٢، ذات تنوع خدماتي في كل طابق موزعة وفق الآتي :

١-٤-٢ الطابق الأرضي:

تبلغ مساحة هذا الطابق ٦٤٦ م٢، ويشمل هذا الطابق على كفتيريا ومناطق جلوس ومطبخ ومخزن ومنطقة خدمات .



الشكل (١٨-٢) يبين الطابق الأرضي

٢-٤-٢ الطابق الأول :

تبلغ مساحة هذا الطابق ٦٧٠.٥ م٢، ويشمل هذا الطابق على قاعات حلوس و مكاتب وغرف أبحاث ومنطقة خدمات .



الشكل (١٩-٢) يبين الطابق الأول

٢-٣-١-٤-٢ الطابق الثاني :

تبلغ مساحة هذا الطابق ٥٦٧٠.٢م، ويشمل هذا الطابق على قاعات حلوس و مكاتب وغرف أبحاث وقاعة اجتماعات ومنطقة خدمات .



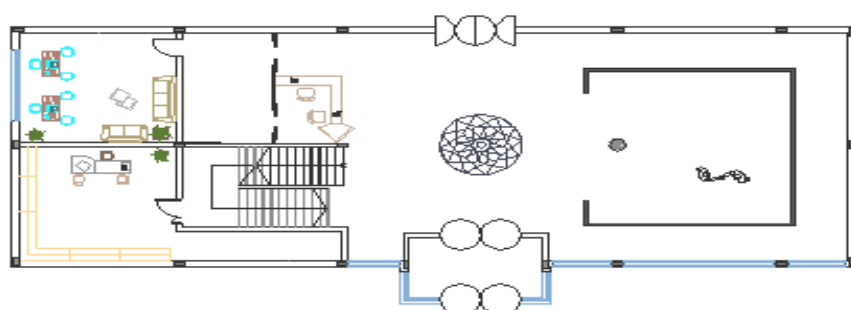
الشكل (٢٠-٢) يبين الطابق الثاني

٢-٤-١-٤-٤ مبني المكتبة والعرض :

يشمل هذا المبني طابقين ،تبلغ مساحتهم الإجمالية ١٠٢١.٥م، ذات تنوّع خدماتي في كل طابق موزعة وفق الآتي :

٢-٤-١-٤-١ الطابق الأرضي :

تبلغ مساحة هذا الطابق ٥٣٨٦.٥م، ويشمل هذا الطابق على قاعة ومكتب ومخزن .

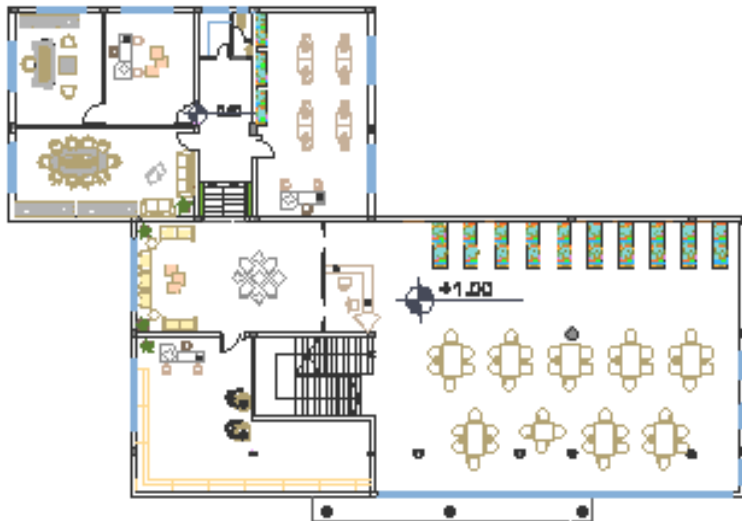


الشكل (٢١-٢) يبين الطابق الأرضي

٢-٤-١-٤-٢ الطابق الأول :

تبلغ مساحة هذا الطابق ٣٨٦.٥م٢، ويشمل هذا الطابق على قاعة قراءة ، مكتب ، مخزن ، غرفة اجتماعات

وقاعة ابحاث .



الشكل (٢٢-٢) يبين الطابق الأول

٢-٤-٢ وصف الواجهات :

لا شك في أن الواجهات المنبثقة من أي تصميم تعطي الانطباع الأول عن المبنى ومدى علاقته مع البيئة المحيطة بل إنها تظهر اختلاف الوظيفة التي تؤديها الفراغات والتي تعكسها الواجهة؛ وهذا يتأتى من خلال نظام الفتحات التي تظهرها الواجهة والتي لا بد وأن تناسب مع وظيفة هذا الفراغ، أو من خلال المناسب وتقاومتها .

٢-٤-٢-١ الواجهة الجنوبية الغربية:

الشكل (٢٣-٢) يبين الواجهة الجنوبية الغربية

عند النظر إلى الواجهة (الغرب جنوبية) تجد الإبداع المعماري في تنوع الكتل المعمارية ذات المناسب المقاوطة والتي أضافت طابع جمالي للواجهة ، كما وتتنوع انواع الحجر المستخدمة والوانها ، و استخدام الواجهات الزجاجية التي أضافت جمالاً للواجهة .

٤-٢-٢ الواجهة الشمالية الشرقية :



الشكل (٤-٢) يبين الواجهة الشمالية الشرقية

ويظهر في هذه الواجهة جلياً الكتل واختلاف المناسبات مما أضفى رونقاً جماليّاً على المظهر المعماري إضافة إلى استعمال أكثر من نوع للحجر بالتنسيق مع لون الزجاج الظاهر في الواجهة، كما تحتوي الواجهة على كتلة دائريّة التي تعطي نوع جديد من اشكال المبني.

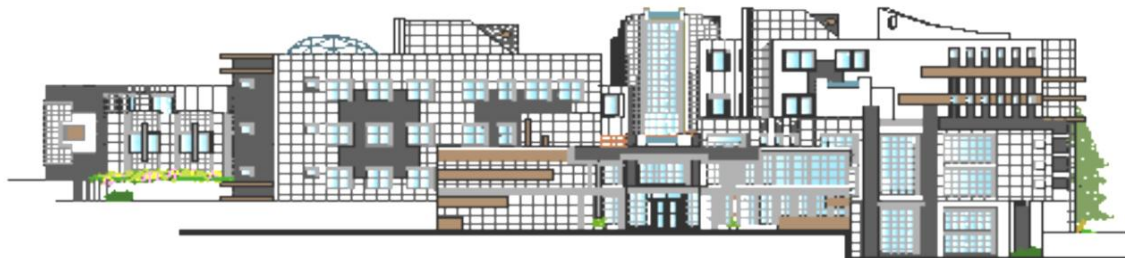
٤-٢-٣ الواجهة الجنوبيّة الشرقيّة :



الشكل (٤-٣) يبين الواجهة الجنوبيّة الشرقيّة

ويظهر في هذه الواجهة اختلاف المناسبات مما أضفى رونقاً جماليّاً على المظهر المعماري إضافة إلى استعمال أكثر من نوع للحجر بالتنسيق مع لون الزجاج الظاهر في الواجهة ، كما تحتوي الواجهة على كتلة دائريّة التي تعطي رونقاً جماليّاً.

٤-٤-٢ الواجهة الشمالية الغربية:



الشكل (٢٦-٢) يبين الواجهة الشمالية الغربية

ويظهر في هذه الواجهة جلياً الكتل واختلاف المناسب مما اضفي رونقاً جماليّاً على المظهر المعماري إضافة إلى استعمال اكثراً من نوع للحجر بالتنسيق مع لون الزجاج الظاهر في الواجهة.

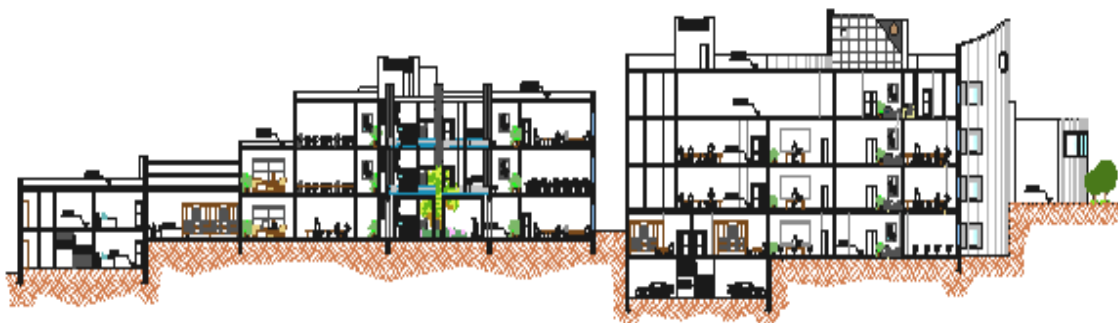
٤-٣-٢ وصف الحركة في المبني :

تتعدد أشكال الحركة حول المبني ، حيث تم مراعاة الراحة والأمان والسهولة في الحركة ، والتي تتمثل خارجياً في الوصول إلى مبني المركز وداخله بالحركة الأفقية العمودية وكذلك سلاسة الحركة خارج المبني و تعدد الطرق المؤصلة إليها.



الشكل (٢٧-٢) يبين الواقع العام للمركز

وفيما يتعلق بالحركة الراسية بين الطوابق فإنها تتم من خلال الأدراج والمصاعد الكهربائية حيث أنها تأخذ أماكن متعددة في المبني وهذا بدوره يسهل الحركة الأفقية داخل الطابق والحركة الراسية بينها . وهذا ما يوضحه الشكل التالي .



الشكل (٢٨-٢) يبين القطاع (A-A)



الشكل (٢٩-٢) يبين القطاع (B-B)

الفصل الثالث

٣-١ مقدمة.

٣-٢ هدف التصميم الانشائي.

٣-٣ الدراسات التحليلية و النظرية.

٣-٣-١ الأحمال و تصنيفها .

٣-٣-١-١ الأحمال الميتة.

٣-٣-٢ الأحمال الحية.

٣-٣-٣ الأحمال البيئية .

٣-٤ الاختبارات العملية

٣-٥ العناصر الإنسانية المستخدمة

٣-٥-١ البلاطات .

٣-٥-٢ الجسور .

٣-٥-٣ الأعمدة.

٣-٥-٤ الجدران الحاملة (جدران القص).

٣-٥-٥ الأساسات.

٣-٥-٦ الأدراج.

٣-٥-٧ الجدران الإستنادية .

٣-٥-٨ فواصل التمدد .

١-٣ مقدمة :

إن عملية التصميم الإنساني لأي منشأ هي عملية متكاملة غير قابلة للتجزئة، وبعد الانتهاء من مرحلة الوصف المعماري للعناصر والمباني الموجودة في مركز الأبحاث والدراسات العليا تنتقل إلى مرحلة دراسة العناصر الإنسانية الموجودة في مختلف المباني من أجل تحديد النظام الإنساني الأمثل لكل مبني من المباني الموجودة في هذا المركز بهدف القيام بتصميم العناصر الإنسانية المختلفة لكل مبني.

في هذه الفصل نجري دراسة للعناصر الإنسانية المختلفة من أعمدة وجسور وأسسات وغيرها من العناصر الإنسانية، كما سيتم أيضاً تحديد قيم الأحمال المختلفة على كل عنصر من هذه العناصر ونوع هذه الأحمال من أحمال ميّة أو أحمال حية أو أحمال بيئية أخرى بحسب العنصر الإنساني. كل ذلك وفقاً للمتطلبات والمقاييس والمواصفات القياسية التي سنذكرها لاحقاً.

٢-٣ هدف التصميم الإنساني :

الهدف السامي من التصميم الإنساني ، هو ولادة منشأ متكامل و مترابط ، يعمل كوحدة واحدة في مقاومة الظروف والعوامل التي يتعرض لها ، من أحمال حية و ميّة و بيئية ، و عند تصميم أي عنصر من العناصر الإنسانية ، لابد أن يراعى فيه المعايير التالية :-

- ✓ الأمان (Safety) : يتم الوصول إليه من خلال اختيار العنصر الإنساني المناسب ، في المكان المناسب ، قادر على مقاومة الأحمال والإجهادات التي يتعرض لها بأمان.
- ✓ التكلفة (Cost) : يتم تحقيقها عن طريق أنواع مواد البناء المستخدمة ومقاطع مناسبة التكلفة و كافية للغرض الذي ستستخدم من أجله ، من دون المبالغة فيها .
- ✓ حدود صلاحية المبني للتشغيل (Serviceability) من حيث تجنب أي هبوط زائد (Deflection) و تجنب التشققات (Cracks) التي تشوّه المبني معمارياً ، و تضعفه إنسانياً.
- ✓ الرونق الجمالي للمبني.

٣-٣ الدراسات التحليلية و النظرية :-

إن عملية التحليل التي تخص الجانب الإنساني ، تتطرق بصفة رئيسية إلى دراسة الأحمال التي تتعرض لها المنشآت و تحدياتها، لوضع سبل مقاومتها بالشكل الإنساني المطلوب بدقة و عناية ، و فيما يلي سرد موجز عن الأحمال و أنواعها .

٣-١ الأحمال وتصنيفها :-

تقسم الأحمال بصورة مباشرة على حسب طريقة تأثيرها في المنشآت إلى :-

- ١- الأحمال الرئيسية (المباشرة) : وهذه الأحمال تتضمن الأحمال الميئية والأحمال الحية والأحمال البيئية .
- ٢- الأحمال الثانوية (غير المباشرة) : وتشمل انكماش الجفاف للخرسانة ، والتأثير الحراري والزحف وهبوط الأساس .

لذا في جانب الحساب الإنساني، يجب مراعاة الدقة المتناهية في عملية تمثيل الأحمال على العناصر الإنسانية على حسب التصنيف السابق ، فالخرسانة مثلاً تمتلك معامل تمدد و انكمash مخالف تماماً للحديد الذي يكون فيه.

لذا لابد للعناصر الإنسانية التي يتم تصميمها أن تكون قادرة على تحمل الأحمال الواقعه عليها دون حدوث انهيار للمنشأة وهذه الأحمال هي:

١) الأحمال الميئية .

٢) الأحمال الحية .

٣) الأحمال البيئية .

٣-١-١-الأحمال الميّة :-

هي أحمال تنتجم عن وزن المبني الذاتي الذي يتكون من أوزان مواد البناء المستخدمة حيث تتضمن جميع العناصر الإنسانية و التجهيزات الثابتة فهي أحمال تلازم المبني بشكل دائم، ثابتة المقدار والإتجاه.

وفيما يتعلق بالكتافة النوعية للمواد المستخدمة فهي كالتالي:

الكتافة المستخدمة (NN/m ³)	المادة المستخدمة	الرقم المتسلسل
٢٢	المونة والبلاط	١
٢٢	البلاط	٢
٢٥	الخرسانة المسلحة بنسبة ٢% ماء	٣
١٦.٤	الرمل	٤
٢٢	القصارة	٥

ملاحظة: تحسب اوزان القواطع بقيمة $KN/m^2 ٢.٣٨$ للمقطع.

الجدول (١-٣) الكثافة النوعية للمواد المستخدمة

٣-١-٢-الأحمال الحية :-

وهي الأحمال التي تتعرض لها الأبنية والإنشاءات بحكم استعمالاتها المختلفة ، او استعمالات جزء منها ، بما في ذلك الأحمال الموزعة والمركزة، وهي تشمل :

١. الأحمال الديناميكية، كالأجهزة التي ينشأ عنها اهتزازات تؤثر على المنشأة .
٢. الأحمال الساكنة، والتي يمكن تغيير أماكنها من وقت لآخر، كأوزان الأشخاص وأثاث البيوت ، والأجهزة والآلات غير المثبتة، والمواد المخزنة والأثاث والأجهزة والمعدات، والجدول (٢-٣) يبيّن قيمة الأحمال الحية اعتماداً على نوعية استخدام المبني حسب الكود الأردني.

الاحمال الحية (KN/m ²)	نوع المنشأ	الرقم
٣ ٣ ٣ ٥	المباني التعليمية <ul style="list-style-type: none"> • غرف التدريس • الممرات والمداخل والادراج • المختبرات • قاعات التجمع والمسارح 	١
٣ ٤ ١٠.٥	المباني الإدارية <ul style="list-style-type: none"> • المكاتب • السلالم • غرف التخزين 	٢
٢	التجمعات <ul style="list-style-type: none"> • الكفتيريا 	٣
٥ ٦	القاعات والصالات <ul style="list-style-type: none"> • القاعات ذات المقاعد الثابتة • القاعات بدون مقاعد ثابتة 	٤
٤ ٦.٥ على الاقل	المكتبات <ul style="list-style-type: none"> • غرف الاطلاع • غرف تكديس الكتب 	٧

الجدول (٢-٣) الأحمال الحية

-٣-١-٣-الأحمال البيئية :-

وتنتمل في الأحمال الصادر من المصادر الطبيعية و هي :-

(١) الرياح

عبارة عن قوى أفقية تؤثر على المبني ويظهر تأثيرها في المبني المرتفعة وهي القوى التي تؤثر بها الرياح على الأبنية أو المنشآت أو أجزائها، وتكون موجبة إذا كانت ناتجة عن ضغط وسالبة إذا كانت ناتجة عن شد، وتقاس بالكيلو نيوتن للمتر المربع (KN/m²). وتحدد أحمال الرياح اعتماداً على ارتفاع المبني عن سطح الأرض، والموقع من حيث الإحاطة من مبني سواء كانت مرتفعة أو منخفضة ، وتم مقاومة هذه الأحمال من خلال جدران الفص التي يتم توزيعها بناء على الأحمال المؤثرة عليها .

٢) الثلوج

هي الأحمال التي يمكن أن يتعرض لها المنشآت بفعل تراكم الثلوج، ويمكن تقدير أحمال الثلوج اعتماداً على الأسس التالية:

- ارتفاع المنشأة عن سطح البحر.

- ميلان السطح المعرض لتساقط الثلوج.

و الجدول التالي يبين قيمة أحمال الثلوج حسب الارتفاع عن سطح البحر حسب الكود الأردني.

أحمال الثلوج (kN /m ²)	علو المنشأة عن سطح الأرض (h) (بالمتر)
0	$h < 250$
$(h-250) / 800$	$500 > h > 250$
$(h-400) / 320$	$1500 > h > 500$

الجدول (٣-٣): قيمة أحمال الثلوج حسب الارتفاع عن سطح البحر.

وللمواقع التي تزيد ارتفاعاتها عن (1500) متر، يجب اللجوء إلى استشارة ذوي الاختصاص.

وسيتم حساب أحمال الثلوج في الفصل الرابع لتصميم العناصر الانشائية للأسقف .

٣) الزلازل

من أهم الأحمال البيئية التي تؤثر على المبني و هي عبارة عن قوى أفقية و رئيسية يتولد عنها عزوم منها عزم الالتواء و عزم الانقلاب، ويمكن مقاومتها باستخدام جدران القص المصممة بسمكات و تسليح كافي بضمن سلامة المبني عند تعرضه لمثل هذه الأحمال التي يجب مراعاتها في عملية التصميم لتقليل الخطورة والمحافظة على أداء المبني لوظيفته أثناء الزلازل، ويتم تحديد أحمال الزلازل وقوى القص اعتماداً ورجوعاً إلى الكود المستخدم (UBC 1997) .

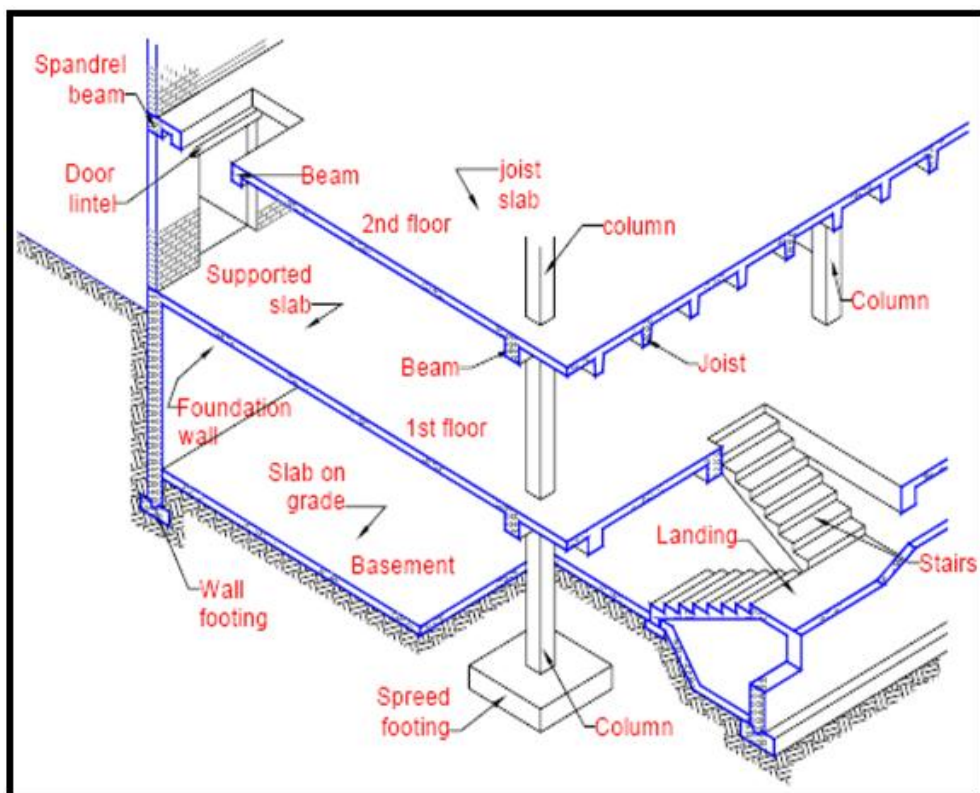
٣-٤ الاختبارات العملية :-

يسبق الدراسة الإنسانية لأي مبني ، عمل الدراسات الجيوتكنية للموقع، ويعنى بها جميع الأعمال التي لها علاقة باستكشاف الموقع ودراسة التربة والصخور والمياه الجوفية ، وتحليل المعلومات وترجمتها للتبؤ بطريقة تصرف التربة ، عند البناء عليها، وأكثر ما يهتم به المهندس الإنساني هو الحصول على قوة تحمل التربة (Bearing Capacity) اللازمة لتصميم أساسات المبني.

لقد تم الحصول على عينات لفحص التربة وقد تم اعتماد قوة تحمل التربة حسب نتائج الفحوصات لترابة أساسات الابنية المجاورة وتساوي (3 KN/m²) .

٣-٥ العناصر الإنسانية :-

المبني هو عبارة عن محصلة التحام العناصر الإنسانية مع بعضها البعض ، لتصبح كتلة واحدة متكاملة لا يعرّيه أي شائبة ، منتصباً أمام الأحمال التي يتعرض لها ، ومن أهم هذه العناصر، العقدات والجسور والأعمدة والجدران الحاملة والأساسات وغيرها.



الشكل (٣ - ١) بعض العناصر الإنسانية المكونة للمبني.

٣-٥-١ العقدات (البلاطات) :

البلاطات عبارة عن العناصر الإنسانية التي تقوم بنقل القوى الرئيسية بسبب الأحمال المؤثرة عليها إلى العناصر الإنسانية الحاملة في المبني مثل الجسور والجدران والأعمدة ،دون تعرضها إلى تشوهات .

ويوجد أنواع مختلفة وعديدة شائعة الاستعمال من البلاطات الخرسانية المسلحة ، منها ما يلي :

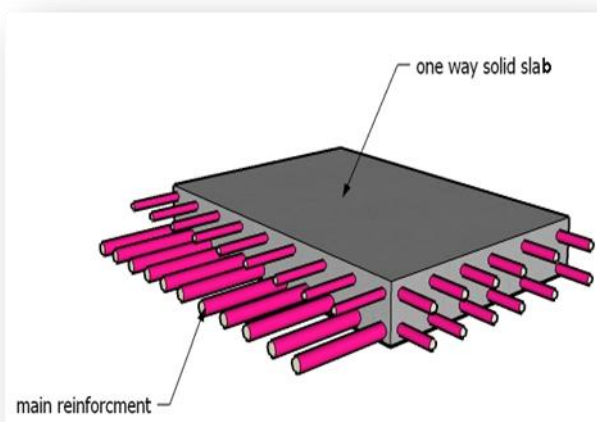
١. **البلاطات المصمتة Solid Slabs**
٢. **البلاطات ذات الأعصاب Ribbed Slabs**

ونظراً لوجود العديد من الفعاليات في هذا المشروع ، وتنوع المتطلبات المعمارية تم استخدام النوعين السابقين حسب ما هو ملائم لطبيعة الاستخدام ، والذي سيوضح في التصاميم الإنسانية في الفصول اللاحقة .

-٣-١-٥-١. البلاطات المصمتة :-Solid Slabs

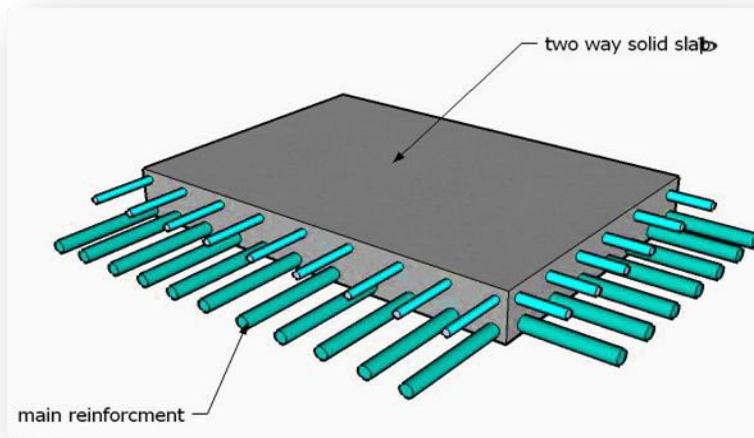
وينقسم هذا النوع إلى قسمين وهما :-

- أ. **البلاطات المصمتة في اتجاه واحد One Way Solid Slabs**
وقد تم استخدام النوع من هذه البلاطات في بعض عقدات بيت الدرج .



الشكل (٣ - ٢) بلاطة مصممة باتجاه واحد

بـ- البلاطات المصممة في اتجاهين Two Way Solid Slabs . وقد تم استخدام النوع من هذه البلاطات في بعض عقدات بيت الدرج .



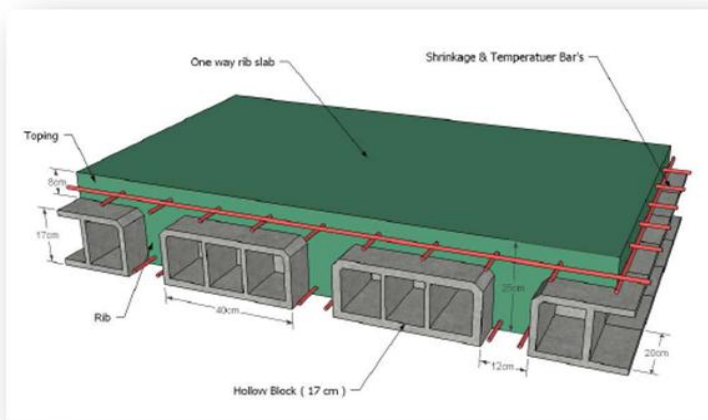
الشكل (٣ - ٣) بلاطة مصممة باتجاهين .

-: Ribbed Slabs ٢-١-٥-٣

أما البلاطات ذات الأعصاب فتقسام إلى قسمين هما :-

--: One Way Ribbed Slabs

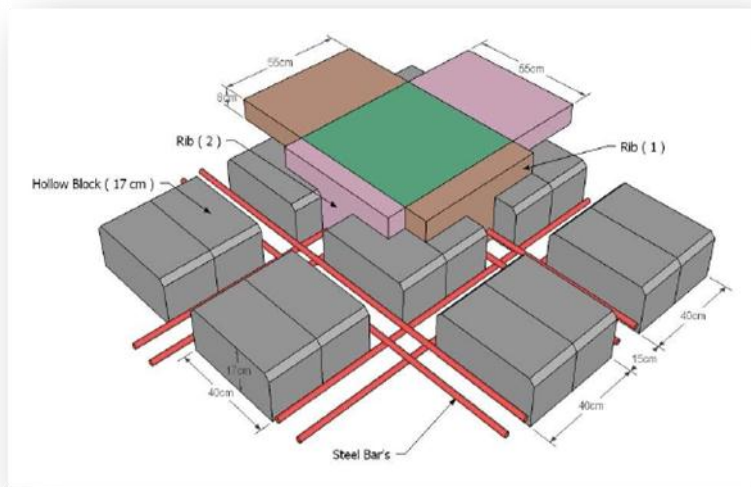
تستخدم هذه البلاطات عندما يراد تغطية مساحات بدون جسور ساقطة ، ويتم استخدام هذه البلاطات في جميع طوابق هذا المشروع.



الشكل (٣ - ٤) بلاطات العصب ذات الاتجاه الواحد .

ب - بلاطات العصب ذات الاتجاهين (Tow Way Rib Slabs)

بلاطات العصب في اتجاهين فتستخدم في حالة المساحات الكبيرة نسبيا ، خاصة عندما تكون مسافات البحور للبلاطة متقاربة و تكون المسافات أكثر من 6م .



الشكل (٣ - ٥) بلاطات العصب ذات الاتجاهين .

٣-٥-٢ الجسور :

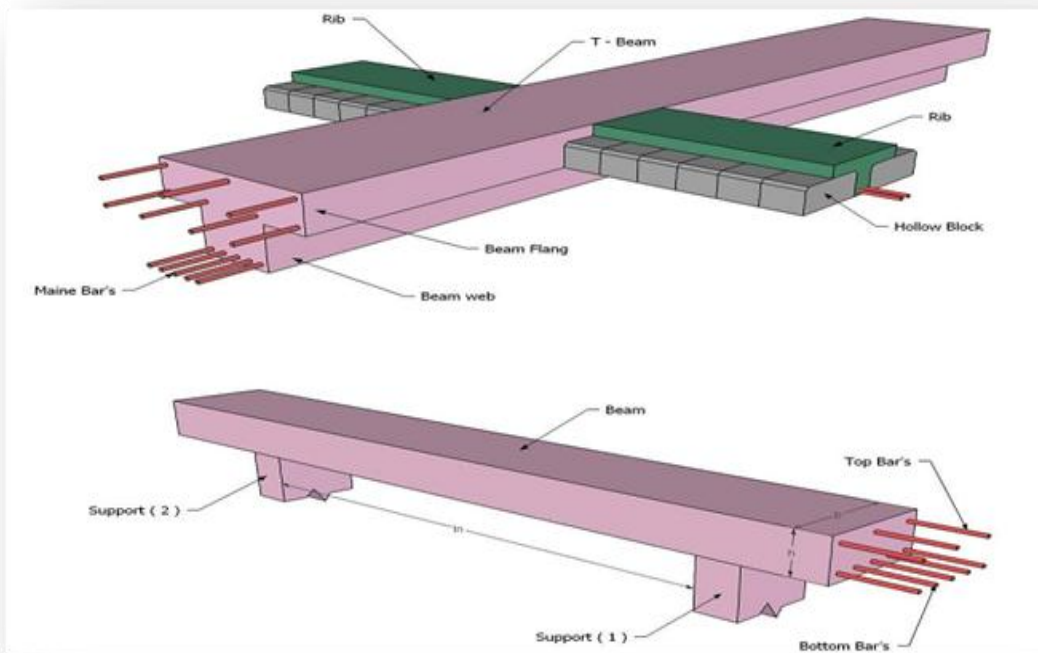
وهي عناصر إنشائية أساسية ، تقوم بنقل الأحمال من الأعصاب والبلاطات المصمتة لتقوم بنقلها إلى الأعمدة، و الجسور الخرسانية على نوعين هما :-

١. **الجسور المنسورة** : - عبارة عن الجسور المخفية داخل العقدة بحيث يكون ارتفاعها يساوي ارتفاع العقدة .

٢. **الجسور الساقطة (Dropped Beam) :** -

عبارة عن تلك الجسور التي يكون ارتفاعها اكبر من ارتفاع العقدة ويتم ابراز الجزء الزائد من الجسر في احد الاتجاهين السفلي (Down Stand Beam) أو العلوي (Up stand Beam) بحيث تسمى هذه الجسور - L section , T-section

ونظراً للتوزيع الجيد لقوى المؤثرة على السطح ومن ثم على الأعمدة و الجسور ، فقد تم استخدام الجسور الساقطة مع مراعاة حدود الهبوط المسموح (Limitation of Deflection).

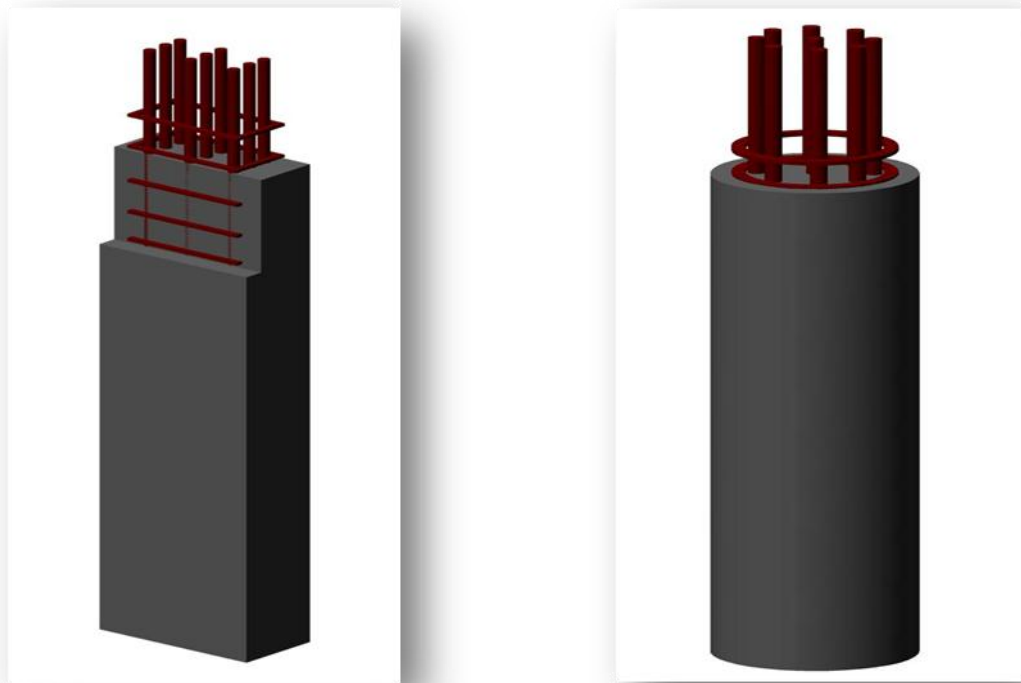


الشكل (٦-٣) أشكال الجسور .

٣-٥-٣ الأعمدة :

تعتبر الأعمدة العنصر الرئيسي في نقل الأحمال من البلاطات والجسور ونقلها إلى الأساسات، وبذلك فهي عنصر إنشائي ضروري في نقل الأحمال وثبات المبنى . لذلك يجب تصميمها بحيث تكون قادرة على نقل وتوزيع الأحمال الواقعة عليها .

أما بالنسبة إلى أنواع الأعمدة فهي على نوعين: الأعمدة القصيرة والأعمدة الطويلة. ولمقاطع الأعمدة أشكال عديدة، منها المستطيل و الدائري و المضلعل و المربع و المركب. وهناك تصنيف آخر للأعمدة من حيث طبيعة المادة المستخدمة فمنها الخرسانية والمعدنية والخشبية .



٣-٦-ب عمود مستطيلي

٣-٦-أ عمود دائري

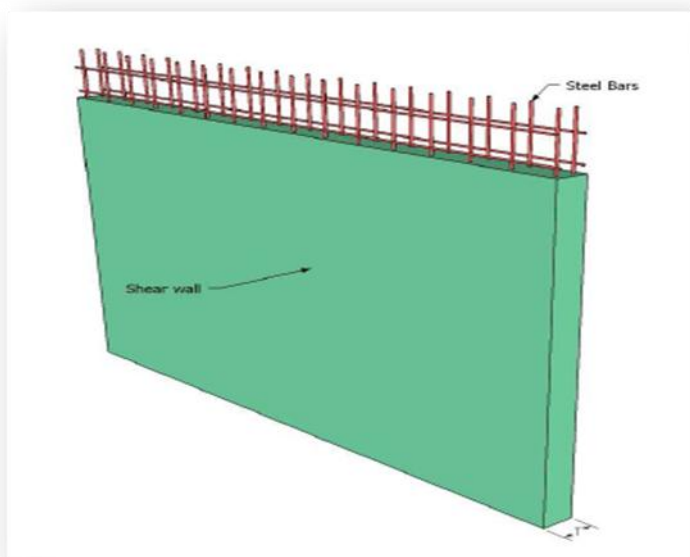
الشكل (٣-٧) يبين أنواع الأعمدة المستخدمة .

٣-٥-٤ جدران القص (Shear Wall) :

وهي عناصر إنشائية حاملة تقاوم القوى العمودية والأفقية الواقعة عليها وتستخدم بشكل أساسى لمقاومة الأحمال الأفقية مثل قوى الرياح والزلزال وتسمى جدران القص (shear wall) ، وهذه الجدران تسلح بطبقتين من الحديد حتى تزيد من كفاءتها على مقاومةقوى الأفقية .

ونعمل هذه الجدران على تحمل الأوزان الرأسية المنقوله إليها كما تعمل على مقاومةقوى الأفقية التي يتعرض لها المنشأ، ويجب توفرها في الاتجاهين مع مراعاة أن تكون المسافة بين مركز المقاومة الذي تشكله جدران القص في كل اتجاه ومركز التقل للمبني أقل ما يمكن. وان تكون هذه الجدران كافية لتقليل تولد العزوم وآثارها على جدران المبني مقاومةقوى الأفقية .

وقد تم تحديد جدران القص في المبنى وتوزيعها بشكل مدروس في كامل المبنى وذلك لنتمك من تصميمها في الفصول القادمة ، وتمثل هذه الجدران ، بجدران بيت الدرج ، وجدران المصاعد ، والجدران الأخرى التي تبدأ من أساسات المبني .



الشكل (٣ - ٨) جدار القص

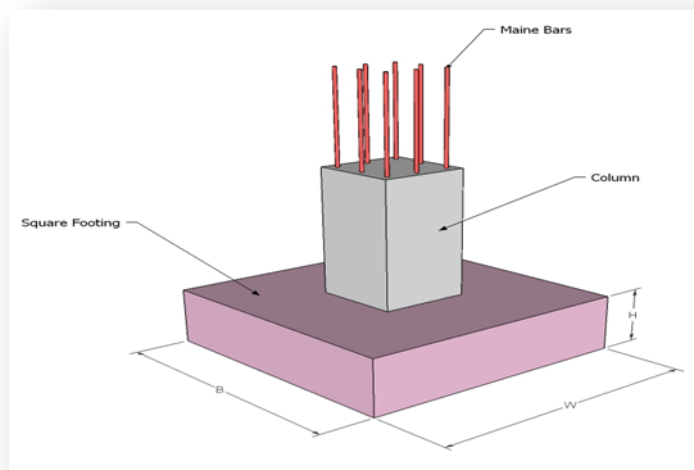
٥-٥ : (Foundations)

وبالرغم من أن الأساسات هي أول ما نبدأ بتنفيذها عند بناء المنشآ ، إلا أن تصميمها يتم بعد الانتهاء من تصميم كافة العناصر الإنشائية في المبني .

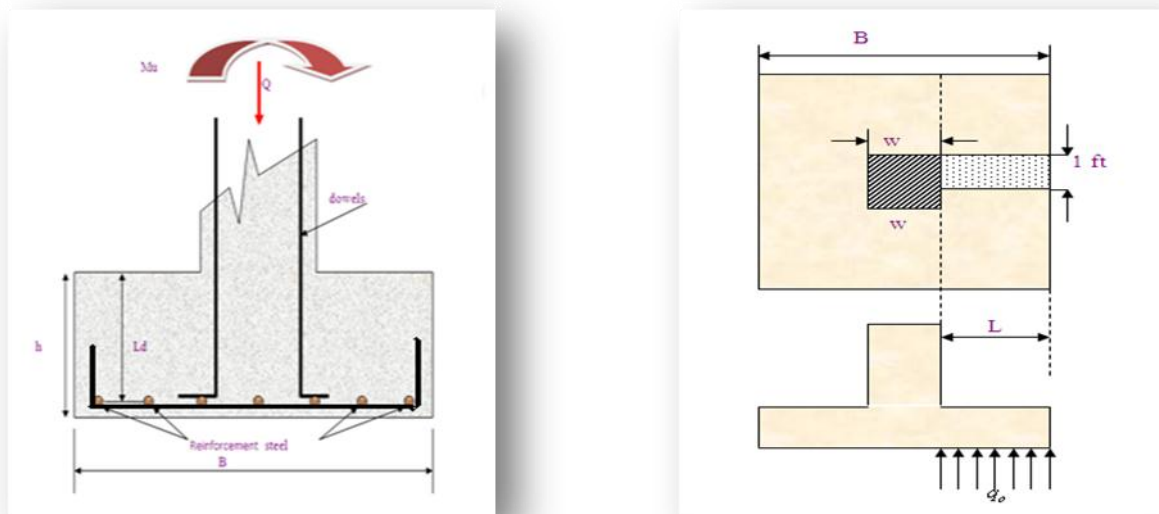
وتعتبر الأساسات حلقة الوصل بين العناصر الإنشائية في المبني والأرض ، ولمعرفة الأوزان والأحمال الواقعه عليها ، فإن الأحمال الواقعه على العقدة تنتقل إلى الجسور ثم إلى الأعمدة وأخيرا إلى الأساسات إلى التربة ويكون الأساس مسؤول عن تحمل الأحمال الميئية للمبني وأيضا الأحمال الديناميكية الناتجة عن الرياح والثلوج والزلزال وأيضا الأحمال الحية داخل المبني .

وتكون هذه الأحمال هي الأحمال التصميمية للأسasات ، وبناءً على الأحمال الواقعة عليها وطبيعة الموقع يتم تحديد نوع الأسasات المستخدمة ، ومن المتوقع استخدامأساسات من أنواع مختلفة وذلك تبعاً لقوة تحمل التربة والأحمال الواقعة على كلأساس .

والأساس قد يكون قريباً من سطح الأرض ويسمى بالأساس السطحي (Shallow Foundation)، عندما يتذرع الحصول على طبقة صالحة لتأسيس بالقرب من سطح الأرض لذلك نلجأ إلى اختراف التربة إلى أعمق كبيرة للحصول على السطح الصالح للتأسيس ويسمى هذا النوع بالأساس العميق (Deep Foundation).



الشكل (٩-٣) : شكل الأساس المنفرد .

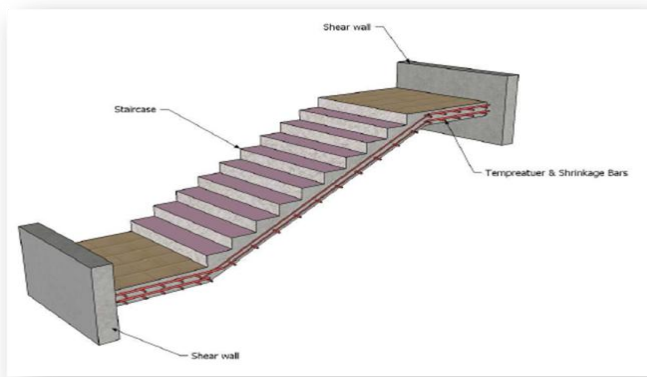


الشكل رقم (٩-٣ ج) مقطع طولي في الأساس

الشكل رقم (٩-٣ ب) مسقط أفقي لأساسات

٦-٥-٣ الأدراج (Stairs)

الأدراج عبارة عن العنصر المسؤول عن الانتقال الرأسي بين الطبقات في المبنى حيث يتم تقسيم ارتفاع الطابق إلى ارتفاعات صغيرة تمثل ارتفاع الدرجة الواحدة . ويتم تصميم الدرج إنسانيا باعتباره عقدة مصممة في اتجاه واحد ، وتم استخدامها في مشروعنا بشكل واضح موزعة على أرجاء المشروع ، وكذلك اخذ في عين الاعتبار في التصميم الإنساني للأحمال الناتجة عن وزن المصاعد الكهربائية .



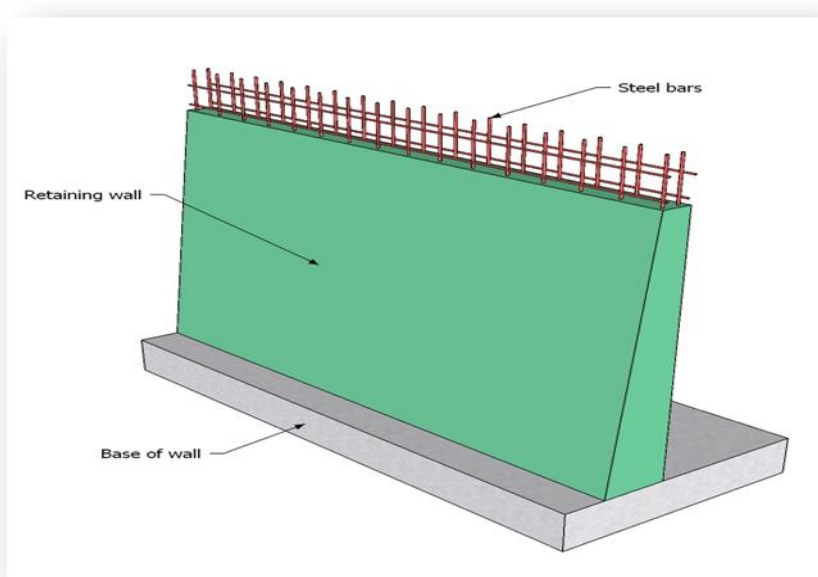
الشكل (٣ - ١٠) مقطع توضيحي في الدرج .

٧-٥-٣ الجدران الإستنادية (Retaining Walls)

تبني هذه الحوائط لتسند التراب والماء الذي خلفها وما ينتج عن هذا التراب من ضغوط تحاول أن تقلب أو تحرك هذا الجدار، وتصمم الجدران الإستنادية لمقاومة وزن التربة رأسياً وضغط التربة الأفقيّة وقوى الرفع من المياه الجوفية .

بسبب الاختلاف الواضح في مناسب قطعة أرض المشروع، كان لا بد من استخدام جدران استنادية لتحمي التربة من الانهيار أو الانزلاق. ويمكن أن تنفذ الجدران الإستنادية من الخرسانة المسلحة أو العاديّة أو من الحجر. وهناك عدة أنواع من الجدران الإستنادية منها :

- جدران الجانبية (gravity walls) التي تعتمد على وزنها .
- . (cantilever walls)
- جدران مدعمة (braced walls)



الشكل (٣ - ١١) جدار استنادي

٨-٥-٣ فوacial التمدد (Expansion Joints)

تنفذ في كتل المباني ذات الأبعاد الأفقية الكبيرة أو ذات الأشكال والأوضاع الخاصة فوacial تمدد حراري أو فوacial هبوط، وقد تكون الفوacial للغرضين معاً، و يتم وضع الفاacial إذا كان عرض المبني من (٤٠-٣٥) متر ، ولذا للسماح للمبني بالتمدد دون أن يؤدي ذلك إلى حدوث تشقات . و عند تحليل المنشآت لدراستها كمقاومة لأفعال الزلازل تدعى هذه الفوacial بالفوacial الزلزالية، ولهذه الفوacial بعض الاحتياطات والتوصيات الخاصة بها وفقاً لما يلي :-

١. ينبغي استخدام فوacial تمدد حراري في كتلة المنشأ ، على أن تصل هذه الفوacial إلى وجه الأساسات العلوي دون اختراقها. وتعتبر المسافات العظمى لأبعاد كتلة المبني كما يلي:

- ❖ (40m) في المناطق ذات الرطوبة العالية.
- ❖ (36m) في المناطق ذات الرطوبة العادمة.
- ❖ (32m) في المناطق ذات الرطوبة المتوسطة.
- ❖ (28m) في المناطق الجافة.

٢. يجب أن لا يقل عرض الفاacial عن (3cm) .

Chapter Four

Structural Analysis and Design

4 – 1 Introduction.

4 _ 2 Factored Loads.

4 _ 3 Determination of thickness.

4 _ 4 Design of Topping.

4 – 5 Load Calculation .

4 – 6 Design of one way Ribbed slab.

4 – 7 Design of two way Ribbed slab.

4 – 8 Design of Beam .

4 _ 9 : Design of long column .

4 _ 10 : Design of short column .

4 _ 11 : Design of Stair.

4 _ 12 : Design of basement wall .

4 _ 13 : Design of Isolated Footing (F04c 125library).

4 _ 14 : Design of Shear wall .

4 _ 15 : Design of truss .

Chapter Four

4.1: Introduction

Concrete is a construction material composed of cement (commonly Portland cement) as well as other cementitious materials such as fly ash and slag cement, aggregate (generally a coarse aggregate such as gravel, limestone, or granite, plus a fine aggregate such as sand), water, and chemical admixtures. The word concrete comes from the Latin word "concretus", which means "hardened" or "hard".

Concrete solidifies and hardens after mixing with water and placement due to a chemical process known as hydration. The water reacts with the cement, which bonds the other components together, eventually creating a stone-like material. Concrete is used to make pavements, architectural structures, foundations, motorways/roads, bridges/overpasses, parking structures, brick/block walls and footings for gates.

In This Project, there are three types of slabs: solid slabs, one-way ribbed and two-way ribbed slabs. They would be analyzed and designed by using finite element method of design, with aid of a computer Program called " ATIR- Software" to find the internal forces, deflections for ribbed slabs, and then hand calculation would be made to find the required steel for some members.

The design strength provided by a member, its connections to other members, and its cross-sections in terms of flexure, and load, shear, and torsion is taken as the nominal strength calculated in accordance with the requirements and assumptions of ACI-code.

Chapter Four

4 .2 : Factored Loads.

The factored loads on which the structural analysis and design is based for our project members, is determined as follows:

$$q_u = 1.2DL + 1.6LL \quad ACI - 318 - 08 (9.2.1)$$

4.3 : Determination of Thickness:

4.3.1 Determination of Thickness for One Way Rib Slab:

The structure may be exposed to different loads such as dead and live loads. The value of the load depends on the structure type and the intended use.

The overall depth must satisfy ACI Table (9.5.a):

The minimum required thickness of the joist is:

$$\frac{L_1}{18.5} = \frac{6.04}{18.5} = 0.33m \quad \text{for exterior span} \quad ACI-318-08 (9.5a)$$

$$\frac{L_2}{21} = \frac{6.08}{21} = 0.29m \quad \text{for interior span}$$

$$\frac{L_3}{8} = \frac{2.8}{8} = 0.35m \quad \text{for cantilever span...}(control)$$

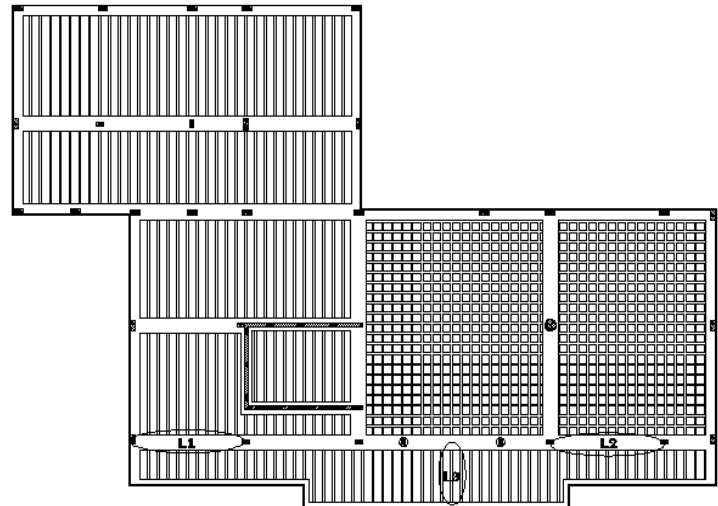


Fig. (4-1) Spans location

Chapter Four

4.3.2 Determination of Thickness for Two Way Ribbed Slab:

Assume the thickness of slab is 36 cm .

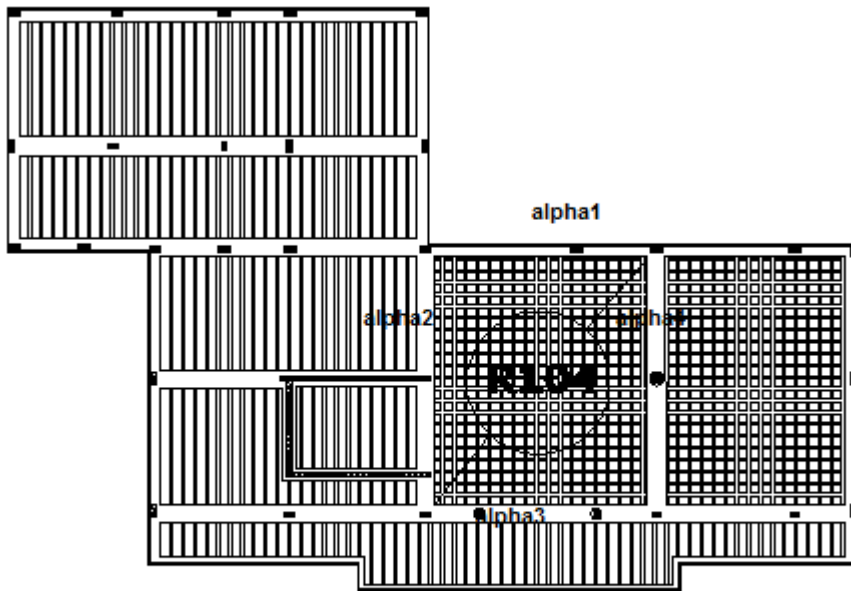


Fig. (4-2) Two way rib slab Location

$$y' = \frac{40 \times 8 \times 4 + 12 \times 36 \times 18}{40 \times 8 + 12 \times 36} = 12.043 \text{ cm}$$

$$Ib(0.8) = \frac{bh^3}{12} = \frac{0.8(0.36)^3}{12} = 31.104 \times 10^{-4} \text{ m}^4$$

$$Ib(0.5) = \frac{bh^3}{12} = \frac{0.5(0.36)^3}{12} = 19.44 \times 10^{-4} \text{ m}^4$$

$$Irib = \frac{0.52(0.12043)^3}{3} - \frac{0.4(0.04043)^3}{3} + \frac{0.12(0.23957)^3}{3} = 8.439 \times 10^{-4} \text{ m}^4$$

$$Is_1 = \frac{8.439 \times 10^{-4}}{0.52} \times \left(0.5 + \frac{10.94}{2}\right) = 96.886 \times 10^{-4}$$

Chapter Four

$$Is_2 = \frac{8.439 \times 10^{-4}}{0.52} \times (0.8 + \frac{9.41}{2}) = 89.34 \times 10^{-4}$$

$$Is_3 = \frac{8.439 \times 10^{-4}}{0.52} \times (0.8 + \frac{10.94}{2}) = 101.755 \times 10^{-4}$$

$$I_{s4} = \frac{8.439 \times 10^{-4}}{0.52} \times (0.8 + \frac{9.41}{2} + \frac{7.88}{2}) = 153.3 \times 10^{-4}$$

$$\alpha_1 = \frac{Ib}{Is} = \frac{19.44 \times 10^{-4}}{96.886 \times 10^{-4}} = 0.2006$$

$$\alpha_2 = \frac{Ib}{Is} = \frac{31.104 \times 10^{-4}}{89.34 \times 10^{-4}} = 0.3482$$

$$\alpha_3 = \frac{Ib}{Is} = \frac{31.104 \times 10^{-4}}{101.755 \times 10^{-4}} = 0.3057$$

$$\alpha_4 = \frac{Ib}{Is} = \frac{31.104 \times 10^{-4}}{153.3 \times 10^{-4}} = 0.203$$

$$\alpha_{fm} = \frac{\alpha_1 + \alpha_2 + \alpha_3 + \alpha_4}{4} = 0.264$$

$$0.2 < \alpha_{fm} < 2$$

$$h_{min} = \frac{Ln(0.8 + fy / 1400)}{36 + 5\beta(\alpha_{fm} - 0.2)}$$

$$\beta = \frac{10.94}{9.41} = 1.1626$$

$$h_{min} = \frac{10.94(0.8 + 420 / 1400)}{36 + 5 \times 1.1626(0.264 - 0.2)} = 0.33m$$

$$h_{min} < 36.....Ok$$

Select Slab thickness **h= 36cm** with Topping 8cm.

Chapter Four

4.4 : Design of Topping:

Design of Topping for Ribbed Slab:

Dead load for topping =

$$\begin{aligned}
 & 0.03 \times 22 \times 1 \text{ (tiles)} \\
 + & 0.02 \times 22 \times 1 \text{ (mortar)} \\
 + & 0.07 \times 16.4 \times 1 \text{ (sand)} \\
 + & 0.08 \times 25 \times 1 \text{ (slab)} \\
 + & 2.38 \times 1 \text{ (partitions')} = 6.628 \text{ KN/m}
 \end{aligned}$$

Live Load = $4 \times 1 = 4 \text{ KN/m}$. **Fig. (4-3)** Toping of slab

$$\begin{aligned}
 W_u &= (1.2 \times 6.628) + (1.6 \times 4) \\
 &= 14.3536 \text{ KN/m}
 \end{aligned}$$

→ For a one meter strip $W_u = 14.3536 \text{ KN/m}$

Assume slab fixed at supported points (ribs):

$$M_u = \frac{W_u \times l^2}{12}$$

$$M_u = \frac{14.3536 \times 0.4^2}{12} = 0.1914 \text{ KN.m}$$

$$f_r = 0.42 \times \sqrt{f_c'} \quad ACI-318-08 \quad (22.5.1)$$

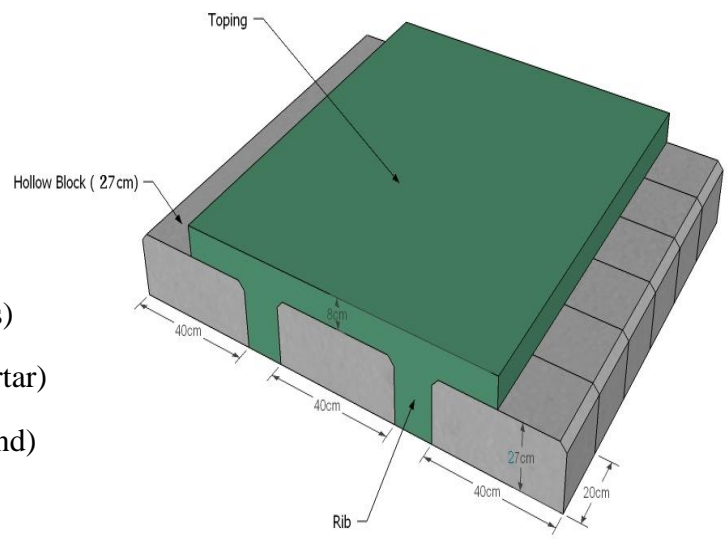
$$\begin{aligned}
 f_r &= 0.42 \times \sqrt{24} = 2.0576 \text{ MPa} \\
 &= 2.0576 \times 1000 = 2057.6 \text{ KN/m}^2
 \end{aligned}$$

$$M_n = f_r \times s$$

$$S = \frac{bh^2}{6} = \frac{1.00 \times 0.08^2}{6} = 1.067 \times 10^{-3} \text{ m}^3$$

$$M_n = 2057.6 \times 1.067 \times 10^{-3} = 2.195 \text{ KN.m}$$

$$\Phi M_n = 0.55 \times 2.195 = 1.21 \text{ KN.m}$$



Chapter Four

$$\Phi M_n = 1.21 \text{ KN.m} > M_u = 0.1914 \text{ KN.m}$$

No structural reinforcement is needed. Therefore, shrinkage and temperature reinforcement must be provided.

For the shrinkage and temperature reinforcement:

$$\rho = 0.0018$$

ACI-318-08 (7.12.2.1)

$$A_s = \rho \times b \times h = 0.0018 \times 1000 \times 80 = 144 \text{ mm}^2$$

Try bars $\Phi 8$ with $A_s = 50.27$

$$\text{Bar numbers } n = \frac{A_s}{A_s \phi 8} = \frac{144}{50.27} = 2.87$$

Take 3 $\Phi 8$ with $A_s = 150.8 \text{ mm}^2/\text{m strip}$ or $\Phi 8 @ 300\text{mm}$

In main direction step (S) is the smallest of :-

1) $3h = 3*80=240\text{mm} \dots \dots \dots \text{control}$

ACI-318-08 (10.5.4)

2) 450mm

3) $s = 380 \left(\frac{280}{f_s} \right) - 2.5Cc = 380 \left(\frac{280}{\frac{2}{3} \times 420} \right) - 2.5 \times 20 = 330\text{mm}$ but

$$s \leq 300 \left(\frac{280}{f_s} \right) = 300 \left(\frac{280}{\frac{2}{3} \times 420} \right) = 300\text{mm} \quad \text{ACI-318-08 (10.6.4)}$$

4) Take $\Phi 8 @ 200\text{mm}$ in both direction $S = 200\text{mm} < S_{\max} = 240\text{mm} \dots \dots \text{ok}$

Use $\Phi 8 @ 20 \text{ cm}$

Chapter Four

4.5 :Load Calculation:

4.5.1:One - way ribbed slab.

For the one-way ribbed slabs, the total dead load to be used in the analysis and design is calculated as follows:

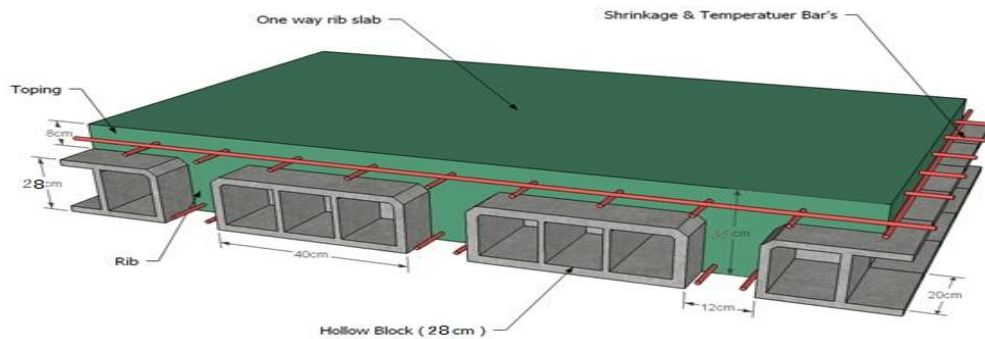


Fig. (4-4) One way rib slab

Effective Flange width (b_E)

ACI-318-08 (8.12.2)

b_E For T- section is the smallest of the following:

$$b_E = 3.7 / 4 = 92.5 \text{ cm}$$

$$b_E = 12 + 16 t = 12 + 16 (8) = 140 \text{ cm}$$

$$b_E = 52 \text{ cm} \dots\dots\dots\dots\dots \text{control}$$

Calculation of the total dead load for one way rib slab is shown in the following table:

Chapter Four

Table (4 – 1) Calculation of the total dead load for one way rib slab.

No.	Parts of Rib	Calculation
1	Rib	$0.12 \times 0.28 \times 25 = 0.84 \text{ KN/m}$
2	Top Slab	$0.08 \times 0.52 \times 25 = 1.04 \text{ KN/m}$
3	Plaster	$0.02 \times 0.52 \times 22 = 0.2288 \text{ KN/m}$
4	Sand Fill	$0.07 \times 0.52 \times 16.4 = 0.59696 \text{ KN/m}$
5	Tile	$0.03 \times 0.52 \times 22 = 0.3432 \text{ KN/m}$
6	Mortar	$0.02 \times 0.52 \times 22 = 0.2288 \text{ KN/m}$
7	partition	$2.38 \times 0.52 = 1.2376 \text{ KN/m}$
4.52		KN/m

Nominal Total Dead Load:

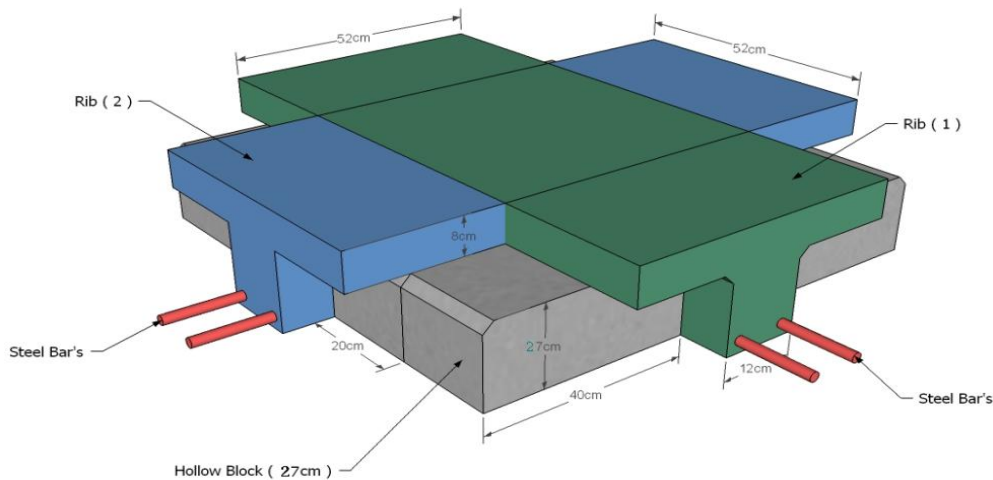
$$\text{D.L.}_{\text{total}} = 0.84 + 1.04 + 0.2288 + 0.59696 + 0.3432 + 0.2288.2376 + 1.2376 = 4.52 \text{ KN/m of rib}$$

For library the live load is 4 KN/m²

$$\text{Live load} = 4 \times 0.52 = 2.08 \text{ KN/m of rib}$$

4.5.2: Two-way ribbed slab :

For the two-way ribbed slabs, the total dead load to be used in the analysis and design is calculated as follows:



Chapter Four

Fig. (4-5) Two way rib slab

Table (4 – 2) Calculation of the total dead load for two way rib slab(104).

Dead load:

Tiles	$0.03 \times 0.52 \times 0.52 \times 22$	= 0.178464KN/rib
Mortar	$0.02 \times 0.52 \times 0.52 \times 22$	= 0.118976 KN/ rib
Coarse Sand fill	$0.07 \times 0.52 \times 0.52 \times 16.4$	=0.3104192 KN/ rib
Topping	$0.08 \times 0.52 \times 0.52 \times 25$	= 0.5408kN/rib
Concrete Rib	$0.28 \times (0.4+0.52) \times 0.12 \times 25$	=0.7728 kN/ rib
Plaster	$0.02 \times 0.52 \times 0.52 \times 22$	= 0.118976 kN/ rib
partition	$0.52 \times 0.52 \times 2.38$	= 0.643552KN/rib

4.6 : Design of Rib for one way rib slab :

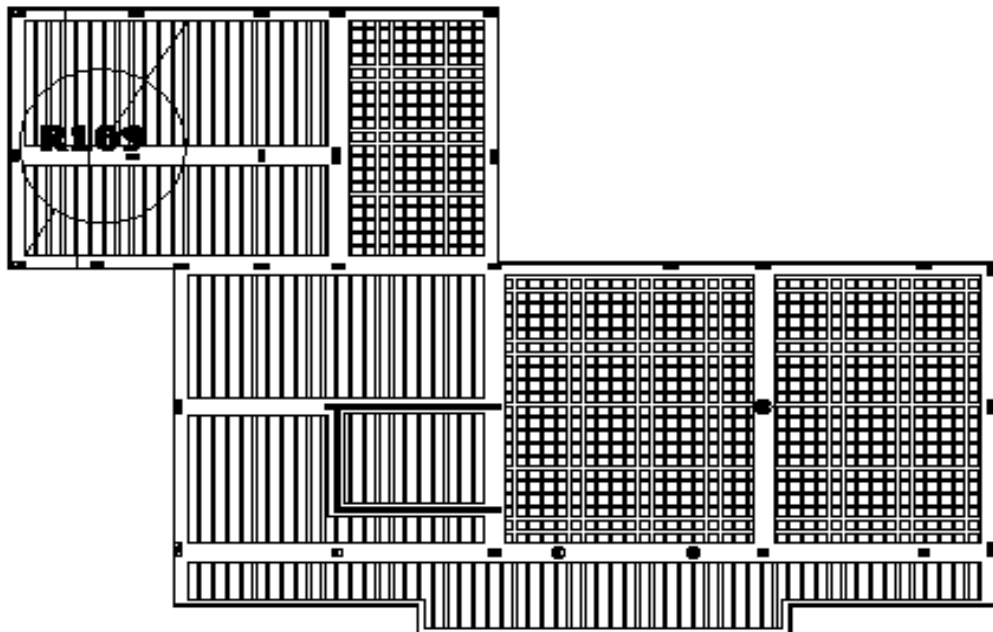


Fig.(4-6) Rib location

Chapter Four

By using ATIR program we get the envelope moment and shear diagram as the follows:-

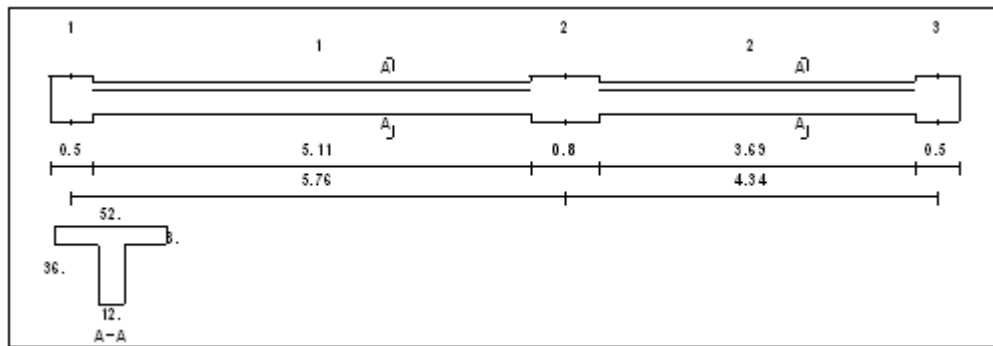


Fig. (4 - 7) Spans length of rib

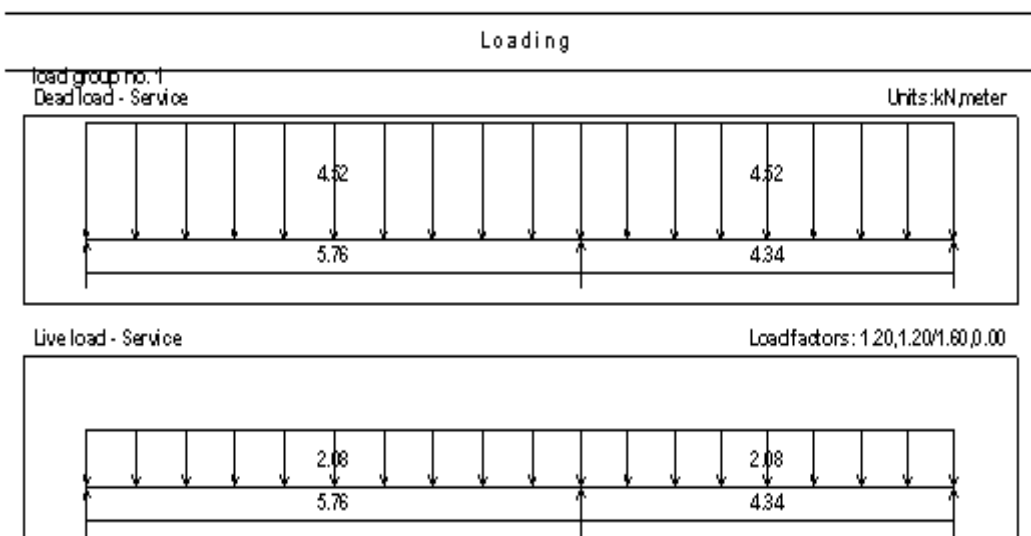
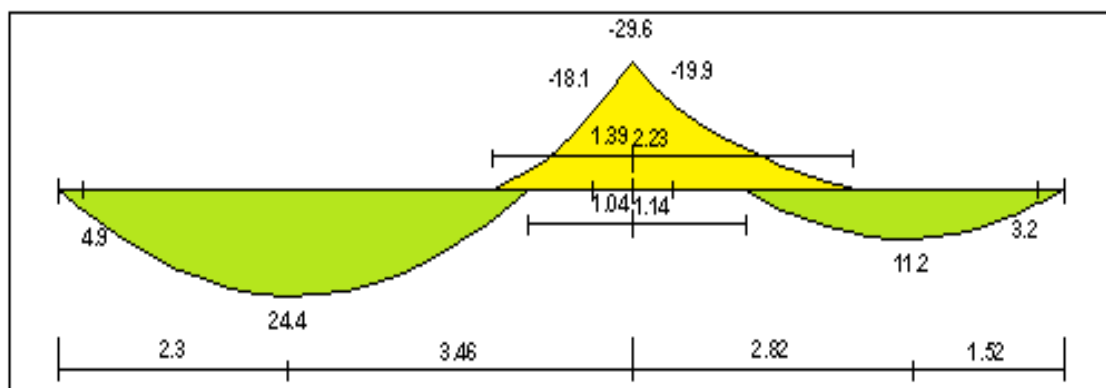


Fig. (4 - 8) surface Load of rib (1)-(KN.m).



Chapter Four

Fig. (4 - 9) Moment diagram for rib -(KN.m).

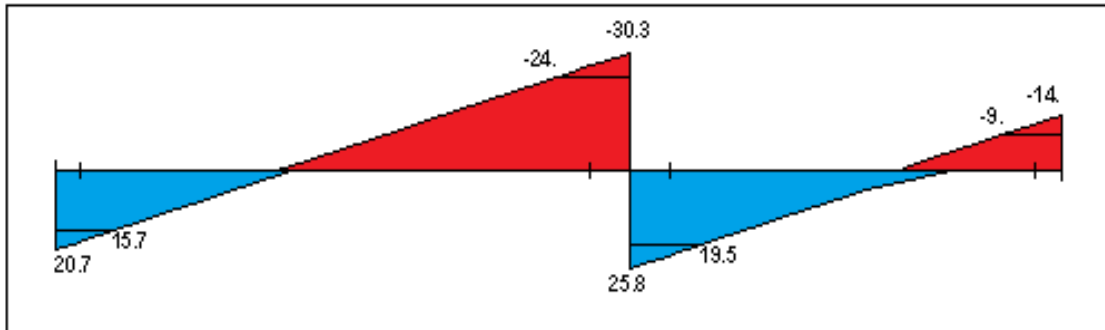


Fig. (4 - 10) Shear diagram for rib -(KN).

4.6.1 : Design of Positive Moment for Rib :

Assume bar diameter $\Phi 12$ for main positive reinforcement :-

$$d = h - \text{cov er} - d_{\text{stirrups}} - \frac{db}{2} = 360 - 20 - 10 - \frac{12}{2} = 324 \text{ mm}$$

The maximum positive moment in all spans of rib $110 \text{ Mu} = 24.4 \text{ KN.m}$

» When M_u max positive for span = **24.4 kN.m**

» Determine whether the rib will act as rectangular or T – section:

For $hf = 0.08 \text{ m}$

$$d = 360 - 20 - 10 - \frac{12}{2} = 324 \text{ mm}$$

$$\phi Mn = 0.9 \times 0.85 \times f'c' \times b \times hf \times (d - \frac{hf}{2})$$

$$\phi Mn = 0.9 \times 0.85 \times 24 \times 0.52 \times 0.08 \times (0.324 - \frac{0.08}{2}) = 216.91 \text{ KN.m}$$

$$\Phi Mn = 216.91 \text{ KN.m} > M_u = 24.4 \text{ KN.m}$$

Design as a rectangular with $b_E = 52 \text{ cm}$

$$As \min = \frac{\sqrt{f'c'}}{4(fy)} (bw)(d) \quad ACI-318-08 (10.5.1)$$

$$As \ min = \frac{\sqrt{24}}{4(420)} (120)(324) = 113.38 \text{ mm}^2$$

Chapter Four

$$A_s \text{ min} = \frac{1.4}{(f_y)} (bw)(d)$$

$$A_s \text{ min} = \frac{1.4}{420} (120)(324) = 129.6 \text{ mm}^2 \dots \text{control}$$

$$m = \frac{f_y}{0.85 f_c} = \frac{420}{0.85 \times 24} = 20.59$$

$$kn = \frac{Mn}{bd^2} = \frac{(24.4 / 0.9) \times (10)^{-3}}{(0.52)(0.324)^2} = 0.4967 \text{ MPa}$$

$$\rho = \frac{1}{m} \left(1 - \sqrt{1 - \frac{2mkn}{f_y}} \right) = \frac{1}{20.59} \left(1 - \sqrt{1 - \frac{2 \times 0.4967 \times 20.59}{420}} \right) = 0.0012$$

$$A_s = 0.0012(520)(324) = 202.176 \text{ mm}^2 > A_s \text{ min} = 129.6 \text{ mm}^2$$

$$\# \text{ of bars} = A_s / A_{s \text{ bar}} = 202.176 / 113 = 1.8 \quad * \text{ Note } A_{\Phi 12} = 113 \text{ mm}^2$$

Select bottom bars 2Φ12

$$\text{Total } A_s \text{ (provide)} = 226 \text{ mm}^2$$

* Check Strain:

Tension = Compression

$$A_s \times f_y = 0.85 \times f_c \times b \times a$$

$$226 \times 420 = 0.85 \times 24 \times 120 \times a$$

$$a = 38.77 \text{ mm}$$

$$c = \frac{a}{\beta_1}$$

$$c = \frac{38.77}{0.85} = 45.6 \text{ mm}$$

Chapter Four

$$\varepsilon_s = \frac{324 - 45.6}{45.6} \times 0.003 = 0.018$$

$$\varepsilon_s = 0.018 > 0.005$$

Ok.....

» **M_u max positive for span = 11.2 kN.m**

$$\Phi M_n = 216.91 \text{ KN.m} > M_u = 11.2 \text{ KN.m}$$

Design as a rectangular with $b_E = 52 \text{ cm}$

$$kn = \frac{Mn}{bd^2} = \frac{(11.2 / 0.9) \times (10)^{-3}}{(0.52)(0.324)^2} = 0.22797 \text{ MPa}$$

$$\rho = \frac{1}{m} \left(1 - \sqrt{1 - \frac{2mkn}{fy}} \right) = \frac{1}{20.59} \left(1 - \sqrt{1 - \frac{2 \times 0.22797 \times 20.59}{420}} \right)$$

$$\rho = 0.00055$$

$$A_s = 0.00055(520)(324) = 92.664 \text{ mm}^2 > A_s \text{ min} = 129.6 \text{ mm}^2$$

$$\# \text{ of bars} = A_s / A_{s \text{ bar}} = 92.664 / 79 = 1.2 \quad * \text{ Note } A_{\Phi 10} = 79 \text{ mm}^2$$

Select bottom bars 2Φ10

$$\text{Total } A_s \text{ (provide)} = 158 \text{ mm}^2$$

* Check Strain:

Tension = Compression

$$A_s \times fy = 0.85 \times f_c' \times b \times a$$

$$158 \times 420 = 0.85 \times 24 \times 520 \times a$$

$$a = 6.25 \text{ mm}$$

$$c = \frac{a}{\beta_1} \quad \varepsilon_s = \frac{324 - 7.35}{7.35} \times 0.003 = 0.129$$

$$c = \frac{6.25}{0.85} = 7.35 \text{ mm} \quad \varepsilon_s = 0.129 > 0.005 \dots \dots ok$$

Chapter Four

4.6.2 :Design of Negative Moment for Rib :

According to ACI 8.9.3 — for beams built integrally with supports, design on the basis of moments at faces of support shall be permitted.

The maximum negative moment at the face of support is

$$Mu = 19.9 \text{ kN.m}$$

Design as a rectangular with $b_E = 12 \text{ cm}$

$$kn = \frac{Mn}{bd^2} = \frac{(19.9 / 0.9) \times (10)^{-3}}{(0.12)(0.324)^2} = 1.755$$

$$\rho = \frac{1}{m} \left(1 - \sqrt{1 - \frac{2mkn}{fy}} \right) = \frac{1}{20.59} \left(1 - \sqrt{1 - \frac{2 \times 1.755 \times 20.59}{420}} \right) = 0.00438$$

$$A_s = 0.00438(120)(324) = 170.2944 \text{ mm}^2 > A_s \text{ min} = 129.6 \text{ mm}^2$$

$$\# \text{ of bars} = A_s / A_{s \text{ bar}} = 170.2944 / 113 = 1.5 \quad * \text{ Note } A_{\Phi 12} = 113 \text{ mm}^2$$

Select top bars 2Φ12

$$\text{Total } A_s \text{ (provide)} = 226 \text{ mm}^2$$

* Check Strain:

Tension = Compression

$$A_s \times fy = 0.85 \times f_c' \times b \times a$$

$$226 \times 420 = 0.85 \times 24 \times 120 \times a$$

$$a = 38.77 \text{ mm}$$

$$c = \frac{a}{\beta_1}$$

$$c = \frac{38.77}{0.85} = 45.6 \text{ mm}$$

$$\varepsilon_s = \frac{324 - 45.6}{45.6} \times 0.003 = 0.018$$

$$\varepsilon_s = 0.018 > 0.005$$

Ok.....

Chapter Four

4.6.3 : Design of shear for rib :

The maximum shear force at the distance d from the face of support $V_u = 24 \text{ kN}$. Shear strength, V_c , provided by concrete for the ribs may be taken 10% greater than that for beams. This is mainly due to the interaction between the slab and the closely spaced ribs (ACI Code, Section 8.13.8).

$$V_{u\text{ critical}} = 24 \text{ kN}$$

Use $\Phi 10$ with two legs

$$A_v = 2 \times 79 = 158 \text{ mm}^2$$

$$1- \quad V_u \leq \frac{1}{2} \times 1.1 \times \Phi V_c$$

$$\frac{1}{2} \times 1.1 \times \Phi V_c = \frac{1}{2} \times 1.1 \times \Phi \frac{\sqrt{f'_c}}{6} \times b_w \times d$$

$$\frac{1}{2} \times 1.1 \times \Phi V_c = \frac{1}{2} \times 1.1 \times 0.75 \times \frac{\sqrt{24}}{6} \times 0.12 \times 0.324 \times 1000 = 13.1 \text{ kN}$$

$$V_u > \frac{1}{2} \Phi V_c \dots \dots \text{not control}$$

$$2- \quad \frac{1}{2} \Phi V_c \leq V_u \leq \Phi V_c$$

$$1.1 \times \Phi V_c = 1.1 \times 0.75 \times \frac{\sqrt{24}}{6} \times 0.12 \times 0.324 \times 1000 = 26.2$$

$$\frac{1}{2} \Phi V_c = 13.1 < V_u = 24 < \Phi V_c = 26.2$$

Minimum shear reinforcement is required **except for concrete joist construction. So, No shear reinforcement is provided.**

Chapter Four

4.7 : Design of two way ribbed slab:

Nominal Total Dead Load = 2.684 kN/rib

$$WuD = 1.2 \times 2.684 / (0.52)^2 = 11.92 \text{ KN}$$

$$WuL = 1.6 \times 4 = 6.4 \text{ kN/m}^2$$

4.7.1 : find Vu on rib :

$$d = 360 - 20 - 8 - 14 = 318 \text{ mm}$$

$$Vud = (4.705 - 0.318) \times (11.92 + 6.4) \times 0.52 = 41.8 \text{ KN / rib}$$

$$Vu = (4.705 - 1) \times (11.92 + 6.4) \times 0.52 = 35.3 \text{ KN / rib}$$

$$\phi Vc = \frac{0.75}{6} \sqrt{24} \times 0.12 \times 0.318 \times 1000 = 23.37 \text{ KN}$$

$$1.1\phi Vc = 25.7 \text{ KN}$$

$$\phi Vs_{\min} = \frac{\phi}{3} bw \times d \geq \frac{\phi}{16} \times \sqrt{fc'} \times bw \times d$$

$$\phi Vs_{\min} = \frac{0.75}{3} \times 0.12 \times 318 \times 1000 = 9.54$$

$$\geq \frac{0.75}{16} \times \sqrt{24} \times 0.12 \times 0.318 \times 1000 = 8.76$$

item : 4

$$\phi Vc + \phi Vs_{\min} < Vu \leq \phi Vc + \frac{\phi}{3} \sqrt{fc'}$$

$$35.24 < 41.8 \leq 72.44$$

$$\frac{Av}{s} = \frac{Vs}{fyt.d}$$

$$\frac{Av}{s} = \frac{Vs / \phi - Vc}{fyt.d}$$

$$\frac{Vu}{\phi} - Vc = \frac{41.8}{0.75} - \left(\frac{1}{6} \sqrt{24} \times 0.12 \times 0.318 \times 10^3 \right) = 24.576$$

$$\frac{2 \times 50}{s} = \frac{24.576 \times 10^3}{420 \times 318}$$

$$s = 543.4 \text{ mm}$$

$$s \leq 600$$

$$s \leq d/2 = 318/2 = 159$$

Use 2 Ø 8 @ 12.5 cm c/c

Chapter Four

4.7.2 :design for negative moment:

Ca=0.0648 from table when La/Lb=0.86 by interbulation:

$$Ma \cdot ve = 0.0648 \times (11.92 + 6.4) \times 9.41^2 \times 0.52 = 54.66 \text{ KN.m}$$

$$m = \frac{fy}{0.85 \times fc} = \frac{420}{0.85 \times 24} = 20.59$$

$$k_n = \frac{Mu/\Phi}{b \times d^2} = \frac{(54.66/0.9) * 10^{-3}}{0.12 \times (0.318)^2} = 5 MPa$$

$$\rho = \frac{1}{m} \left(1 - \sqrt{1 - \frac{2 \times m \times kn}{fy}} \right)$$

$$\rho = \frac{1}{20.59} \left(1 - \sqrt{1 - \frac{2 \times 20.59 \times 5}{420}} \right)$$

$$\rho = 0.0139$$

$$As = 0.0139 \times 120 \times 318$$

$$As = 530.4 \text{ mm}^2$$

$$As_{\min} = \frac{1.4}{fy} (bw)(d) \geq 0.25 \frac{\sqrt{fc'}}{(fy)} (bw)(d) \dots \dots \dots (ACI - 318 - 05)$$

$$As_{\min} = \frac{1.4}{(420)} (120)(318) \geq 0.25 \frac{\sqrt{24}}{420} (120)(318)$$

$$As_{\min} = 127.2 \text{ mm}^2 < 530.4 \text{ mm}^2$$

Use bars with Φ 20

$$As = 530.4 / 314.15 = 2 \text{ bar } \Phi 20$$

Check for strain

$$T = C$$

$$As \times fy = 0.85 \times f_c \times b \times a$$

Chapter Four

$$628.3 \times 420 = 0.85 \times 24 \times 120 \times a$$

$$a = 107.8 \text{ mm}$$

$$c = \frac{a}{0.85} = \frac{107.8}{0.85} = 126.8 \text{ mm}$$

$$\varepsilon_s = \frac{318 - 126.8}{126.8} \times 0.003 = 0.0045$$

$$\varepsilon_s < 0.005$$

$$\phi = 0.65 + (\varepsilon_s - 0.002) * \frac{250}{3}$$

$$\phi = 0.65 + (0.0045 - 0.002) * \frac{250}{3} = 0.858$$

$$k_n = \frac{Mu/\Phi}{b \times d^2} = \frac{(54.66/0.858) * 10^{-3}}{0.12 \times (0.318)^2} = 5.25 \text{ MPa}$$

$$\rho = \frac{1}{20.59} \left(1 - \sqrt{1 - \frac{2 \times 20.59 \times 5.25}{420}}\right)$$

$$\rho = 0.0147$$

$$As = 0.0147 \times 120 \times 318$$

$$As = 561 \text{ mm}^2$$

use 2φ20

$$\Rightarrow Mb-ve = 0.0352 \times (11.92 + 6.4) \times 10.94^2 \times 0.52 = 40.13 \text{ KN.m}$$

$$m = \frac{fy}{0.85 \times fc} = \frac{420}{0.85 \times 24} = 20.59$$

$$k_n = \frac{Mu/\Phi}{b \times d^2} = \frac{(40.13/0.9) * 10^{-3}}{0.12 \times (0.318)^2} = 3.67 \text{ MPa}$$

$$\rho = \frac{1}{m} \left(1 - \sqrt{1 - \frac{2 \times m \times kn}{fy}}\right)$$

$$\rho = \frac{1}{20.59} \left(1 - \sqrt{1 - \frac{2 \times 20.59 \times 3.67}{420}}\right)$$

$$\rho = 0.00971$$

Chapter Four

$$As = 0.00971 \times 120 \times 318$$

$$As = 370.5 \text{ mm}^2$$

$$As_{\min} = \frac{1.4}{f_y}(bw)(d) \geq 0.25 \frac{\sqrt{fc'}}{(f_y)}(bw)(d). \dots (ACI - 318 - 05)$$

$$As_{\min} = \frac{1.4}{(420)}(120)(318) \geq 0.25 \frac{\sqrt{24}}{420}(120)(318)$$

$$As_{min}=127.2\text{mm}^2 < 370.5 \text{ mm}^2$$

Use bars with Φ 16

bar Φ 16=402.1mm

Check for strain

$$T = C$$

$$As \times fy = 0.85 \times f_c \times b \times a$$

$$402.1 \times 420 = 0.85 \times 24 \times 120 \times q$$

$$a = 69\text{mm}$$

$$c = \frac{a}{0.85} = \frac{69}{0.85} = 81.2\text{mm}$$

$$\varepsilon_s = \frac{318 - 81.2}{81.2} \times 0.003 = 0.0087$$

$$\varepsilon_s = 0.0087 > 0.005 \dots \dots ok$$

4.7.3 : Design for positive moment :

$$\text{Ma+ve} = [\text{Ca,dl.W.La}^2 + \text{Ca,ll.W.La}^2]$$

$$Ma+ve = [0.0354 \times 11.92 \times 9.41^2 + 0.0236 \times 6.4 \times 9.41^2] \times 0.52 = 26.38 \text{ KN.m}$$

$$M_{nf} = 0.85 * f_c * b_f * h_f * (d - h_f)$$

$$M_{nf} = 0.85 \times 24 \times 0.4 \times 0.08 \times (0.318 - 0.08) \times 10^3$$

$$M_{nf}=155.4\text{KN.m}$$

$$\phi M_{nf} = 155.4 \text{ KN.m} > M_u = 26.38 \text{ KN.m}$$

The design as rectangular section:

Chapter Four

$$m = \frac{fy}{0.85 \times fc} = \frac{420}{0.85 \times 24} = 20.59$$

$$k_n = \frac{Mu/\Phi}{b \times d^2} = \frac{(26.38/0.9) * 10^{-3}}{0.52 \times (0.318)^2} = 0.557 MPa$$

$$\rho = \frac{1}{m} \left(1 - \sqrt{1 - \frac{2 \times m \times kn}{fy}} \right)$$

$$\rho = \frac{1}{20.59} \left(1 - \sqrt{1 - \frac{2 \times 20.59 \times 0.557}{420}} \right)$$

$$\rho = 0.00134$$

$$As_{min} = 127.2 \text{ mm}^2 < 221.6 \text{ mm}^2$$

Use bars with Φ 12

2 bar Φ 12 = 226.2 mm²

Check for strain

$$T = C$$

$$As \times fy = 0.85 \times f_c \times b \times a$$

$$226.2 \times 420 = 0.85 \times 24 \times 520 \times a$$

$$a = 8.96 \text{ mm}$$

$$c = \frac{a}{0.85} = \frac{8.96}{0.85} = 10.54 \text{ mm}$$

$$\varepsilon_s = \frac{318 - 10.54}{10.54} \times 0.003 = 0.0875$$

$$\varepsilon_s = 0.0875 > 0.005 \dots \dots ok$$

$$Ma+ve = [0.0196 \times 11.92 \times 10.94^2 + 0.0236 \times 6.4 \times 10.94^2] \times 0.52 = 23.94 \text{ KN.m}$$

$$m = \frac{fy}{0.85 \times fc} = \frac{420}{0.85 \times 24} = 20.59$$

$$k_n = \frac{Mu/\Phi}{b \times d^2} = \frac{(23.94/0.9) * 10^{-3}}{0.52 \times (0.318)^2} = 0.506 MPa$$

Chapter Four

$$\rho = \frac{1}{m} \left(1 - \sqrt{1 - \frac{2 \times m \times k_n}{f_y}} \right)$$

$$\rho = \frac{1}{20.59} \left(1 - \sqrt{1 - \frac{2 \times 20.59 \times 0.506}{420}} \right)$$

$$\rho = 0.00122$$

$$A_s = 0.00122 \times 520 \times 318$$

$$A_s = 201.75 \text{ mm}^2$$

$$A_{s\min} = 127.2 \text{ mm}^2 < 201.75 \text{ mm}^2$$

Use bars with Φ 12

2 bar Φ 12 = 226.2 mm²

Check for strain

T = C

$$A_s \times f_y = 0.85 \times f_c \times b \times a$$

$$226.2 \times 420 = 0.85 \times 24 \times 520 \times a$$

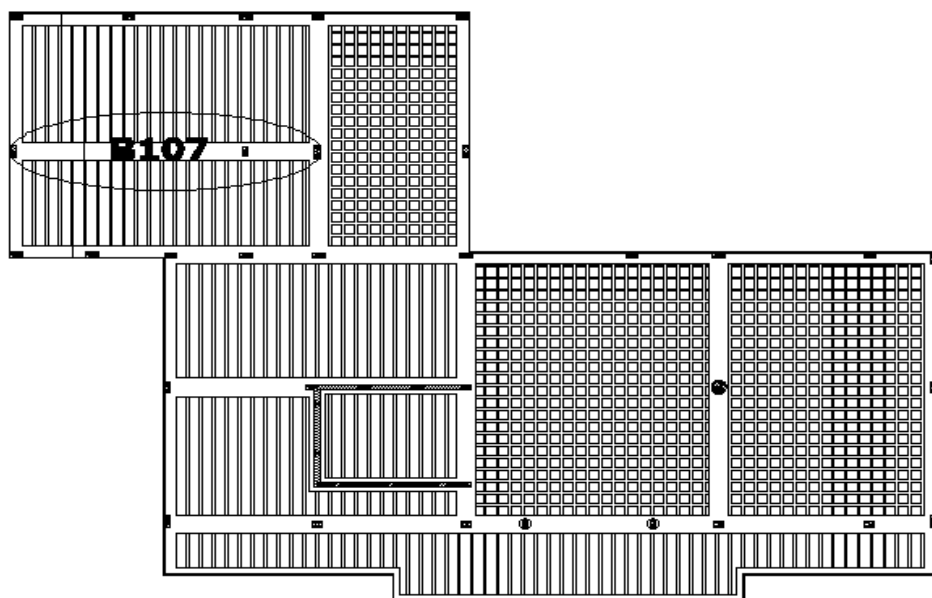
$$a = 8.96 \text{ mm}$$

$$c = \frac{a}{0.85} = \frac{8.96}{0.85} = 10.54 \text{ mm}$$

$$\varepsilon_s = \frac{318 - 10.54}{10.54} \times 0.003 = 0.0875$$

$$\varepsilon_s = 0.0875 > 0.005 \dots \dots \dots ok$$

4.8 : Design Of beam for flexure :-



Chapter Four

Fig.(4-11) Beam location

Load calculations for Beam 107:

The distributed Dead and Live loads acting upon the Beam **107** can be defined from the support reactions of the rib **109**.

Factored		
DeadR	12.44	
LiveR	8.22	
Max R	20.66	
Min R	11.86	
Service		
DeadR	10.37	28.99
LiveR	5.14	13.34
Max R	15.5	42.33
Min R	10.	34.36
		7.55
		6.45
		14.
		5.74

Fig.(4-12) support reactions of the rib 109

Dead Load calculations:

The maximum support reaction (factored) from Dead Loads for rib **109** upon beam **107** is **34.79 KN**. The distributed Dead Load from the Rib **109** on Beam **107**:

$$W_{DL \text{ from rib110}} = \frac{34.79}{0.52} = 66.9 \text{ KN/m}$$

Assume the width of the beam = **0.9 m**, then the own weight of the beam and the weight of the floor layers within the beam width can be calculated:

Dead load of topping =

$$\begin{aligned} & 0.03 \times 22 \times 0.9 \text{ (tiles)} \\ & + 0.02 \times 22 \times 0.9 \text{ (mortar)} \\ & + 0.07 \times 16.4 \times 0.9 \text{ (sand)} \\ & + 0.36 \times 25 \times 0.9 \text{ (RC beam)} \\ & + 0.02 \times 22 \times 0.9 \text{ (plaster)} \end{aligned}$$

Chapter Four

$$+ 2.38 \times 0.9 \text{ (partitions)} = 12.6612 \text{ KN/m}$$

The total factored Dead Load: $W_{DL} = 66.9 + 1.2 \times 12.6612 = 82.1 \text{ KN/m}$

Live Load calculations:

The maximum support reaction (factored) from Live Loads for rib 109 upon beam 107 is **21.35 KN**. The distributed Dead Load from the Rib 109 on Beam 107:

$$W_{LL, from rib 109} = \frac{21.35}{0.52} = 41.06 \text{ KN/m}$$

The Live Load within the beam width (**b=0.9 m**) can be calculated:

$$LL = 0.9 \times 4 = 3.6 \text{ KN/m}$$

The total factored Live Load: $W_{LL} = 41.06 + 1.6 \times 3.6 = 46.82 \text{ KN/m}$

By using **ATIR** program we get the envelope moment and shear diagram as the follows:-

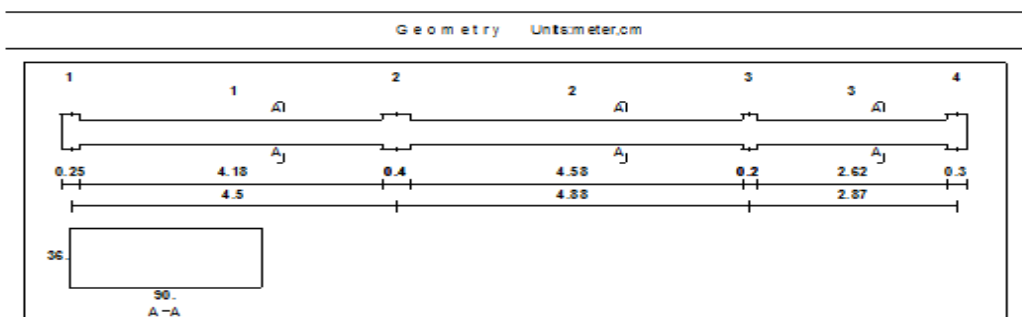


Fig. (4 - 13) Spans length of Beam



Chapter Four

Fig. (4 - 14) Factored Load of Beam-(KN.m).

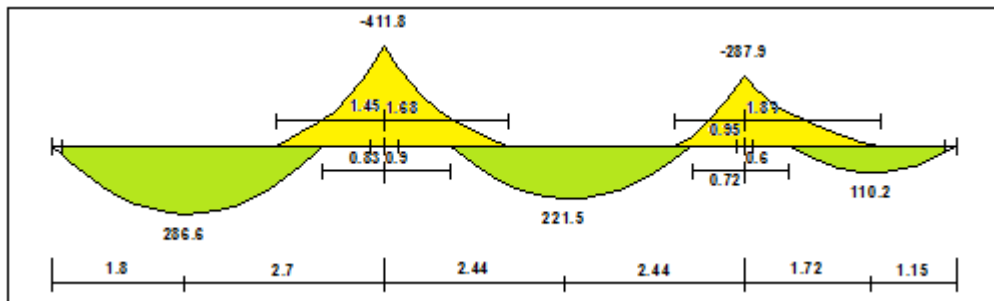


Fig. (4 - 15) Moment diagram for Beam -(KN.m).

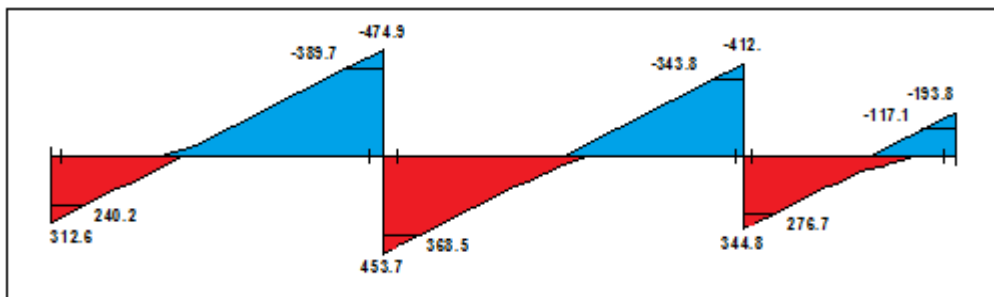


Fig. (4 - 16) Shear diagram for Beam -(KN)

Assume bar diameter $\Phi 18$ for main positive reinforcement.

$$b_w = 90\text{cm}, h = 36\text{cm}$$

$$d = 360 - 40 - 8 - \frac{18}{2} = 303\text{mm}$$

The width of the Beam 107 can be defined from the maximum factored moment.

The maximum factored moment in Beam 107 **Mu = -411.8KN.m**.

Take $\Phi = 0.9$ for flexure as tension-controlled section

Assume $p = 0.4 p_b$

Take $\beta = 0.85$ ($f'_c = 24$).

$$\rho b = 0.85 \frac{f'_c}{f_y} \beta_1 \left(\frac{600}{600 + f_y} \right) = 0.85 \times \frac{24}{420} \times 0.85 \left(\frac{600}{600 + 420} \right) = 0.02429$$

Chapter Four

$$p = 0.4 \quad p_b = 0.4 \times 0.02429 = 0.009716$$

$$m = \frac{fy}{0.85fc'} = \frac{420}{0.85 \times 24} = 20.59$$

$$kn = \rho \times fy \left(1 - \frac{\rho m}{2}\right) = 0.009716 \times 420 \left(1 - \frac{0.009716 \times 20.59}{2}\right) = 3.67 MPa$$

$$bd^2 = \frac{Mu}{\phi kn} = \frac{411.8 \times 10^6}{0.9 \times 3.67} = b \times 303^2$$

$$b = 1358 \text{ mm}$$

Usually in construction the maximum width of the beams is 120 cm. Here, take **b=90cm** and no need to recalculate the loads acting on the beam.

Note that the factored moments of other supports and spans may be satisfied by the section width of **90 cm** as a singly reinforced beam sections, but the support section with **Mu =-411.8KN.m** may be designed as doubly reinforced section.

$$b_{used} = 90 \text{ cm} < b \text{ required} = 135.8 \text{ cm} .$$

Check whether the section will be act as singly or doubly reinforced section:

Maximum nominal moment strength from strain condition $\varepsilon_s = 0.004$

$$C = \frac{3}{7} d = \frac{3}{7} \times 303 = 129.9 \text{ mm} .$$

$$a = \beta \times c = 0.85 \times 129.9 = 110.4 \text{ mm} .$$

$$Mn \max = 0.85 \times fc' \times a \times b \times (d - a/2)$$

$$= 0.85 \times 24 \times 0.1104 \times 0.9 \times (0.303 - 0.1104/2) = 502.28 \text{ KN .m}$$

$$\Phi Mn = 0.82 \times 502.28 = 411.87 \text{ kN .m}$$

$$\Phi Mn = 411.87 \text{ KN.m} > Mu = 411.8 \text{ KN.m}$$

** Design of beam as singly reinforcement concrete :

Chapter Four

4.8.1 : Design of negative moment :

Take $M_u = 411.8 \text{ kN.m}$ from Atir program

$$\Phi M_n = 411.87 \text{ KN.m} > M_u = 411.8 \text{ KN.m}$$

$$K_n = \frac{M_n}{b \times d^2} = \frac{411.8 / 0.9 \times 10^{-3}}{0.9 \times (0.303)^2} = 5.54 \text{ MPa}$$

$$m = \frac{f_y}{0.85 f_{c'}} = \frac{420}{0.85 \times 24} = 20.59 \text{ mm}^2.$$

$$A_s_{\min} = \frac{\sqrt{f_{c'}}}{4(f_y)} (bw)(d) \geq \frac{1.4}{f_y} (bw)(d) \longrightarrow (ACI - 10.5.1)$$

$$A_s_{\min} = \frac{\sqrt{24}}{4(420)} (900)(303) \geq \frac{1.4}{420} (900)(303)$$

$$A_s_{\min} = 795.21 < 909 \longrightarrow \text{The largest is control.} = 909$$

$$A_s_{\min} = 909 \text{ mm}^2$$

$$\rho = \frac{1}{20.59} \left(1 - \sqrt{1 - \frac{2(20.59)(5.54)}{420}} \right) = 0.0157$$

$$A_s = 0.0157(900)(303) = 4281.39 \text{ mm}^2 > A_s \text{ min} = 909 \text{ mm}^2$$

$$\# \text{ Of bars} = \frac{A_s_{req}}{A_s_{bar}} = \frac{4281.39}{314} = 13.635 \quad \text{Note } A_{\Phi 20} = 314 \text{ mm}^2$$

Select bottom bars 14Φ20

$$\text{Total } A_s \text{ (provide)} = 4396 \text{ mm}^2$$

Check for strain:

Tension = Compression

$$A_s \times f_y = 0.85 \times f_c' \times b \times a$$

$$4396 \times 420 = 0.85 \times 24 \times 900 \times a$$

$$a = 100.56 \text{ mm}$$

Chapter Four

$$c = \frac{a}{\beta_1}$$

$$c = \frac{100.56}{0.85} = 118.3 \text{ mm}$$

$$\varepsilon_s = \frac{303 - 118.3}{118.3} \times 0.003 = 0.0047$$

$$\varepsilon_s = 0.0047 < 0.005$$

$$\varepsilon_s < 0.005$$

$$\phi = 0.65 + (\varepsilon_s - 0.002) * \frac{250}{3}$$

$$\phi = 0.65 + (0.0047 - 0.002) * \frac{250}{3} = 0.875$$

$$\rho = \frac{1}{20.59} \left(1 - \sqrt{1 - \frac{2 \times 20.59 \times 5.696}{420}}\right)$$

$$\rho = 0.0163$$

$$As = 0.0163 \times 900 \times 303$$

$$As = 4445 \text{ mm}^2$$

$$\# \text{ Of bars} = \frac{As_{req}}{As_{bar}} = \frac{4445}{314} = 14.15$$

Note $A_{\Phi 20} = 314 \text{ mm}^2$

Select bottom bars 15Φ20

$$\text{Total As (provide)} = 4710 \text{ mm}^2$$

Check for bar placement :

$$\varepsilon_s = \frac{900 - 2 \times 40 - 2 \times 8 - 15 \times 20}{14} = 36 \text{ mm} > 25 \text{ mm}.....ok$$

Take Mu = 287.9 kN.m from Atir program

$\Phi Mn = 411.87 \text{ KN.m} > Mu = 287.9 \text{ KN.m}$

Chapter Four

$$K_n = \frac{Mn}{b \times d^2} = \frac{287.9 / 0.9 \times 10^{-3}}{0.9 \times (0.303)^2} = 3.87 \text{ MPa}$$

$$m = \frac{f_y}{0.85 f_{c'}} = \frac{420}{0.85 \times 24} = 20.59$$

$$A_s_{\min} = \frac{\sqrt{f_{c'}}}{4(f_y)} (bw)(d) \geq \frac{1.4}{f_y} (bw)(d) \longrightarrow (ACI - 10.5.1)$$

$$A_s_{\min} = \frac{\sqrt{24}}{4(420)} (900)(303) \geq \frac{1.4}{420} (900)(303)$$

$$A_s_{\min} = 795.21 < 909 \longrightarrow \text{The length is control.} = 909$$

$$A_s_{\min} = 909 \text{ mm}^2$$

$$\rho = \frac{1}{20.59} (1 - \sqrt{1 - \frac{2(20.59)(3.87)}{420}}) = 0.0103$$

$$A_s = 0.0103 (900) (303) = 2809 \text{ mm}^2 > A_s \min = 909 \text{ mm}^2 \text{ mm}^2.$$

$$\# \text{ Of bars} = \frac{A_s_{req}}{A_s_{bar}} = \frac{2809}{314} = 8.95$$

Note $A_{\Phi 20} = 314 \text{ mm}^2$

Select bottom bars 9Φ20

$$\text{Total } A_s \text{ (provide)} = 2826 \text{ mm}^2$$

Check for strain:

Tension = Compression

$$A_s \times f_y = 0.85 \times f_c' \times b \times a$$

$$2826 \times 420 = 0.85 \times 24 \times 900 \times a$$

$$a = 64.65 \text{ mm}$$

Chapter Four

$$c = \frac{a}{\beta_1}$$

$$c = \frac{64.65}{0.85} = 76.06 \text{ mm}$$

$$\varepsilon_s = \frac{303 - 76.06}{76.06} \times 0.003 = 0.906$$

$$\varepsilon_s = 0.906 > 0.005 \dots \dots \dots \text{ok}$$

4.8.2 : Design of positive moment :

Take Mu = 286.6 kN.m from Atir program

$\Phi M_n = 411.87 \text{ KN.m} > M_u = 286.6 \text{ KN.m}$

$$K_n = \frac{M_n}{b \times d^2} = \frac{286.6 / 0.9 \times 10^{-3}}{0.9 \times (0.303)^2} = 3.85 \text{ MPa}$$

$$m = \frac{f_y}{0.85 f_{c'}} = \frac{420}{0.85 \times 24} = 20.59$$

$$A_s_{\min} = \frac{\sqrt{f_{c'}}}{4(f_y)} (b_w)(d) \geq \frac{1.4}{f_y} (b_w)(d) \longrightarrow (ACI - 10.5.1)$$

$$A_s_{\min} = \frac{\sqrt{24}}{4(420)} (900)(303) \geq \frac{1.4}{420} (900)(303)$$

$$A_s_{\min} = 795.21 < 909 \longrightarrow \text{The largest is control.} = 909$$

$$A_s_{\min} = 909 \text{ mm}^2$$

$$\rho = \frac{1}{20.59} \left(1 - \sqrt{1 - \frac{2(20.59)(3.85)}{420}} \right) = 0.01025$$

$$A_s = 0.01025 (900) (303) = 2795.175 \text{ mm}^2 > A_s \min = 909 \text{ mm}^2 \text{ mm}^2.$$

$$\# \text{ Of bars} = \frac{A_s}{A_s_{bar}} = \frac{2795.175}{254.5} = 10.98 \quad \text{Note } A_{\Phi 18} = 254.5 \text{ mm}^2$$

Chapter Four

Select bottom bars 11 Φ 18 mm.

Total As=

$$2799.5 \text{ mm}^2 > 2795.175$$

.....ok

Take Mu = 221.5 kN.m from Atir program

Φ Mn=411.87KN.m > Mu=221.5 KN.m

$$Kn = \frac{Mn}{b \times d^2} = \frac{221.5 / 0.9 \times 10^{-3}}{0.9 \times (0.303)^2} = 2.98 \text{ MPa}$$

$$\rho = \frac{1}{m} \left(1 - \sqrt{1 - \frac{2mKn}{f_y}} \right)$$

$$m = \frac{f_y}{0.85 f_{c'}} = \frac{420}{0.85 \times 24} = 20.59$$

$$\rho = \frac{1}{20.59} \left(1 - \sqrt{1 - \frac{2(20.59)(2.98)}{420}} \right) = 0.00771$$

$$As = 0.00771 (900) (303) = 2102.52 \text{ mm}^2.$$

$$As_{\min} = \frac{\sqrt{f_{c'}}}{4(f_y)} (bw)(d) \geq \frac{1.4}{f_y} (bw)(d) \longrightarrow (ACI - 10.5.1)$$

$$As_{\min} = \frac{\sqrt{24}}{4(420)} (900)(303) \geq \frac{1.4}{420} (900)(303)$$

$$As_{\min} = 795.21 < 909 \longrightarrow The length is control. = 909$$

$$As_{\min} = 909 \text{ mm}^2$$

$$\# \text{ Of bars} = \frac{As_{req}}{As_{bar}} = \frac{2102.52}{254.5} = 8.26$$

Note A_{Φ18} = 254.5 mm²

Select bottom bars 9Φ18

$$\text{Total As (provide)} = 2290.5 \text{ mm}^2$$

Chapter Four

Check for strain:

Tension = Compression

$$A_s \times f_y = 0.85 \times f_c' \times b \times a$$

$$2290.5 \times 420 = 0.85 \times 24 \times 900 \times a$$

$$a = 52.4 \text{ mm}$$

$$c = \frac{a}{\beta_1}$$

$$c = \frac{52.4}{0.85} = 61.65 \text{ mm}$$

$$\varepsilon_s = \frac{303 - 61.65}{61.65} \times 0.003 = 0.0117$$

$$\varepsilon_s = 0.0117 > 0.005 \dots \dots \dots \text{ok}$$

Take Mu = 110.2 kN.m from Atir program

$\Phi M_n = 411.87 \text{ KN.m} > M_u = 110.2 \text{ KN.m}$

$$K_n = \frac{M_n}{b \times d^2} = \frac{110.2 / 0.9 \times 10^{-3}}{0.9 \times (0.303)^2} = 1.482 \text{ MPa}$$

$$\rho = \frac{1}{m} \left(1 - \sqrt{1 - \frac{2mK_n}{f_y}} \right)$$

$$m = \frac{f_y}{0.85 f_{c'}} = \frac{420}{0.85 \times 24} = 20.59$$

$$A_{s_{\min}} = \frac{\sqrt{f_{c'}}}{4(f_y)} (bw)(d) \geq \frac{1.4}{f_y} (bw)(d) \longrightarrow (ACI - 10.5.1)$$

$$A_{s_{\min}} = \frac{\sqrt{24}}{4(420)} (900)(303) \geq \frac{1.4}{420} (900)(303)$$

$$A_{s_{\min}} = 795.21 < 909 \longrightarrow \text{The length is control.} = 909$$

$$A_{s_{\min}} = 909 \text{ mm}^2$$

$$\rho = \frac{1}{20.59} \left(1 - \sqrt{1 - \frac{2(20.59)(1.482)}{420}} \right) = 0.0037$$

$$As = 0.0037 (900) (303) = 1009 \text{ mm}^2 > As_{\min} = 909 \text{ mm}^2.$$

Chapter Four

$$\# \text{ Of bars} = \frac{A_s^{req}}{A_s_{bar}} = \frac{1009}{154} = 6.55$$

Note $A_{\Phi 14} = 154 \text{ mm}^2$

Select bottom bars 7Φ14

Total A_s (provide) = 1078 mm^2

Check for strain:

Tension = Compression

$$A_s \times f_y = 0.85 \times f_c' \times b \times a$$

$$1078 \times 420 = 0.85 \times 24 \times 900 \times a$$

$$a = 24.66 \text{ mm}$$

$$c = \frac{a}{\beta_1}$$

$$c = \frac{24.66}{0.85} = 29.01 \text{ mm}$$

$$\varepsilon_s = \frac{303 - 29.01}{29.01} \times 0.003 = 0.028$$

$$\varepsilon_s = 0.028 >> 0.005 \dots \dots \dots ok$$

4.8.3 : Design of shear for Beam :

Categories for shear design:

$$V_u \text{ critical} = 389.7 \text{ KN}$$

Use Φ10 with four legs

$$A_v = 4 \times 78.5 = 314 \text{ mm}^2$$

$$1- \quad V_u \leq \frac{1}{2} \times \Phi V_c$$

$$\frac{\phi V_c}{2} = 0.75 \times \frac{1}{2} \times \frac{\sqrt{24}}{6} \times 900 \times 303 \times 10^{-3} = 83.5 \text{ KN}$$

$$V_u > \frac{1}{2} \Phi V_c \dots \dots \dots \text{not control}$$

$$2- \quad \frac{1}{2} \Phi V_c \leq V_u \leq \Phi V_c$$

Chapter Four

$$\phi Vc = 0.75 \frac{\sqrt{24}}{6} \times 900 \times 303 \times 10^{-3} = 167 KN$$

$V_u > \Phi V_c$not control

3- $\Phi V_c \leq V_u \leq \Phi V_c + \Phi V_{s\min}$

$$\Phi V_{s\min} \geq 0.75 \left(\frac{1}{3}\right) \times bw \times d \geq \frac{0.75}{16} \sqrt{f'_c} \times bw \times d$$

$$\Phi V_{s\min} \geq 0.75 \left(\frac{1}{3}\right) \times 0.9 \times 0.303 \times 10^3 \geq \frac{0.75}{16} \sqrt{24} \times 0.9 \times 0.303 \times 10^3$$

$$\Phi V_{s\min} \geq 68.175 \geq 62.62 kN$$

$$\Phi V_{s\min} = 68.175 kN$$

$$\Phi V_c + \Phi V_{s\min} = 167 + 68.175 = 235.175 KN$$

$V_u > \Phi V_c + \Phi V_s$not control

4- $\Phi V_c + \Phi V_{s\min} \leq V_u \leq \Phi V_c + \Phi \times \frac{1}{3} \sqrt{f'_c} \times bw \times d$

$$\Phi \frac{\sqrt{f'_c}}{3} \times bw \times d = 0.75 \times \frac{\sqrt{24}}{3} \times 0.9 \times 0.303 \times 1000 = 334 KN$$

$$\Phi V_c + \Phi \times \frac{1}{3} \sqrt{f'_c} \times bw \times d = 167 + 334 = 501 KN > V_u = 389.7 KN$$

All V_{ud} Are within item 4

$$V_u = 389.7 \text{ kN}.$$

$$\Phi V_{s_{req.}} + \Phi V_c \geq V_u$$

$$\Rightarrow \Phi V_{s_{req.}} = V_u - \Phi V_c = 389.7 - 167 = 222.7 kN$$

$$S_{req.} = \frac{\Phi \times A_v \times f_y t \times d}{\Phi V_{s_{req.}}} = \frac{0.75 \times 314 \times 420 \times 303}{222.7 \times 10^3} = 134.6 mm.$$

$$S \leq \frac{d}{2} \leq 600$$

$$S = \frac{30.3}{2} = 15.15 cm.$$

Select $\Phi 10 @ 15 \text{ cm c/c } (4 \text{ leg})$

Chapter Four

4.9:Design of long column(C016) in cafeteria & central Administration building :

4.9.1 Load Calculation:

$$p_u = 1936.78 \text{ KN}$$

$$p_{nreq} = \frac{1936.78}{0.65} = 2979.7 \text{ KN}$$

Assume rectangular section with:

$$\text{Use } \rho = \rho g = 1.6\%$$

$$P_n = 0.8 * Ag \{ 0.85 * fc' + \rho g (f_y - 0.85 fc') \}$$

$$2.9797 = 0.8 * Ag [0.85 * 24 + 0.016 * (420 - 0.85 * 24)]$$

$$Ag = 0.139 \text{ m}^2$$

Use $0.3 \times 0.6 \text{ cm}$ with $Ag = 0.18 \text{ m}^2 > Ag_{req} = 0.139 \text{ m}^2$

4.9.2 Check Slenderness Effect:

In 0.6 -Direction

$$\frac{klu}{r} < 34 - 12 \frac{M_1}{M_2} \quad \dots \dots \dots \text{ACI} - (10.12.2)$$

Lu: Actual unsupported (unbraced) length.

K: effective length factor (K= 1 for braced frame).

$$R: \text{radius of gyration} = 0.3 h = \sqrt{\frac{I}{A}}$$

$$Lu = 3.63 \text{ m}$$

$$M1/M2 = 1$$

K=1 , According to ACI 318-2002 (10.10.6.3) The effective length factor, k, shall be permitted to be taken as 1.0.

$$\frac{klu}{r} < 34 - 12 \frac{M_1}{M_2} \quad \dots \dots \dots \text{ACI} - (10.12.2)$$

$$\frac{1 \times 3.63}{0.3 \times 0.6} = 20.17 < 22$$

\therefore short Column in y-y direction

Chapter Four

In 0.3-Dirction

$$\frac{klu}{r} \leq 34 - 12 \frac{M1}{M2} \leq 40 \quad \dots \dots \dots ACI - (10.12.2)$$

Lu: Actual unsupported (un braced) length.

K: effective length factor (K= 1 for braced frame).

$$R: \text{radius of gyration} = 0.3 h = \sqrt{\frac{I}{A}}$$

Lu = 3.63 m

M1/M2 = 1

K=1 , According to ACI 318-02 (10.10.6.3) The effective length factor, k, shall be permitted to be taken as 1.0.

$$\frac{klu}{r} \leq 34 - 12 \frac{M1}{M2} \leq 40 \quad \dots \dots \dots ACI - (10.12.2)$$

$$\frac{1 \times 3.63}{0.3 \times 0.3} = 40.33 > 22$$

∴ long Column in x-x direction

$$EI = 0.4 \frac{E_c I_g}{1 + \beta_d} \quad \dots \dots \dots [ACI 318-05 (Eq. 10-15)]$$

$$E_c = 4750 \sqrt{fc'} = 4750 \times \sqrt{24} = 23270.15 \text{ MPa}$$

$$\beta_d = \frac{1.2DL}{Pu} = \frac{1.2 * (436.59)}{1936.78} = 0.27$$

$$I_g = \frac{b \times h^3}{12} = \frac{0.6 \times 0.3^3}{12} = 0.00135 \text{ m}^4$$

$$EI = \frac{0.4 \times 23270.15 \times 0.00135}{1 + 0.27} = 9.89 \text{ MN.m}^2$$

$$P_{cr} = \frac{\pi^2 EI}{(KLu)^2} \quad \dots \dots \dots ACI 318-05 (Eq. 10-13)$$

$$P_c = \frac{3.14^2 \times 9.89}{(1.0 \times 3.63)^2} = 7.4 \text{ MN.}$$

Chapter Four

$$Cm = 0.6 + 0.4 \left(\frac{M1}{M2} \right) \dots \dots \dots ACI\,318-05 (Eq.\,10-16)$$

$C_m = 1$ According to ACI318-05(10.10.6.4)

$$\delta_{ns} = \frac{Cm}{1 - \frac{Pu}{0.75P_c}} \geq 1.0 \quad \dots \dots \dots ACI\,318-05 (Eq.\,10-12)$$

$$\delta_{ns} = \frac{1}{1 - \frac{1936.78}{0.75 \times 7400}} = 1.54 > 1$$

$$e_{\min} = 15 + 0.03 \times h = 15 + 0.03 \times 300 = 24 \text{ mm} = 0.024 \text{ m}$$

$$e = e_{\min} \times \delta_{ns} = 0.024 \times 1.54 = 0.03696$$

$$\frac{e}{h} = \frac{0.03696}{0.3} = 0.1232$$

From Interaction Diagram

$$\frac{\phi P_n}{A_g} = \frac{1899.96}{0.6 * 0.3} \times \frac{145}{1000} = 1.530 \text{ } \text{Ksi}$$

$$\rho_g = 0.01$$

$$A_s = \rho \times A_e = 0.01 \times 600 \times 300 = 1800 \text{ mm}^2$$

\therefore use 4φ18 & 4φ16

4.9.3 Design of the Tie Reinforcement :

$S \leq 16$ db (longitudinal bar diameter).....ACI - 7.10.5.2

$$S \leq 48dt \text{ (tie bar diameter).}$$

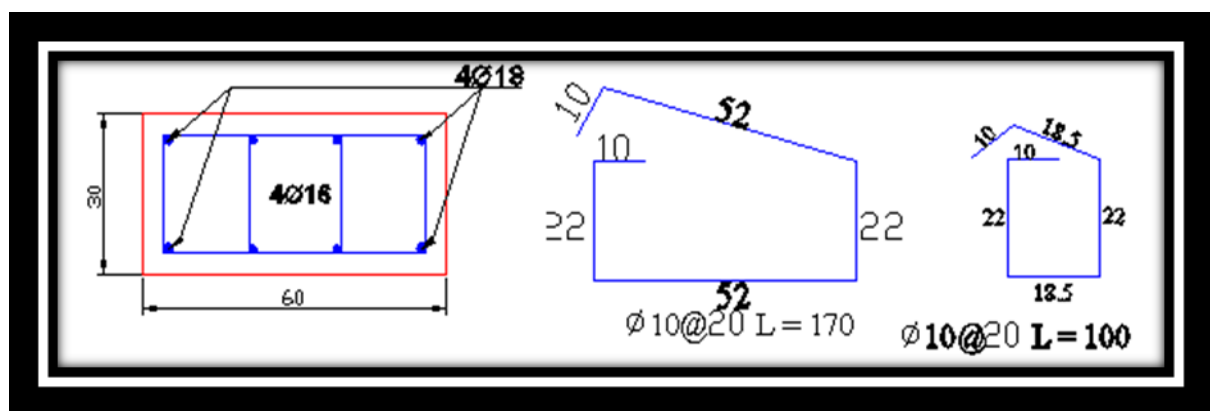
$S \leq$ Least dimension.

$$spacing \leq 16 \times d_h = 16 \times 1.8 = 28.8 \text{ cm}$$

$$spacing \leq 48 \times d_t = 48 \times 1.0 = 48\text{ cm}$$

spacing \leq *least.dim.* = 30 cm

Use φ10 @ 20 cm



Chapter Four

Fig . (4-17). Reinforcement of column (016)4 – 10 Design of short Column(C111) in research & high studies centr.

4.10.1 Load Calculation:

$$P_u = 4253 \text{ KN}$$

$$P_n = 4253 / (0.65) = 6543.1 \text{ KN}$$

$$\rho_g = 0.018$$

$$P_n = 0.8 * A_g \{ 0.85 * f'_c + \rho_g (f_y - 0.85 f'_c) \}$$

$$6.5431 = 0.8 * A_g [0.85 * 24 + 0.018 * (420 - 0.85 * 24)]$$

$$A_g = 0.296 m^2$$

Use $0.5 \times 0.6 \text{ cm}$ with $A_g = 0.30 \text{ m}^2 > A_{\text{req}} = 0.296 \text{ m}^2$

4.10.2 Check Slenderness Effect:

$$L_u = 3.63 \text{ m}$$

$$M_1 \& M_2 = 1$$

$$K=1$$

- In 0.5 m-Dirction

$$\frac{k l u}{r} < 34 - 12 \frac{M_1}{M_2} \quad \dots \dots \dots \text{ACI} - (10.12.2)$$

$$\frac{1 * 3.63}{0.5 * 0.6} = 12.1 < 22$$

\therefore short Column

$$A_s = \rho * A_g = 0.018 * 500 * 600 = 5400 mm^2$$

\therefore Select 18φ20

4.9.3 Design of the Reinforcement:

$S \leq 16 \text{ db}$ (longitudinal bar diameter).....ACI - 7.10.5.2

$S \leq 48 dt$ (tie bar diameter).

$S \leq$ Least dimension.

$$\text{spacing} \leq 16 \times d_b = 16 \times 20 = 320 \text{ cm}$$

$$\text{spacing} \leq 48 \times d_t = 48 \times 10 = 480 \text{ cm}$$

$$\text{spacing} \leq \text{least.dim.} = 50 \text{ cm}$$

Chapter Four

Use $\phi 10 @ 20 \text{ cm}$

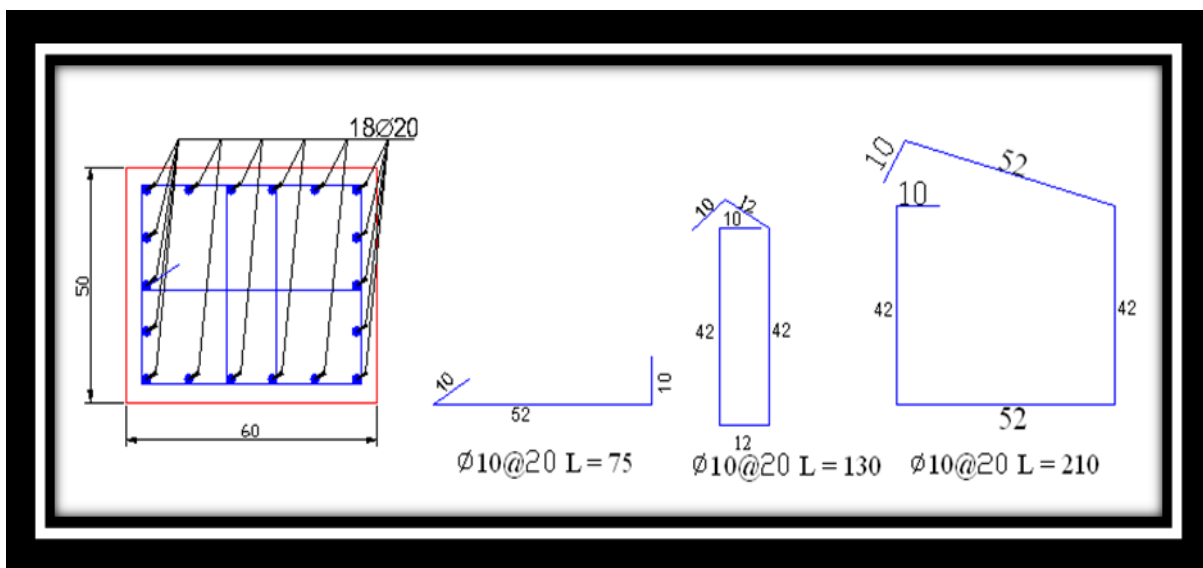


Fig . (4-18). Reinforcement of column (111)

4.11 : Design of Stair :

$$h = (3.9 + 1) / 20 = 0.245 \quad \dots \dots \text{select } h = 25 \text{ cm}.$$

$$\theta = \tan^{-1} \left(\frac{\text{rise}}{\text{run}} \right) = \tan^{-1} \left(\frac{150}{300} \right) = 26.56^\circ$$

4.11.1: Flight Dead Load computation :-

The structural system & dead load calculation :-

$$\text{Plastering} = (0.02 * 22 * 1) / (\cos 26.56) = 0.49$$

$$\text{Concrete slab} = (0.25 * 25 * 1) / (\cos 26.56) = 6.972$$

$$\text{Mortor} = (0.3 + 0.15) * 0.02 * 22 / (0.3) = 0.66$$

$$\text{Stair} = 0.15 * 0.3 * 0.5 * 1 * 25 / (0.3) = 1.875$$

$$\text{Tiles} = (0.32 + 0.15) * 0.03 * 27 / (0.3) = 1.269$$

$$\text{Total load} = 11.266 \text{ KN/m}$$

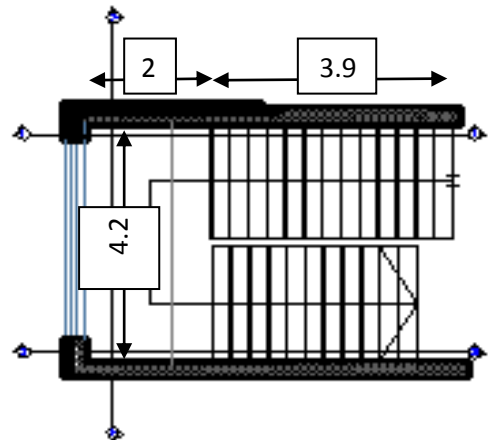


Fig . (4-19). Designed stair

Chapter Four

Dead load = 11.266 , Live load = 3

4.11.2: Landing Dead Load computation :-

$$\text{Tiles} = 0.03 * 22 * 1 = 0.66$$

$$\text{Mortor} = 0.02 * 22 * 1 = 0.44$$

$$\text{Sand} = 0.07 * 16.4 * 1 = 1.148$$

$$\text{Concrete} = 0.25 * 25 * 1 = 6.25$$

$$\text{Plastering} = 0.02 * 22 * 1 = 0.44$$

Total dead load = 8.938 KN/m & Live load= 3 KN/m

By using atir program :-

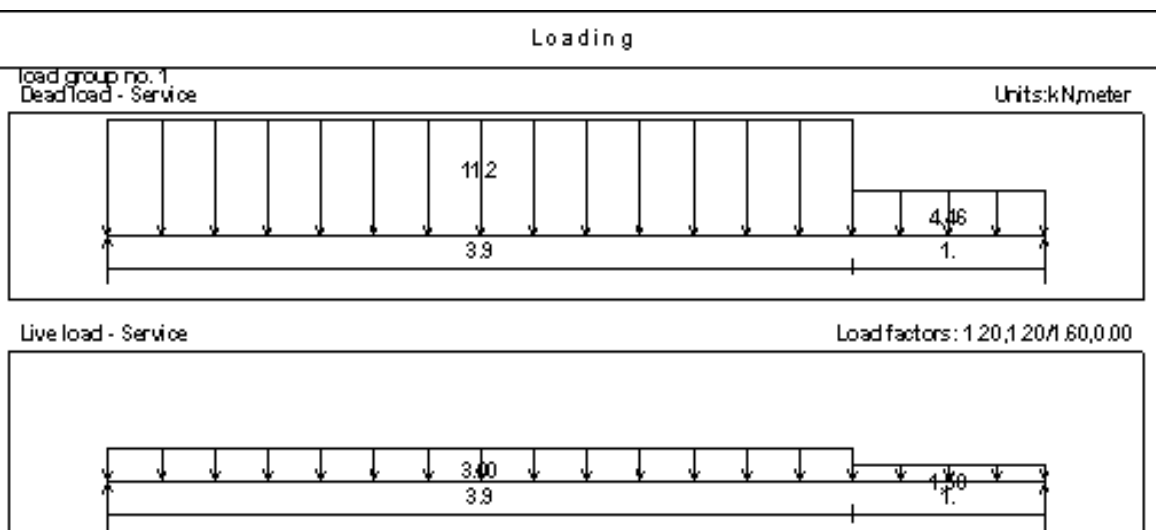


Figure (4-20): Load diagram

Chapter Four

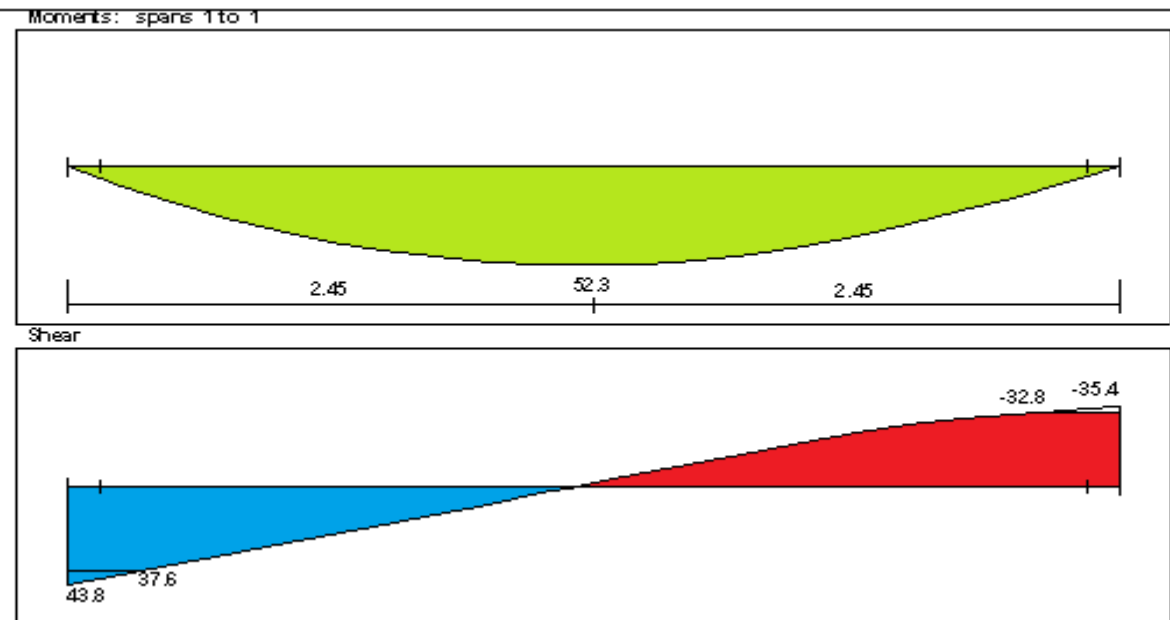


Figure (4-21): Shear & Moment envelope diagrams

4.11.3 : Design of Shear :

$$V_u = 37.6 \text{ KN}.$$

$$d = 250 - 20 - 7 = 223 \text{ mm}$$

$$\phi V_c = \frac{\phi \sqrt{f_c} * b_w * d}{6}$$

$$\phi V_c = \frac{0.75 * \sqrt{24} * 1000 * 223}{6} = 136.65 \text{ KN}$$

$$V_u = 42.9 \text{ KN} < \phi V_c = 136.65 \text{ KN}.$$

>>>**No shear Reinforcement is required. So the depth of the stair is OK.**

4.11.4: Design for flexure :-

$$M_u = 52.3 \text{ KN.m}$$

$$K_n = \frac{M_n}{b \times d^2} = \frac{52.3 / 0.9 \times 10^{-3}}{1 \times (0.223)^2} = 1.169 \text{ MPa}$$

Chapter Four

$$m = \frac{fy}{0.85fc'} = \frac{420}{0.85 \times 24} = 20.588$$

$$\rho = \frac{1}{m} \left(1 - \sqrt{1 - \frac{2mKn}{fy}}\right)$$

$$\rho = \frac{1}{20.588} \left(1 - \sqrt{1 - \frac{2(20.588)(1.169)}{420}}\right) = 0.0029$$

$$A.S = 0.0029 \times 1000 \times 223 = 646.7 \text{ mm}^2$$

Use 8 @ 20 cm c/c

step (S) is the smallest of :-

$$1) 3h = 3 \times 250 = 750 \text{ mm} \quad \text{ACI-318-08 (10.5.4)}$$

$$2) 450 \text{ mm}$$

$$s = 380 \left(\frac{280}{f_s} \right) - 2.5Cc = 380 \left(\frac{280}{\frac{2}{3} \times 420} \right) - 2.5 \times 20 = 330 \text{ mm} \quad \text{but}$$

$$s \leq 300 \left(\frac{280}{f_s} \right) = 300 \left(\frac{280}{\frac{2}{3} \times 420} \right) = 300 \text{ mm} \quad \text{ACI-318-08 (10.6.4)}$$

$$S = 20 < S_{\max} = 300$$

****Temperature and shrinkage reinforcement :-**

$$As(\text{Temperature and shrinkage}) = 0.0018 \times 1000 \times 250 = 450 \text{ mm}^2 / \text{m}$$

$$\text{Use } 8 @ 17.5 \text{ cm c/c}$$

step (S – for Temperature and shrinkage reinforcement) is the smallest of :-

$$1) 5h = 5 \times 250 = 1250 \text{ mm} .$$

$$2) 450 \text{ mm} - \text{control} .$$

$$S = 17.5 \text{ mm} < S_{\max} = 450 \text{ mm} - \text{OK}$$

Chapter Four

4.11.5 Design of landing:-

Thickness of landing = $4.2 / 20 = 0.21 \text{ m}$ use 25 cm

the reaction of the flight is applied at the centerline of the landing .since width of landing is 2 m , the reaction R will be distributed along this width . thus load per meter WR equals

$$w_{RD} = \frac{R_{D(\text{per.meter})}}{B} = \frac{25.8}{2} = 12.9 \text{ KN/m}$$

$$w_{RL} = \frac{R_{L(\text{per.meter})}}{B} = \frac{9.6}{2} = 4.8 \text{ KN/m}$$

** By using atir program :-

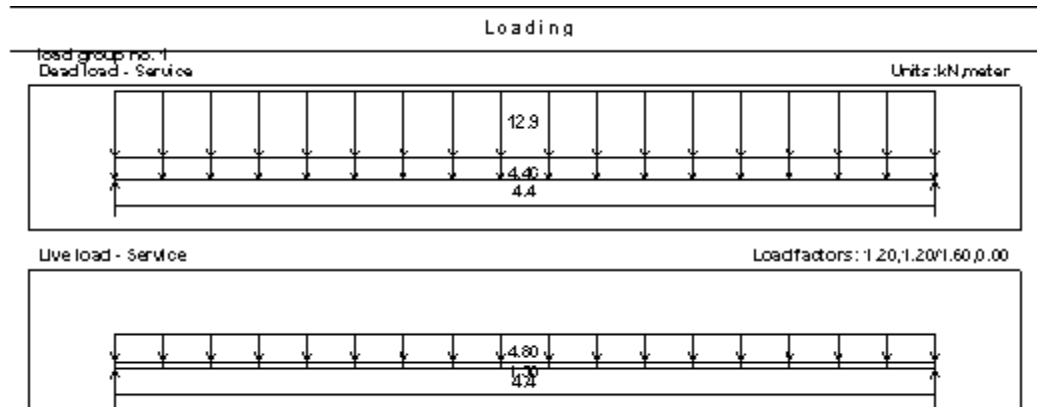
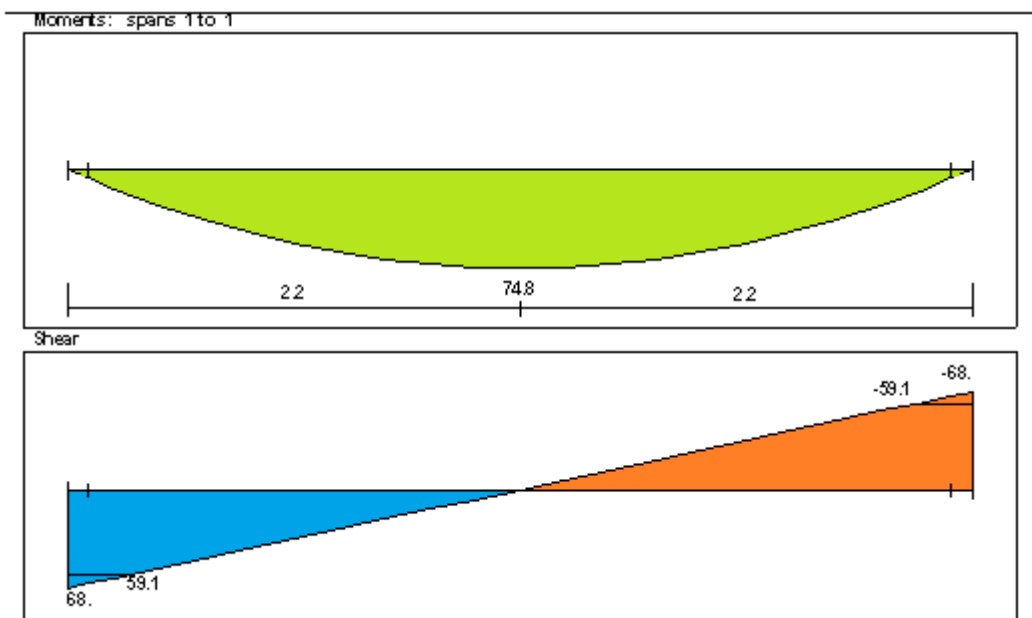


Figure (4-22): Load diagram



Chapter Four

Figure (4-23): Shear & moment envelope diagram

4.11.6: Design for flexure :-

$$Mu = 74.8 \text{ KN.m}$$

$$Kn = \frac{Mn}{b \times d^2} = \frac{74.8 / 0.9 \times 10^{-3}}{1 \times (0.223)^2} = 1.67 \text{ Mpa}$$

$$m = \frac{fy}{0.85fc'} = \frac{420}{0.85 \times 24} = 20.588$$

$$\rho = \frac{1}{m} \left(1 - \sqrt{1 - \frac{2mKn}{fy}} \right)$$

$$\rho = \frac{1}{20.588} \left(1 - \sqrt{1 - \frac{2(20.588)(1.67)}{420}} \right) = 0.0042$$

$$A.S = 0.0042 \times 1000 \times 250 = 21050 \text{ mm}^2$$

Use 14 @ 20 cm c/c

step (S) is the smallest of :-

3) $3h = 3 \times 250 = 750 \text{ mm}$

ACI-318-08 (10.5.4)

4) 450mm

5) $s = 380 \left(\frac{280}{fs} \right) - 2.5Cc = 380 \left(\frac{280}{\frac{2}{3} \times 420} \right) - 2.5 \times 20 = 330 \text{ mm}$ but

$$s \leq 300 \left(\frac{280}{fs} \right) = 300 \left(\frac{280}{\frac{2}{3} \times 420} \right) = 300 \text{ mm} \quad \text{ACI-318-08 (10.6.4)}$$

$$S = 20 < S_{\max} = 300$$

**Temperature and shrinkage reinforcement :-

$$As(\text{Temperature and shrinkage}) = 0.0018 \times 1000 \times 250 = 450 \text{ mm}^2 / \text{m}$$

Chapter Four

Use $\varnothing 10$ @ 17.5 cm c/c

step (S – for Temperature and shrinkage reinforcement) is the smallest of :-

$$3- \quad 5h = 5 \times 250 = 1250 \text{ mm} .$$

$$4- \quad 450 \text{ mm} - \text{control} .$$

$$S = 17.5 \text{ mm} < S_{\max} = 450 \text{ mm} - \text{OK}$$

4.12:Design of Basement Wall :

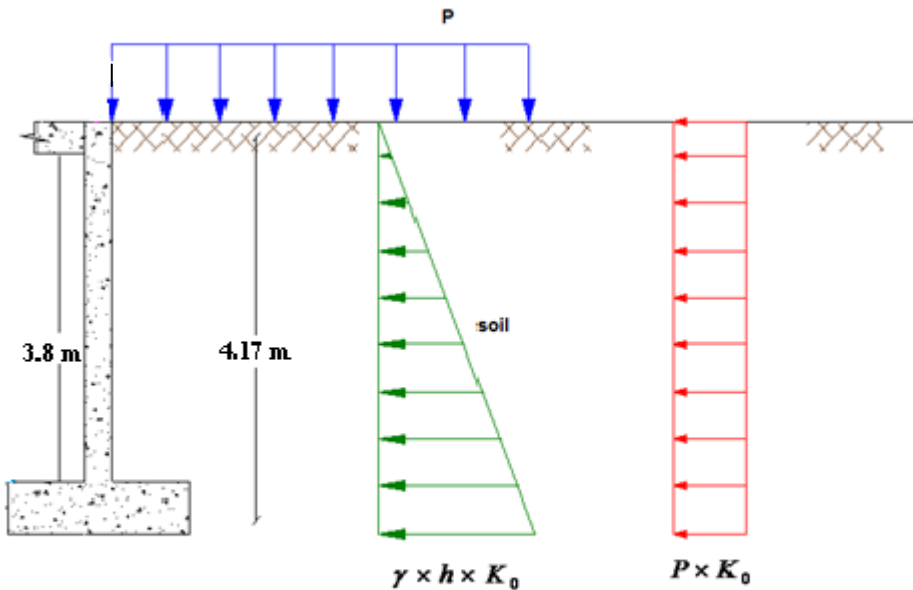


Figure (4-24) : Load on Basement Wall

4.12.1: Losd on Basment Wall :-

- Self weight of earth :

$$q_1 = \gamma \times h \times K_0$$

Assume that :

$$\gamma_{\text{soil}} = 18 \text{ Kn/m}^3$$

$$\theta = 30^\circ$$

$$K = 0.5$$

$$q_1 = 18 \times 4.17 \times 0.5 = 37.53 \text{ KN/m}^2$$

Chapter Four

$$q_{1(\text{factored})} = 1.6 \times 37.53 = 60.05 \text{ KN/m}$$

- **Load from live load:**

$$q_2 = P \times K_0$$

$$q_2 = 5 \times 0.5 = 2.5 \text{ KN/m}^2$$

$$q_{u2(\text{factored})} = 1.6 \times 2.5 = 4 \text{ N/m}$$

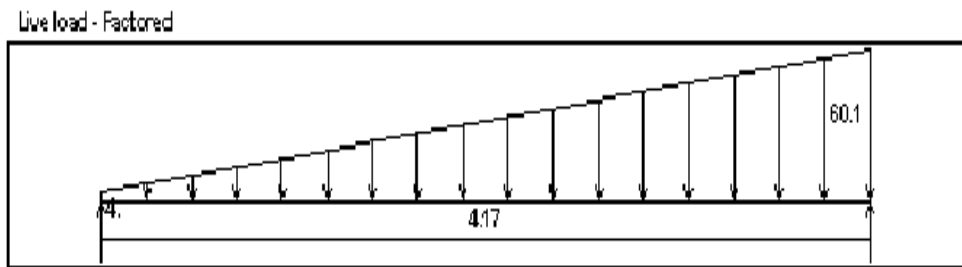


Figure (4-25): Load diagram

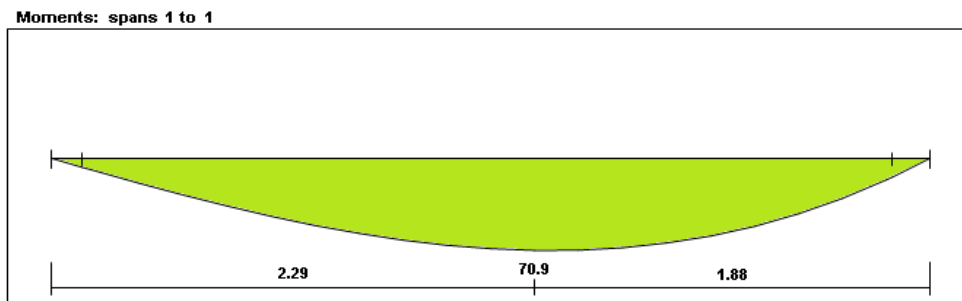


Figure (4-26): Shear & moment envelope diagram

4.12.2: Design of the Vertical reinforcement:

Assume $h = 300 \text{ mm}$

$$Mn = \frac{70.9}{0.9} = 78.8 \text{ KN.m}$$

$$d = 300 - 20 - 14/2 = 273 \text{ mm}$$

$$Kn = \frac{Mn}{b \times d^2} = \frac{78.8 \times 10^{-3}}{1 \times 0.273^2} = 1.06 \text{ Mpa}$$

Chapter Four

$$\rho = \frac{1}{m} \left(1 - \sqrt{1 - \frac{2mKn}{fy}}\right)$$

$$\rho = \frac{1}{20.588} \left(1 - \sqrt{1 - \frac{2 \times 20.588 \times 1.06}{420}}\right) = 0.0026$$

$$As_{req} = 0.0026 \times 1000 \times 273 = 709.8 \text{ mm}^2 / \text{m}$$

$$As_{min} = 0.0012 \times 1000 \times 300 = 360 \text{ mm}^2 / \text{m}$$

$$As_{min} = 360 \text{ mm}^2 / \text{m} < As_{req} = 709.8 \text{ mm}^2 / \text{m}$$

$$\# \text{ of bar in one meter} = \frac{709.8}{154} = 5$$

Select Φ14@20cm c/c

IN OTHER SIDE

$$As = \frac{1}{2} \times 709.8 = 355 \text{ mm}^2 / \text{m} \quad (\text{According ACI code})$$

$$\# \text{ of bar in one meter} = \frac{355}{79} = 5$$

Select Φ10@20cm c/c

4.12.3: Design of the Horizontal reinforcement:

$$As_{horizontal} = 0.002 * 1000 * 300 = 600 \text{ mm}^2 / \text{m}$$

$$\# \text{ of bar in one meter} = \frac{600}{50.24} = 12$$

Select Φ8@15cm c/c , In two layer

Check for Shear :

$$Vu_d = 61.2 \text{ KN}$$

$$\phi Vc = \frac{\phi}{6} \sqrt{fc'} \times d \times b$$

$$\phi Vc = \frac{0.75}{6} \sqrt{24} \times 0.273 \times 1000 = 870.79 \text{ KN}$$

$\phi Vc >>> Vu$... No Shear Reinforcement is Required.

Chapter Four

4.12.4: Design of Basement Footing:-

Total factored load in basement = $1.2 \times (25 \times 3.8 \times 0.3) = 34.2 \text{ KN/m}$

Soil density = 18 KN/m^3 .

Allowable soil Pressure = 350 KN/m^2 .

Assume footing to be about (30 cm) thick.

Footing weight = $1.2 \times (25 \times 0.3) = 9 \text{ KN/m}^2$.

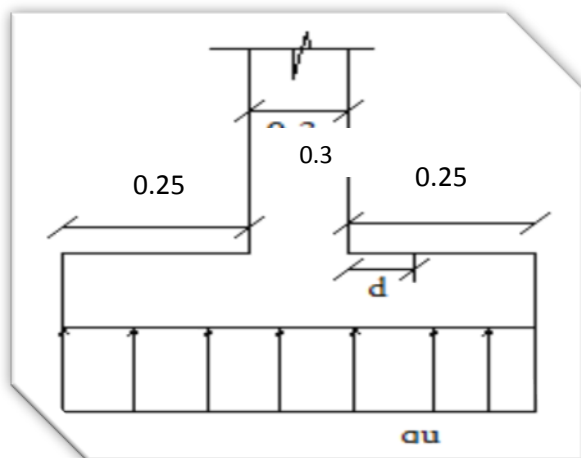
Soil weight above the footing = $1.6 \times (3.44) \times 18 = 99.072 \text{ KN/m}^2$.

live load = 5 KN/m^2

$q_{\text{allow,net}} = 350 - 5 - 9 - 99.072 = 236.93 \text{ KN/m}^2$

Assume $b = 0.8 \text{ m}$, $h = 30 \text{ cm}$

$d = 300 - 75 - 14 = 211 \text{ mm}$, $q_{\text{ult}} = 34.2 / 1 * 0.8 = 42.75 \text{ KN/m}^2$



Figure(4-27): Footing geometry

4.12.5: Check of One Way Shear:-

$$V_u = 1 \times (0.25 - 0.211) \times 42.75 = 1.67 \text{ KN}$$

$$\phi V_c = \frac{\phi}{6} \sqrt{f'_c} \times d \times b$$

$$\phi V_c = \frac{0.75}{6} \sqrt{24} \times 0.211 \times 1 \times 1000 = 129.2 \text{ KN}$$

$\phi V_c >>> V_u \dots$ No Shear Reinforcement is Required.

Chapter Four

4.12.6: Design of Bending Moment:-

$$Mu = 42.75 \times 0.25^2 / 2 = 1.34 \text{ KN/m}$$

$$Mn = \frac{1.34}{0.9} = 1.49 \text{ KN.m}$$

$$Kn = \frac{Mn}{bd^2} = \frac{1.49 \times 10^{-3}}{1 \times 0.211^2} = 0.034 \text{ Mpa}$$

$$m = \frac{fy}{0.85 * fc} = \frac{420}{0.85 * 24} = 20.588$$

$$\rho = \frac{1}{m} \left(1 - \sqrt{1 - \frac{2 \times m \times kn}{f_y}} \right)$$

$$\rho = \frac{1}{20.588} \left(1 - \sqrt{1 - \frac{2 \times 20.588 \times 0.034}{420}} \right) = 0.000081$$

$$As_{Req.} = \rho * b * d = 0.000081 * 211 * 1000 = 17.1 \text{ mm}^2$$

$$As_{Shrinkage} = 0.0018 * b * h = 0.0018 * 300 * 1000 = 540 \text{ mm}^2$$

$$As_{Req.} = 17.1 \text{ mm}^2 < As_{Shrinkage} = 540 \text{ mm}^2$$

Use A_{smin}

Use $\phi 14$

No. = $540/154 = 3.51$, Use 4 bars

Use hook $\geq 16 * \phi$

Required length of hook $\geq 16 \times \phi \geq 16 \times 1.4 = 22.4 \text{ cm}$

Use Hooksel. = 25 cm > Hookreq = 22.4cm

Use $\phi 14 @ 25 \text{ cm c/c}$

In the other Direction:-

$$A_{smin} = 0.0018 * b * h$$

$$A_{smin} = 0.0018 * 1000 * 30 = 540 \text{ mm}^2$$

Use $\phi 14$

No. = $540/154 = 3.51$, Use 4 bars

Use $\phi 14 @ 25 \text{ cm c/c}$

Chapter Four

$$ld_{req} = \frac{9}{10} \times \frac{fy}{\lambda \sqrt{fc'}} \times \frac{\psi_e \psi_s \psi_t}{ktr + cb} \times db$$

$$ld_{req} = \frac{9}{10} \times \frac{420}{1 \times \sqrt{24}} \times \frac{1 \times 1 \times 0.8}{2.5} \times 14 = 345.7 \text{ mm}$$

$$Ld_{available} = 250 - 75 = 175 \text{ mm}$$

$$Ld_{available} = 475 \text{ mm} > 296.3 \text{ mm}$$

4-13: Design of Isolated Footing (F04c 125library).

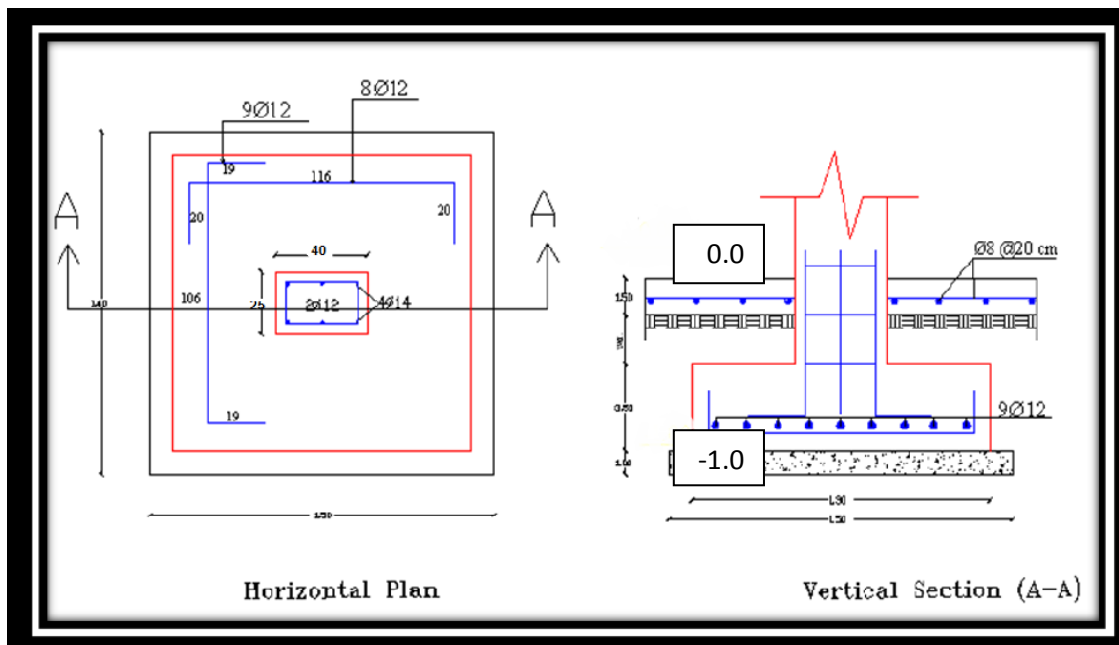


Fig. (4-28) Geometry of Footing (F04)

4.13.1 Load Calculation:

From Column 125 :

Service load = 347.22 KN .

Factored Load = 455.74 kN .

Soil Weight = 18 kN/m³.

Soil Depth = 1 m.

Chapter Four

Column geometry 40×25 cm.

Allowable Soil Pressure = 350 kN/m^2 .

4.13.2 Design of Footing Area:

Assume footing to be about (35 cm) thick.

$$A = \frac{\text{Force(service)}}{q_{all.net}}$$

$$q_{all.net} = 350 - 5 - 0.65 \times 18 - 0.35 \times 25$$

$$q_{all.net} = 324.55 \text{ kN/m}^2$$

$$A = \frac{347.22}{324.55}$$

$$A = 1.15 \text{ m}^2$$

$$A = W \times L = 1.15 \text{ m}^2$$

$$L = 1.3 \text{ m} \dots \dots \dots W = 1.2 \text{ m}$$

$$q_u = \frac{\text{Force(Factored)}}{A} = \frac{455.74}{1.2 \times 1.3} = 292.14 \text{ kN/m}^2$$

Where :

A: Area of footing.

W: Width of footing.

L: Length of footing.

4.13.3 Determine the Depth of Footing Based on Shear Strength:

Assume $h = 35$ cm $d = 350 - 75 - 20 = 255$ mm

Check For One Way Action:-

For X- direction

Chapter Four

$$V_u = \left(\frac{(L-a)}{2} - d \right) \times q_u \times W$$

$$V_u = \left(\frac{(1.3-0.4)}{2} - 0.225 \right) \times 292.14 \times 1.2$$

$$V_u = 78.88 kN$$

$$\Phi V_c = \frac{0.75}{6} \sqrt{f_{c'}} \times L \times d$$

$$\Phi V_c = \frac{0.75}{6} \sqrt{24} \times 1.3 \times 0.255 \times 10^3$$

$$\Phi V_c = 203.00 kN$$

$$\Phi V_c > V_u \dots O.K$$

For Y- direction

$$V_u = \left(\frac{(L-a)}{2} - d \right) \times q_u \times W$$

$$V_u = \left(\frac{(1.2-0.25)}{2} - 0.225 \right) \times 292.14 \times 1.3$$

• **Check for** $V_u = 94.65 kN$

Two Way $\Phi V_c = 203 kN$

Action :- $\Phi V_c > V_u \dots O.K$

The punching shear strength is the smallest value of the following equations:

$$V_c = \frac{1}{12} \left(2 + \frac{4}{\beta_c} \right) \sqrt{f_{c'}} \cdot b_o \cdot d$$

$$V_c = \frac{1}{12} \left(\frac{\alpha_s \cdot d}{b_o} + 2 \right) \sqrt{f_{c'}} \cdot b_o \cdot d$$

$$V_c = \frac{1}{3} \sqrt{f_{c'}} \cdot b_o \cdot d$$

Where:

$$\beta_c = \frac{\text{Column Length (a)}}{\text{Column Width (b)}} = \frac{40}{25} = 1.6$$

b_o = Perimeter of critical section taken at (d/2) from the loaded area

$$= 2 \times \{(a+d) + (b+d)\} = 2 \times \{(0.40+0.255) + (0.25+0.255)\} = 2.52 \text{ m.}$$

$\alpha_s = 40$ for interior column

Chapter Four

$$V_c = \frac{1}{12} \left(2 + \frac{4}{2} \right) \sqrt{f_{c'}} b_o d = 0.333 \sqrt{f_{c'}} b_o d$$

$$V_c = \frac{1}{12} \left(\frac{40 \times 0.255}{2.52} + 2 \right) \sqrt{f_{c'}} b_o d = 0.504 \sqrt{f_{c'}} b_o d$$

$$V_c = \frac{1}{3} \sqrt{f_{c'}} b_o d = 0.333 \sqrt{f_{c'}} b_o d \dots \text{Control}$$

$$Vu = 292.14 * ((1.3 * 1.2) - (0.755 * 0.505)) = 344.35 \text{ kN}$$

$$V_c = \frac{1}{3} \sqrt{f_{c'}} b_o d = 0.333 \sqrt{24} \times 2.52 \times 0.255 \times 10^3$$

$$Vc = 1049.36 \text{ kN} \dots \phi = 0.75$$

$$\phi Vc = 0.75 \times 1049.36 = 787.02 \text{ kN}$$

$$\phi Vc > Vu \dots \text{OK.}$$

4.13.4 Design for Bending Moment:

At X- Direction

$$Mu = 292.14 \times 1.3 \times 0.4 \times \frac{0.4}{2} = 30.38 \text{ kN.m} \quad (1.3-0.5)/2=0.4$$

Using Reinforced Concrete.

$$Mn = \frac{30.38}{0.9} = 33.76 \text{ kN.m}$$

$$Kn = \frac{Mn}{bd^2} = \frac{33.76 \times 10^{-3}}{1.2 \times (0.255)^2} = 0.43 \text{ Mpa}$$

$$m = \frac{fy}{0.85 \times f_{c'}} = \frac{420}{0.85 \times 24} = 20.588$$

$$\rho = \frac{1}{m} \left(1 - \sqrt{1 - \frac{2 \times m \times Kn}{f_y}} \right)$$

Chapter Four

$$\rho = \frac{1}{20.588} \left(1 - \sqrt{1 - \frac{2 \times 20.588 \times 0.43}{420}} \right) = 0.00103$$

$$As_{Req.} = \rho \times b \times d = 0.00103 \times 1200 \times 255 = 315.18 \text{ mm}^2$$

$$As_{Shrinkage(min.)} = 0.0018 \times b \times h = 0.0018 \times 1200 \times 350 = 756 \text{ mm}^2$$

$$As \min = 756 \text{ mm}^2 \dots \dots \dots control$$

$$select \ 8\phi 12 \ with As = 904.8 \text{ mm}^2 > Asreq. = 756 \text{ mm}^2$$

At Y- Direction

$$Mu = 292.14 \times 1.2 \times 0.475 \times \frac{0.475}{2} = 39.551 \text{ kN.m} \quad // (1.2-0.25)/2=0.475$$

Using Reinforced Concrete.

$$Mn = \frac{39.55}{0.9} = 43.94 \text{ kN.m}$$

$$Kn = \frac{Mn}{bd^2} = \frac{43.94 \times 10^{-3}}{1.3 \times (0.255)^2} = 0.52 \text{ Mpa}$$

$$m = \frac{fy}{0.85 \times fc} = \frac{420}{0.85 \times 24} = 20.588$$

$$\rho = \frac{1}{m} \left(1 - \sqrt{1 - \frac{2 \times m \times Kn}{f_y}} \right)$$

$$\rho = \frac{1}{20.588} \left(1 - \sqrt{1 - \frac{2 \times 20.588 \times 0.52}{420}} \right) = 0.00125$$

$$As_{Req.} = \rho \times b \times d = 0.00125 \times 1300 \times 255 = 414.4 \text{ mm}^2$$

$$As_{Shrinkage(min.)} = 0.0018 \times b \times h = 0.0018 \times 1300 \times 350 = 819 \text{ mm}^2$$

$$Asreq = 819 \text{ mm}^2 \dots \dots \dots control$$

$$select \ 9\phi 12 with As = 1017.8 \text{ mm}^2 > Asreq. = 819 \text{ mm}^2$$

4.13.5 Check for Strain:

At Y- Direction

Tension = Compression

Chapter Four

$$As \times fy = 0.85 \times fc' \times b \times a$$

$$1071.8 \times 420 = 0.85 \times 24 \times 1300 \times a$$

$$a = 16.96 \text{ mm}$$

$$x = \frac{a}{\beta_1} = \frac{16.96}{0.85} = 19.95 \text{ mm}$$

$$\varepsilon_s = \frac{0.255 - 0.01995}{0.01995} \times 0.003$$

$$\varepsilon_s = 0.0353 > 0.005 \quad \dots \dots \dots OK$$

At X- Direction

Tension = Compression

$$As \times fy = 0.85 \times fc' \times b \times a$$

$$904.8 \times 420 = 0.85 \times 24 \times 1200 \times a$$

$$a = 15.52 \text{ mm}$$

$$x = \frac{a}{\beta_1} = \frac{15.52}{0.85} = 18.26 \text{ mm}$$

$$\varepsilon_s = \frac{0.255 - 0.01826}{0.01826} \times 0.003$$

$$\varepsilon_s = 0.039 > 0.005 \quad \dots \dots \dots OK$$

4.13.6 Check transfer of load at base of column:

$$\Phi P_n = \Phi(0.85 fc' A_g)$$

$$\Phi P_n = 0.65(0.85)(24)(0.25 * 0.4) * 10^3 = 1326 \text{ kN} > 455.74 \text{ KN.}$$

Since $\Phi P_n > P_u$.

\therefore Dowels are not required for load transfer

4.13.7 Development Length (L_d):-

$$ld_{req} = \frac{9}{10} \times \frac{fy}{\lambda \sqrt{fc'}} \times \frac{\psi_e \psi_s \psi_t}{ktr + cb} \times db$$

$$ld_{req} = \frac{9}{10} \times \frac{420}{1 \times \sqrt{24}} \times \frac{1 \times 1 \times 0.8}{2.5} \times 12 = 296.3 \text{ mm}$$

$$Ld_{available} = 350 - 75 = 275 \text{ mm}$$

$$Ld_{available} = 275 \text{ mm} > ld_{req} = 296.3 \text{ mm}$$

Chapter Four

4.14: Design of shear wall :-

4.14.1 Design of shear wall by ETABS program:-

Design philosophy in ETABS based mainly on transform loads from slabs to walls directly .

shear wall has been loaded by two kinds of forces :

- 1) Axial loads (Dead + Live)
- 2) Lateral "seismic loads, wind pressure"

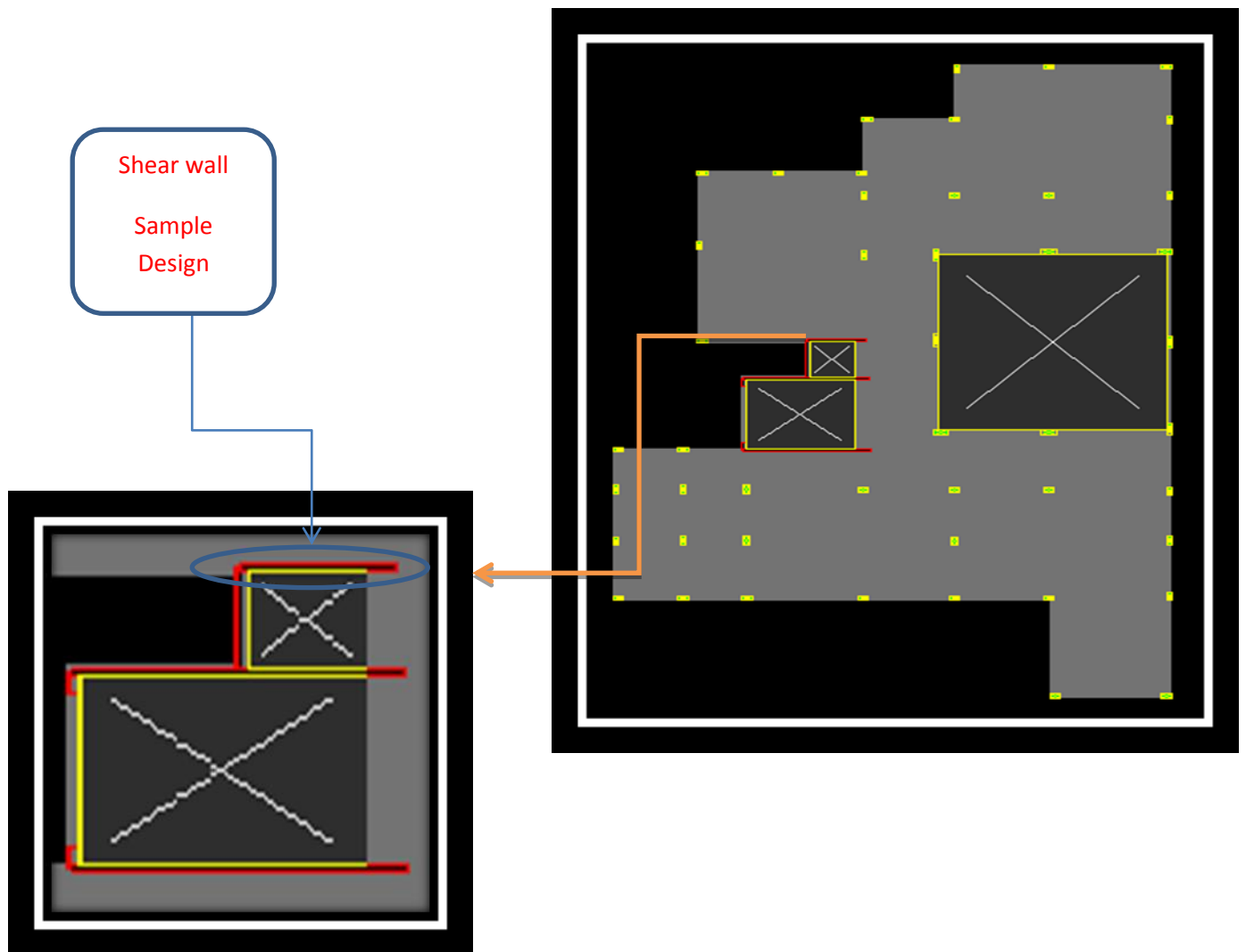


Figure (4-29): Shear wall plan from ETABS

Chapter Four

4.12.2 Design of shear wall by manual method:-

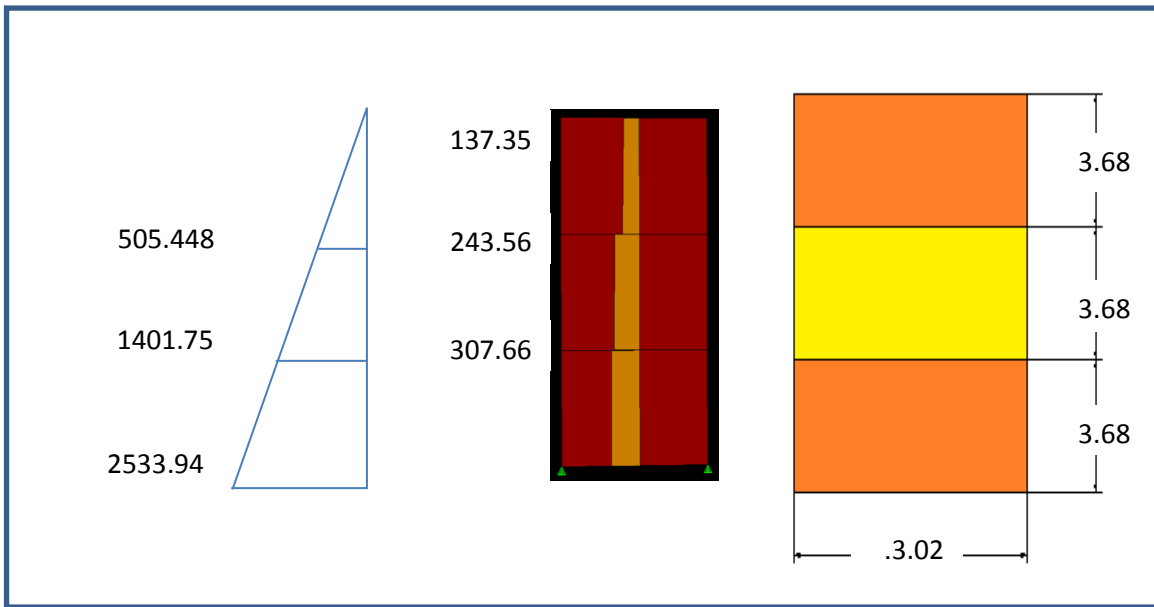


Figure (4-30): Shear force & moment on the wall from ETABS

Z = 3.0

R = 5.5

I = 1.0

Ca = 0.24

Ct = **0.0488**

Cv = 0.24

Where:

Z = seismic zone factor as given in reference.

R = numerical coefficient representative of the inherent over strength and global ductility capacity of lateral force resisting systems, as set forth in Table 16-N or 16-p.

I = importance factor given in Table 16-K.

Ca = seismic coefficient, as set forth in Table 16-Q.

Ct = numerical coefficient given in Section 1630.2.2.

Cv = seismic coefficient, as set forth in Table 16-R.

hi, hn, hx = height in feet (m) above the base to Level *i*, *n* or *x*, respectively.

Chapter Four

4.12.3: Design of Wall:

By Using Software (ETABS 9.5), We Get the shear wall Analysis Results as shown in the following Diagram:-

$$F_c = 24 \text{ MPa}$$

$$f_y = 420 \text{ MPa.}$$

$h = 20 \text{ cm}$. Shear wall thickness.

$L_w = 3.02 \text{ m}$. shear wall width

$H_w = 11.04 \text{ m}$. Building height

$$L_w/2 = 3.02/2 = 1.51 \text{ m} \dots \dots \dots \text{(control)}$$

$$h_w/2 = 11.04/2 = 5.52 \text{ m}$$

$$d = 0.8 * L_w = 0.8 \times 3.02 = 2.42 \text{ m}$$

$$V_{c1} = \frac{\sqrt{f_c'}}{6} \times b \times d$$

$$V_{c1} = \frac{\sqrt{24}}{6} \times 0.2 \times 2.42 \times 1000 = 395.18 \text{ kN}$$

$$V_{c2} = \frac{\sqrt{f_c'} \times b \times d}{4} + \frac{N_u \times a}{4 \times l_w}$$

$$V_{c2} = \left(\frac{\sqrt{24} \times 0.2 \times 2.42}{4} + 0.0 \right) \times 1000 = 592.78 \text{ KN}$$

$$V_{c3} = \left(\frac{\sqrt{f_c'}}{2} + \frac{l_w(\sqrt{f_c'} + \frac{2 \times N_u}{l_w \times b})}{\frac{M_u}{V_u} - \frac{l_w}{2}} \right) \times \frac{b \times d}{10}$$

$$M_u = 1401.75 + 307.66(3.68 - 1.51) = 2069.4 \text{ kN.m}$$

$$V_{c3} = \left(\frac{\sqrt{24}}{2} + \frac{3.02(\sqrt{24} + 0.0)}{\frac{2069.4}{307.66} - \frac{3.02}{2}} \right) \times \frac{0.2 \times 2.42}{10} \times 1000 = 255.83 \text{ KN} \dots \dots \text{control}$$

$$V_s = \frac{V_u}{\phi} - V_c$$

Chapter Four

$$Vs = \frac{307.66}{0.75} - 255.83 = 154.38 KN$$

$$\frac{Av.h}{s2} = \frac{Vs}{fy.d} = \frac{0.15438}{420 \times 242} = 0.00015$$

$$\left(\frac{Av.h}{s2}\right)_{\min} = 0.0025 \times b = 0.0025 \times 0.20 = 0.0005$$

$$S \leq (l_w / 5) = 3020 / 5 = 604 \text{ mm}$$

$$S_2 \leq 3 \times b = 3 \times 200 = 600 \text{ mm} \dots \text{Control}$$

$$\left(\frac{Av.h}{s2}\right)_{\min} = 0.0005$$

Try Ø10

$$\left(\frac{2 \times 79 \times 10^{-6}}{s2}\right)_{\min} = 0.0005$$

$$S_2 = 0.316 \text{ m}$$

Use Ø10 @ 30 cm c/c For Horizontal R.F.

**For Vertical Shear Reinforcement :-

$$A_{vn} = \{0.0025 + 0.5(2.5 - \frac{h_w}{l_w}) \times (\frac{A_{vh}}{s_2 \times h} - 0.0025)\} \times s \times h$$

$$A_{vn} = \{0.0025 + 0.5(2.5 - \frac{11.04}{3.02}) \times (\frac{2 \times 79}{300 \times 200} - 0.0025)\} \times s \times h$$

$$A_{vn} = 0.0025 \times s \times h$$

$$\frac{2 \times 79 \times 10^{-6}}{s} = 0.0025 \dots s = 0.30 \text{ m}$$

$$S \leq L_w / 3 = 3020 / 3 = 1006.7 \text{ mm}$$

$$\leq 450 \text{ mm}$$

$$\leq 3 \times h = 3 \times 20 = 600 \text{ mm}$$

Use Ø 10 @ 30 cm c/c

$$c \geq \frac{l_w}{600 \times (s_n / h_w)}$$

Assume Sn/hw = 0.007

Chapter Four

$$c \geq \frac{3.02}{600 \times (0.007)} = 0.719 \dots \dots , C \geq 0.719$$

boundary element length = $C - 0.1 \times l_w$

$$= 0.719 - 0.1 \times 3.02 = 0.417 \text{ m}$$

$$\geq 0.719 / 2 = 0.360 \text{ m}$$

The boundary element length = 45 cm

$$A_{st} = 3.02 / 0.3 \times 2 \times 79 = 1590.5 \text{ mm}^2$$

$$\frac{z}{l_w} = \frac{1}{\frac{0.85 \times \beta \times f_c \times l_w \times h}{A_{st} \times f_y}}$$

$$\frac{z}{l_w} = \frac{1}{\frac{0.85 \times 0.85 \times 24 \times 3.02 \times 0.2}{1590.5 \times 420}} = 0.057$$

$$M_n = 0.9 \times (0.5 \times A_{st} \times F_y \times l_w \times (1 - Z/l_w))$$

$$M_n = 0.9 \times (0.5 \times 1590.5 \times 10^{-6} \times 420 \times 3.02 \times (1 - 0.057/2))$$

$$M_n = 0.882 \text{ MN.m}$$

$$M_u = 2533.49 - 882 = 1651.49 \text{ KN.m}$$

$$A_{st} = \frac{1651.49 / 0.9}{420 \times (3.02 - 0.45)} = 1700 \text{ mm}^2$$

$$As = 1700 + 4 \times 79 = 2016 \text{ mm}^2$$

Use $\Phi 18$

Use 8 $\Phi 18$ $A_s = 2035.75$

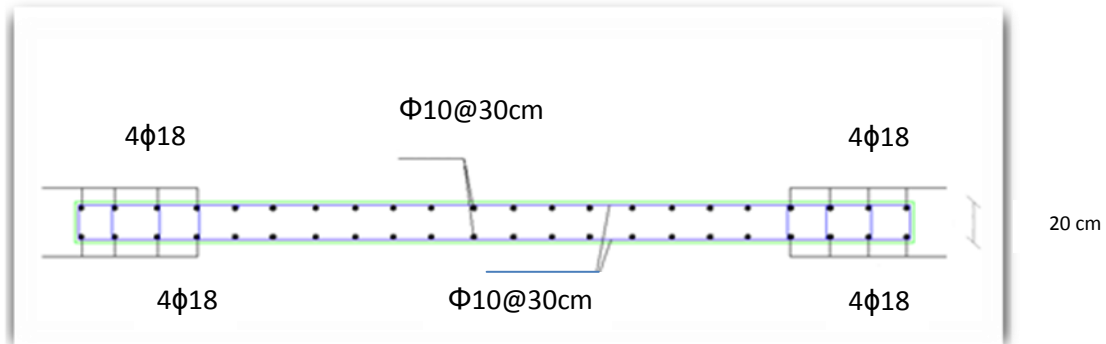


Figure (4-31) : Shear Wall Reinforcement

Chapter Four

4.15: Design of truss:

4.15.1 Load Calculations:

1. Dead load :

dead load of corrugate sheets = 0.15 KN/m².

dead load of purlins = 0.2 KN/m².

dead load of installation = 0.1 KN/m².

dead load of truss = 1.5 KN/m.

dead load of gypsum plates double layer = 0.5 KN/m.

2. Wind load :

$$W.L = C_e * C_q * q_s * I_w$$

$$C_e = 0.67$$

$$C_q = 0.7 \quad \dots\dots \text{outward}$$

$$q_s = 16.4 \text{ Psf}$$

$$I_w = 1$$

$$W.L = .067 \times 0.7 \times 14.6 \times 1 = -7.69/20.88 = -0.37 \text{ KN/m}^2.$$

3. Snow load :

$$S.L = 1 \text{ KN/m}^2.$$

4.15.2: Design of purlins :

- Load Calculations:

dead load of corrugate sheets = $0.15 \times 1.5 = 0.225 \text{ KN/m}$.

dead load of purlins = 0.2 KN/m .

dead load of installation = $0.1 \times 1.5 = 0.15 \text{ KN/m}$.

dead load of gypsum plates double layer = $0.5 \times 1.5 = 0.75 \text{ KN/m}$.

$$\sum 1.325 \text{ KN/m}$$

Wind load = $-0.37 \times 1.5 = -0.555 \text{ KN/m}$.

Snow load = $1 \times 1.5 = 1.5 \text{ KN/m}$.

Chapter Four

- Load Combination :-

$$q_{u1} = 1.2D.L + 1.6S.L$$

$$q_{u_2} = 0.9D.L + 1.6W.L$$

$$q_{u1} = 0.9 \times 1.325 + 1.6 \times -0.555 = 0.31 \text{ KN/m}$$

$$q_u = 3.99 \times 0.06852 = 273.39 \text{ lb/ft}$$

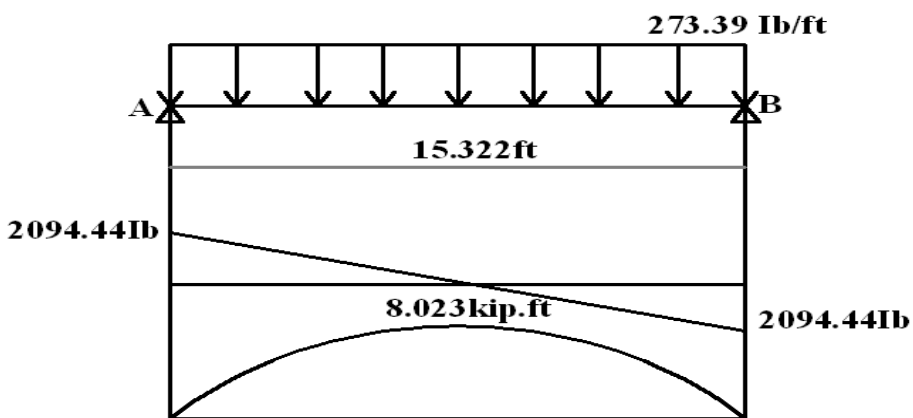


Figure (4-32) : load, shear & moment diagram for purlins

$$Ay = \frac{273.39 * 15.322}{2} = 2094.44 Ib .$$

$$Mu_{max} = \frac{2094.44 * (15.322 / 2)}{2} = 8.023 kip.ft$$

Design of bending moment :

Assume compact section:-

$$\varphi^*Mn \geq Mu$$

$$0.9 * F_y * Z_{x_{req}} \geq M_u$$

$$Z_{X_{\text{req}}} = \frac{8.023 * 12}{0.9 * 36} = 2.97 \text{ in}^3$$

Select 4x4x3/8

$$Z_x = 6.39 \text{ in}^3 > Z_{req} = 2.97 \Rightarrow I_x = 10.3 \text{ in}^4$$

Chapter Four

Check of local plate buckling

$$\lambda_f = \frac{bf}{2tf} \leq \lambda_{pf} = 10.8$$

$$\lambda_f = \frac{8.46}{2} = 4.26 < 10.8$$

$$\lambda_w = \frac{h}{tw} \leq \lambda_{pw} = 107$$

$$\lambda_w = 8.46 < 107$$

The assumption is correct (compact section).

Design of shear:-

$$\phi_v * V_n \geq V_u$$

$$\phi_v * 0.6 * fy * d * t_w \geq V_u \Rightarrow d = 13.66\text{in} \Rightarrow t_w = 0.305\text{in}$$

$$0.9 * 0.6 * 30 * 4 * (3/8) = 29.2 \geq 20.94$$

$$\lambda_w = 8.46 \leq \lambda_r = 69.7$$

Limitation of Deflection:-

$$F_{allow} = \frac{L}{360} = \frac{15.322 * 12}{360} = 0.51$$

$$F = \frac{5}{384} * \frac{((1.5 * 0.06852)/12) * (15.322 * 12)^4}{29000 * 10.3} = 0.43$$

$$F = 0.43 < F_{allow} = 0.51$$

Chapter Four

4.15.3: Design of truss :

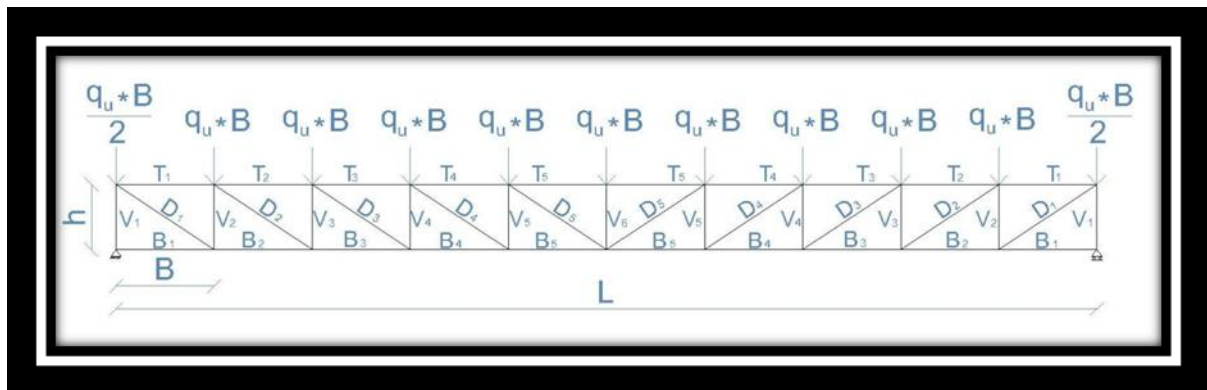


Figure (4-33) : Truss Geometry

Space between truss and anther = 4.67m

L=15m

B = 1.5m

h = 0.8 m

4.15.3.1: Load Calculations:

dead load of truss= 1 KN/m.

dead load from purlins = $1.325 \times 4.67 = 6.188$ KN/m .

$$\sum 7.188\text{KN}/m$$

Wind load = $-0.37 \times 4.67 = -1.73$ KN/m.

Snow load = $1 \times 4.67 = 4.67$ KN/m.

4.15.3.2: Load Combination :-

$$q_{u1} = 1.2D.L + 1.6S.L$$

$$q_{u1} = 1.2 \times 7.188 + 1.6 \times 4.67 = 16.1 \text{ KN/m. Control}$$

$$q_{u2} = 0.9D.L + 1.6W.L$$

$$q_{u2} = 0.9 \times 7.188 + 1.6 \times -1.73 = 3.7\text{KN/m.}$$

Chapter Four

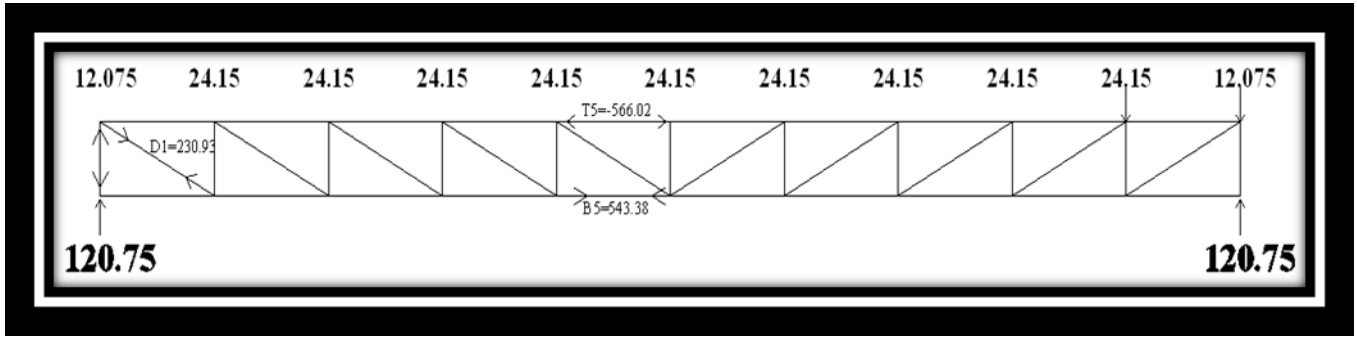


Figure (4-34) : Truss Analysis

4.15.3.3: Analysis:

$$D_1 = 230.93 \text{ KN}$$

$$V_1 = -120.75 \text{ KN}$$

$$T_5 = -566.02 \text{ KN}$$

$$B_5 = 543.38 \text{ KN}$$

4.15.3.2: Design of Diagonal member:

$$D_1 = 230.93 \text{ KN} = 51.92 \text{ Kip}$$

Yielding limit state :

$$\phi T_n \geq T_u$$

$$\phi * F_y * A_g \geq T_u$$

$$0.9 * 36 * A_g \geq 51.92$$

$$A_{g_{reg}} = 1.6 \text{ in}^2$$

Stiffens limit state :

$$\frac{L}{r} \leq 300 \quad L = 1.7 \text{ m} = 5.6 \text{ ft}$$

$$\frac{5.6 * 12}{r} \leq 300$$

Chapter Four

$$r \geq 0.224in$$

From $A_{g_{req}} = 2.3 \text{ in}^2$ and $r = 0.224 \text{ in}$

Select tube 2-1/2x2-1/2x $\frac{5}{16}$

$$A_g = 2.35 \text{ in}^2 \quad r = 0.88 \text{ in}$$

4.15.3.3:Design of Vertical member:

$$V_1 = -120.75 \text{ KN} = 27.15 \text{ Kip}$$

Effective length :

For buckling about x-x & y-y

$$K_x = K_y = 1$$

$$L_x = L_y = 1 * 2.62 * 12 = 31.44 \text{ in}$$

Critical stress F_{cr}

$$\text{Assume a middle value of } \frac{K_x * L_x}{r_x} = 100$$

From curve of A36 steel $F_{cr} = 22 \text{ ksi}$

Required A_g

$$\phi_c * P_{cr} \geq P_u$$

$$\phi_c * F_{cr} * A_g \geq P_u$$

$$0.85 * 22 * A_g \geq 27.15$$

$$A_{g_{req}} = 1.45 \text{ in}^2$$

Select tube 2x2x $\frac{1}{4}$

$$A_g = 1.51 \text{ in}^2 \quad r = 0.704 \text{ in}$$

Effective length ratio :

$$\frac{K_x * L_x}{r_x} = \frac{K_y * L_y}{r_y} = \frac{31.44}{0.704} = 44.66$$

From curve of A36 steel $F_{cr} = 34 \text{ ksi}$

Chapter Four

Design strength:

$$\phi c * P_{cr} \geq P_u$$

$$\phi c * F_{cr} * A_g \geq P_u$$

$$0.85 * 34 * 1.51 \geq 27.15$$

$$43.64 \geq 27.15$$

\Rightarrow Ok

Select tube $2x2x\frac{1}{4}$ for the vertical member.

4.15.3.4:Design of Top member:

$$T_5 = -566.02 \text{ KN} = 127.25 \text{ Kip}$$

Effective length :

For buckling about x-x & y-y

$$K_x = K_y = 1$$

$$L_x = L_y = 1.5 * 3.281 * 12 = 59.06 \text{ in}$$

Critical stress F_{cr}

Assume a middle value of $\frac{K_x * L_x}{r_x} = 100$

From curve of A36 steel $F_{cr} = 22 \text{ ksi}$

Required A_g

$$\phi c * P_{cr} \geq P_u$$

$$\phi c * F_{cr} * A_g \geq P_u$$

$$0.85 * 22 * A_g \geq 127.25$$

$$A_{g_{req}} = 6.8 \text{ in}^2$$

Select tube $4-1/2x4-1/2x\frac{3}{8}$

$$A_g = 5.48 \text{ in}^2 \quad r = 1.67 \text{ in}$$

Chapter Four

Effective length ratio :

$$\frac{K_x * L_x}{r_x} = \frac{K_y * L_y}{r_y} = \frac{59.06}{1.67} = 35.4$$

From curve of A36 steel $F_{cr} = 35\text{Ksi}$

Design strength:

$$\phi c * P_{cr} \geq P_u$$

$$\phi c * F_{cr} * A_g \geq P_u$$

$$0.85 * 35 * 5.48 \geq 127.25$$

$$163.03 > 127.25$$

Ok

Select tube 4-1/2x4-1/2x $\frac{3}{8}$ for the Top member.

4.15.3.5:Design of bottom member:

$$B_5 = 543.38\text{KN} = 122.16\text{Kip}$$

Yielding limit state :

$$\phi T_n \geq T_u$$

$$\phi * F_y * A_g \geq T_u$$

$$0.9 * 36 * A_g \geq 122.16$$

$$A_{g_{req}} = 3.77 \text{ in}^2$$

Stiffens limit state :

$$\frac{L}{r} \leq 300 \quad L = 1.5\text{m} = 4.92\text{ft}$$

$$\frac{4.92 * 12}{r} \leq 300$$

$$r \geq 0.2\text{in}$$

From $A_{g_{req}} = 5.48 \text{ in}^2$ and $r = 1.67 \text{ in}$

Select tube 4-1/2x4-1/2x $\frac{3}{8}$

Select tube 4-1/2x4-1/2x $\frac{3}{8}$ for the Top and bottom member.

Chapter Four

4.15.4 Design of fillet welded to connect diagonal member :

Use (SAW) $F_u = 60 \text{ ksi}$

$T_u = 230.93 \text{ KN} = 51.92 \text{ Kip}$

$$a_{\min} = \frac{3''}{16} \text{ from table 5.11.1}$$

a_{\max} T jointno max size

$$\text{select } a = \frac{4''}{16}$$

$$a = \frac{4''}{16} \leq \frac{3''}{8} \quad \text{so} \quad t_e = a = \frac{4''}{16}$$

1- Shear fracture of base metal :

$$\phi R_{nw} \geq R_u$$

$$0.75 * t * 0.6 * F_u \geq \frac{T_u}{L_w}$$

$$0.75 * \frac{5''}{16} * 0.6 * 58 = 8.16 \text{ Kip/in}$$

2- shear yielding of base metal :_

$$\phi R_{nw} \geq R_u$$

$$1 * t * 0.6 * F_y \geq \frac{T_u}{L_w}$$

$$1 * \frac{5''}{16} * 0.6 * 36 = 6.75 \text{ Kip/in}$$

3- Shear fracture of weld metal :

$$\phi R_{nw} \geq R_u$$

$$0.75 * t_e * 0.6 * F_{uw} \geq \frac{T_u}{L_w}$$

$$0.75 * \frac{4''}{16} * 0.6 * 60 = 6.75 \text{ Kip/in} \dots \text{Control}$$

$$L_w_{req} = \frac{T_u}{\phi R_{nw}} = \frac{51.92}{6.75} = 7.7 \text{ in}$$

$$L_w_{min} = 4 * a = 4 * (4/16) = 1 \text{ in}$$

$$\text{Use } L = 4 * 2 = 8 \text{ in} > 7.7 \text{ in}$$

الفصل الخامس

١-٥ مقدمة.

٢-٥ النتائج .

٣-٥ التوصيات .

الفصل الخامس

١-٥ المقدمه :

في هذا المشروع تم الحصول على مخططات معمارية تفتقد الى الكثير من الامور، بعد دراسة جميع المتطلبات تم اعداد المخططات المعمارية والمخططات الإنسانية الشاملة لمدرسه للذكور المقترن بناءها في مدينة الخليل .

وتم اعداد المخططات الانسائية بشكل مفصل ودقيق وواضح لتسهيل عملية البناء، ويقدم هذا التقرير شرحًا لجميع خطوات التصميم المعماري والانسائية للمبني.

٢-٥ النتائج:

١. يجب على كل طالب أو مصمم إنسائي أن يكون قادرًا على التصميم بشكل يدوي حتى يستطيع امتلاك الخبرة والمعرفة في استخدام البرامج التصميمية المحوسبة.

٢. من العوامل التي يجب أخذها بعين الاعتبار، العوامل الطبيعية المحيطة بالمبني وطبيعة الموقع وتأثير القوى الطبيعية على الموقع.

٣. من أهم خطوات التصميم الإنسائي، كيفية الربط بين العناصر الإنسانية المختلفة من خلال النظرة الشمولية للمبني، ومن ثم تجزئة هذه العناصر لتصميمها بشكل منفرد ومعرفة كيفية التصميم، معأخذ الظروف المحيطة بالمبني بعين الاعتبار .

٤. ان يأخذ بعين الاعتبار القيمة الخاصة بقدرة تحمل التربة.

٥. لقد تم استخدام نظام عقادات (One-Way Ribbed Slab) في معظم العقدات نظرًا لطبيعة وشكل المنشأ. كما تم استخدام نظام عقادات (Two-Way Ribbed Slab) في اجزاء معينة من الطوابق، كما تم استخدام نظام العقدات المصمتة (Solid Slab) لبيوت الدرج والمصاعد، نظرًا لكونها أكثر فاعلية من عقادات الأعصاب في تحمل مقاومة الأحمال المركزية. وعقدات أخرى من الترس والقبه وهذا وذلك لأن طبيعة المنشأ تتطلب هذا النظام من السبيل .

٦. برامج الحاسوب المستخدمة :

هناك عدة برامج حاسوب سيتم استخدامها في هذا المشروع وهي:
AUTOCAD 2010/2007 : و ذلك لعمل الرسومات المفصلة للعناصر الإنسانية.
3D studio Max & Sketch up5 : برنامج رسم ثلاثي الأبعاد.

الفصل الخامس

- (c) STAAD PRO: وذلك لإجراء التحاليل الإنسانية لبعض العناصر الإنسانية.
- (d) ATIR: للتصميم والتحليل الإنساني للعناصر الإنسانية.
- (e) Office XP : تم استخدامه في أجزاء مختلفة من المشروع مثل الكتابة النصوص والتنسيق وإخراج المشروع.
- (f) Sap : لتحليل وتصميم الترس.

7. الأحمال الحية المستخدمة في هذا المشروع كانت من كود الأحمال الأردني.

8. من الصفات التي يجب أن يتصف بها المصمم، صفة الحس الهندسي التي يقوم من خلالها بتجاوز أية مشكلة ممكن أن تتعارضه في المشروع وبشكل مقنع ومدروس.

٣- التوصيات :

لقد كان لهذا المشروع دور كبير في توسيع وتعزيز فهمنا لطبيعة المشاريع الإنسانية بكل ما فيها من تفاصيل وتحاليل وتصاميم. حيث نود هنا . من خلال هذه التجربة . أن نقدم مجموعة من التوصيات ، نأمل بأن تعود بالفائدة والنصائح لمن يخطط لاختيار مشاريع ذات طابع إنساني .

في البداية، يجب أن يتم تنسيق وتجهيز كافة المخططات المعمارية، بحيث يتم اختيار مواد البناء مع تحديد النظام الإنساني للمبني. ولابد في هذه المرحلة من توفر معلومات شاملة عن الموقع وترتيته وقوة تحمل تربة الموقع، من خلال تقرير جيوفنقي خاص بتلك المنطقة، بعد ذلك يتم تحديد موقع الجدران الحاملة والأعمدة بالتوافق والتنسيق التام مع الفريق الهندسي المعماري. ويحاول المهندس الإنساني في هذه المرحلة الحصول على أكبر قدر ممكن من الجدران الخرسانية المسلحة، بحيث تكون موزعة بشكل منتظم أو شبه منتظم في كافة أنحاء المبني؛ ليتم استخدامها فيما بعد في مقاومة أحمال الزلازل وغيرها من القوى الأفقية.

الملاحق

قائمة المصادر والمراجع

١. كودات البناء الوطني الأردني، كود الأحمال والقوى، مجلس البناء الوطني الأردني، عمان، الأردن، ٢٠٩٩م.
 ٢. تلخيص المشرف.
3. Building Code Requirements for Structural Concrete)ACI 318M-05 (and Commentary, USA, 2005.

APPENDIX (A)

ARCHITECTURAL

DRAWINGS

This appendix is an attachment with this project

APPENDIX (B)

STRUCTURAL DRAWINGS

This appendix is an attachment with this project

APPENDIX (C)

**TABLE 9.5(a)—MINIMUM THICKNESS OF
NONPRESTRESSED BEAMS OR ONE-WAY SLABS
UNLESS DEFLECTIONS ARE CALCULATED**

	Minimum thickness, h			
	Simply supported	One end continuous	Both ends continuous	Cantilever
Member	Members not supporting or attached to partitions or other construction likely to be damaged by large deflections.			
Solid one-way slabs	$\ell/20$	$\ell/24$	$\ell/28$	$\ell/10$
Beams or ribbed one-way slabs	$\ell/16$	$\ell/18.5$	$\ell/21$	$\ell/8$

Notes:

Values given shall be used directly for members with normalweight concrete (density $w_c = 2320 \text{ kg/m}^3$) and Grade 420 reinforcement. For other conditions, the values shall be modified as follows:

- a) For structural lightweight concrete having unit density, w_c , in the range 1440-1920 kg/m^3 , the values shall be multiplied by $(1.65 - 0.003w_c)$ but not less than 1.09.
- b) For f_y other than 420 MPa, the values shall be multiplied by $(0.4 + f_y/700)$.

**Table (MINIMUM THICKNESS OF NONPRESTRESSED BEAMS OR
ONE-WAY SLABS UNLESS DEFLECTIONS ARE CALCULATED**

جدول (١)

الأحمال الحية للأرضيات و العقدات وفقاً للكود الأردني

نوع المبني	عام	خاص	الاستعمال (الاشغال)	الحمل الموزع	الحمل المركب البديل
				كن	٢ كن/م
المنازل والبيوت والشقق السكنية والأبنية ذات الطابق الواحد.	المبني السكني والخاصة	المبني السكني والخاصة	جميع الغرف بما في ذلك غرف النوم والمطابخ وغرف الغسيل وما شابه ذلك	2.000	1.400
الفنادق والموئليات والمستشفيات		المبني السكني والخاصة	غرف النوم	2.000	1.800
منازل الطلبة وما شابهها		المبني السكني والخاصة	غرف وقاعات النوم	2.000	1.800
القاعات العامة وقاعات التجمع والمساجد والكنائس وقاعات التدريس والمسارح ودور السينما وقاعات التجمع في المدارس والكليات والنوادي والمدرجات المسقوفة وقاعات الرياضية المغلقة	المبني العامة	مقاعد ثابتة مقاعد غير ثابتة	-	4.000	-
نادي رياضي		-	-	5.000	3.600
غرف المطالعة في المكتبات		من دون مستودع كتب مع مستودع كتب	2.500	4.500	4.500
			4.000		